

Aus der Medizinischen Klinik I
der Universität zu Lübeck
Direktor: Prof. Dr. H. L. Fehm

**Inhibition der oxydativen Phosphorylierung in
MX1- und S117-Tumorzellen in der Zellkultur
durch den Ifosfamidmetaboliten Chloracetaldehyd**

Inauguraldissertation
zur Erlangung der Doktorwürde
der Universität zu Lübeck
- Aus der Medizinischen Fakultät -

vorgelegt von
Jürgen Hinrichs
aus Köln

Lübeck 2005

1. Berichterstatter: Prof. Dr. med. Thomas Wagner
2. Berichterstatter: Prof. Dr. med. Claus-Peter Siegers

Tag der mündlichen Prüfung: 28.11.2005
Zum Druck genehmigt. Lübeck, den 28.11.2005

gez. Prof. Dr. med. Wolfgang Jelkmann
- Dekan der Medizinischen Fakultät -

Inhaltsverzeichnis

Abbildungsverzeichnis	4
Tabellenverzeichnis	5
1 Einleitung	6
2 Material und Methoden	9
2.1 Zellreihen und -kultur	9
2.2 Behandlung der Zellkulturen	10
2.2.1 Chloracetaldehyd	10
2.2.2 Oligomycin A	10
2.2.3 Fluoracetat	11
2.2.4 Aminooxoacetat	11
2.2.5 Reagenzienzugabe und Inkubation	11
2.3 ATP-Messung mit Biolumineszenzverfahren	12
2.3.1 Grundlagen	12
2.3.2 Praktische Durchführung	12
2.4 ATP-Extraktion in der Zellkultur	13
2.4.1 Extraktion mit siedender Trispufferlösung	14
2.4.2 Extraktion mit 10% Trichloressigsäure	15
2.4.3 Extraktion mit 3mol/l Perchlorsäure	15
2.5 Intrazelluläre ATP-Konzentration ex vivo	16
2.6 ATP-Extraktion in vivo	17
2.6.1 Versuchstiere	17
2.6.2 Narkose	17

2.6.3	Tumor und Transplantation	17
2.6.4	Entnahme von Tumor- und Muskelgewebe	18
2.7	Gewebe-ATP-Spiegel in vivo	18
2.8	Statistik	18
3	Ergebnisse	20
3.1	Vergleich der ex-vivo-Extraktionsverfahren	20
3.1.1	Praktische Durchführbarkeit	20
3.1.2	Reproduzierbarkeit der Messwerte	20
3.1.3	Störempfindlichkeit	21
3.1.4	Stabilität der Extrakte	22
3.1.5	Empfindlichkeit und Proportionalität	23
3.1.6	Wahl des Verfahrens	24
3.2	ATP-Spiegel in vivo und ex vivo	25
3.2.1	Beeinflussung durch Aussaat in der Zellkultur	25
3.2.2	Intrazelluläre ATP-Konzentration in der Zellkultur	26
3.2.3	ATP-Gewebekonzentration im Tumorxenograft	26
3.3	ATP-Spiegel unter Behandlung	27
3.3.1	Chloracetaldehyd	27
3.3.2	Fluoracetat	27
3.3.3	Oligomycin	28
3.4	ATP-Spiegel unter Behandlung bei blockierter anaerober Glykolyse	29
3.4.1	Aminooxoacetat	29
3.4.2	Chloracetaldehyd und Aminooxoacetat	30
3.4.3	Fluoracetat und Aminooxoacetat	31
3.4.4	Oligomycin und Aminooxoacetat	32
4	Diskussion	33
4.1	Wirkmechanismus von Chloracetaldehyd	33
4.2	Mögliche klinische Bedeutung	36
5	Zusammenfassung	38
	Literaturverzeichnis	40

A Abkürzungen	48
B Messwerttabellen	49
B.1 Rohdaten der Messungen zum Vergleich der Extraktionsverfahren . . .	49
B.2 Rohdaten der Messungen zur Bestimmung der absoluten ATP-Konzentrationen	51
B.3 Rohdaten der ATP-Messungen an MX1-Zellen	53
B.4 Rohdaten der ATP-Messungen an S117-Zellen	66
C Danksagung	79
D Lebenslauf	80

Abbildungsverzeichnis

1	Vergleich der Störempfindlichkeit der Extraktionsverfahren	22
2	Stabilität der ATP-Extrakte und Vergleich von Linearität und Empfindlichkeit der Extraktionsverfahren	23
3	ATP-Spiegel von MX1-Zellen im zeitlichen Verlauf über 210min nach Aussaat	25
4	ATP-Spiegel von MX1-Zellen unter Inkubation mit Chloracetaldehyd, Fluoracetat und Oligomycin	28
5	ATP-Spiegel von S117-Zellen unter Inkubation mit Chloracetaldehyd, Fluoracetat und Oligomycin	29
6	ATP-Spiegel von MX1-Zellen unter Inkubation mit Chloracetaldehyd, Fluoracetat und Oligomycin in Kombination mit 100mmol/l Amino-oxoacetat	30
7	ATP-Spiegel von S117-Zellen unter Inkubation mit Chloracetaldehyd, Fluoracetat und Oligomycin in Kombination mit 100mmol/l Amino-oxoacetat	31

Tabellenverzeichnis

1	Vergleich der Reproduzierbarkeit der Extraktionsverfahren	21
2	Intrazelluläre ATP-Konzentrationen in der Zellkultur bei MX1- und S117-Zellen	26
3	ATP-Gewebekonzentration im MX1-Tumorxenograft und im vom selben Blutgefäß versorgten Muskel an der Nacktmaus	27

1

Einleitung

In der Geschichte der Therapie maligner Tumoren gab es über lange Zeit nur die Möglichkeit einer lokalen Behandlung durch chirurgische Eingriffe oder Bestrahlung. Nichtlokalisierte oder metastasierte Tumoren waren somit einer Therapie kaum zugänglich. Erst die Entwicklung systemisch wirksamer Pharmaka brachte eine erhebliche Erweiterung der therapeutischen Möglichkeiten in der Tumorbehandlung und leistete einen wesentlichen Beitrag zu den heute erreichbaren Behandlungsergebnissen [48].

Auch wenn es eine Reihe von Tumoren gibt, bei denen durch eine geeignete Chemotherapie zu einem hohem Anteil eine Heilung erreicht werden kann, so sind doch die großen Erwartungen in eine pharmakologische Tumortherapie bislang nicht erfüllt worden. Der überwiegende Anteil der Tumorerkrankungen ist einer kurativen Chemotherapie nicht zugänglich, hier zielt die Therapie auf eine Verbesserung der Lebensqualität oder auch Lebensverlängerung im Sinne einer palliativen Therapie.

Aber auch heute stellt die Chemotherapie trotz der Entwicklung neuer gentherapeutischer [18] und immunologischer [43] Ansätze neben der operativen und der Strahlentherapie in der klinischen Praxis einen wesentlichen Bestandteil der Therapie maligner Neubildungen dar. Das gemeinsame Charakteristikum wirksamer Chemotherapeutika in der Tumorbehandlung ist die höhere Toxizität dieser Wirkstoffe für Tumorzellen als für gesunde Zellen. Gewöhnlich werden Zytostatika aufgrund ihres Wirkmechanismus eingeteilt, auch wenn sich nicht alle Zytostatika auf diese Weise einordnen lassen.

Antimetaboliten wirken, indem sie als “falsche Substrate” wichtige Stoffwechselwege der Tumorzellen hemmen [12]. Es handelt sich bei ihnen im wesentlichen um Stoffe, die aufgrund ihrer Affinität zu Enzymen der Biosynthese von Nukleinsäurebasen wirken. Der Wirkmechanismus der Mitosehemmer beruht auf einer Hemmung der Mikrotubuli [61]. Sie binden in niedrigen Konzentrationen an die Proteine des Spindelapparates und hemmen die Zellteilung in der Metaphase [48].

Ifosfamid und Cyclophosphamid sind alkylierende Zytostatika aus der Gruppe der Oxazaphosphorine, deren spezifische Wirkung über die 4-Hydroxy-Metabolite vermittelt wird. Nur beim Ifosfamid entsteht in größerem Umfang der Metabolit Chloracetaldehyd [20, 22, 36, 37, 70], der bislang im wesentlichen für die höhere Nephrotoxizität [14, 45, 56, 57, 72, 74] und Neurotoxizität [53] von Ifosfamid verantwortlich gemacht wurde. Untersuchungen unserer Arbeitsgruppe haben jedoch gezeigt, dass Chloracetaldehyd eine ebenso ausgeprägte Zytotoxizität auf Tumorzellen aufweist wie der Metabolit 4-Hydroxy-Ifosfamid [4, 5, 6].

Chloracetaldehyd ist aus der chemischen Industrie als Grundstoff bekannt, daher liegen pharmakologische Untersuchungen vor, die eine Hemmung der oxidativen Phosphorylierung durch Chloracetaldehyd vermuten lassen [13, 54]. Weiterhin sind für Chloracetaldehyd in mehreren Untersuchungen zur Nephro- und Neurotoxizität eine Senkung der Glutathionspiegel [39, 42, 45, 53, 70], eine alkylierende Wirkung [33, 55] und eine Beeinflussung des Fettsäurestoffwechsels [69] nachgewiesen worden.

Die bisherigen Konzepte in der Chemotherapie maligner Erkrankungen zielen auf die DNA und den Mitoseapparat als zytostatisches Target. Trotz unterschiedlicher Angriffspunkte ist das gemeinsame therapeutische Prinzip von Alkylantien, Topoisomerasehemmern, Vincaalkaloiden und Taxanen sowie von Antimetaboliten, dass sie eine Wirkung nur auf proliferierende Zellen ausüben. Bei soliden Tumoren mit größeren hypoxischen Anteilen [26, 64, 66, 67] mit einem hohen Anteil an G₀-Zellen stößt dieses Prinzip an seine Grenzen [8, 19, 47, 52].

Obwohl es Untersuchungen zur Tumoradaptation an die Hypoxie und zur Ausnutzung dieser Mechanismen für die Therapie gibt [3, 15, 24, 25], hat der denkbare Therapieansatz einer Schädigung der oxydativen Phosphorylierung bisher nur wenig Beachtung gefunden. Es konnte jedoch gezeigt werden, dass das Rhodacyaninderi-

vat MKT-077 relativ selektiv Mitochondrien von Karzinomzellen schädigt und zu einer erheblichen Beeinträchtigung der oxydativen Phosphorylierung führt [44, 71]. In einer weiteren Arbeit konnte gezeigt werden, dass MKT-077 in vitro und in vivo eine hohe Zytotoxizität gegenüber menschlichen Adenokarzinomen aufweist, die normalerweise auf antiproliferative Zytostatika kaum ansprechen [34]. Ähnliche Ergebnisse gibt es auch für den Bestandteil des Baumwollsamenöls Gossypol, für den eine Inhibition sowohl der anaeroben [38, 60] als auch der aeroben [65] Glykolyse beschrieben wurde. Auch dieser Wirkstoff zeigt eine zytotoxische Wirkung gegenüber epithelialen Tumoren [1, 10, 29].

Bei dem Ifosfamid-Metaboliten Chloracetaldehyd handelt es sich also möglicherweise um eine Substanz, deren zytotoxische Wirkung sowohl auf einer Alkylierung [33, 55], einem Abfall des intrazellulären Glutathionpools [39, 42] aber eben auch auf einer Störung der mitochondrialen Atmung [54] beruhen könnte. Ein möglicher pathobiochemischer Mechanismus für letzteres könnte die Bildung von Chloracetyl-CoA und die so vermittelte Einschleusung des Chloracetaldehyds in den Tricarbonsäurezyklus sein, analog zu dem Effekt der “letalen Synthese”, der für das Fluoracetatoacetat gezeigt werden konnte [7, 49, 62]. Derzeit ist jedoch noch unklar, welchen Anteil diese möglichen Wirkmechanismen an der zytotoxischen Wirkung des Chloracetaldehyds gegenüber Tumorzellen haben. Das Ziel der vorliegenden Untersuchung ist es, die Frage zu beantworten, wie die oxydative Phosphorylierung, gemessen am intrazellulären ATP-Gehalt, von MX1- und S117-Zellen ex vivo durch Chloracetaldehyd beeinflusst wird.

2

Material und Methoden

2.1 Zellreihen und -kultur

Die vorliegende Untersuchung wurde an den in unserem Labor etablierten humanen Tumorzelllinien MX1 (adhärent wachsendes Mammakarzinom) und S117 (adhärent wachsendes Sarkom), beide aus dem DKFZ Heidelberg, durchgeführt. Die Zellen wurden in 200ml-Kulturflaschen (Nunclon, Wiesbaden, Deutschland) in RPMI-1640 Kulturmedium (Bio-Whittaker, Verviers, Belgien), dem 1ml einer Penicillin-Streptomycin-Mischung (Bioproducts, Boehringer Ingelheim, Deutschland) mit 10000U/ml Penicillin und 10mg/ml Streptomycin sowie 50ml fetales Kälberserum (PAA Laboratories GmbH, Cölbe, Deutschland) zugesetzt wurden, bei 37°C unter 5% CO₂ im Brutschrank (water-jacketed-incubator, Forma Scientific, Ohio, USA) kultiviert.

Zwei- bis dreimal pro Woche wurden die Zellen mikroskopisch beurteilt und in frisches Medium überführt. Nach vorsichtigem Absaugen des Mediums aus den Kulturflaschen und Spülen mit 8ml 0,9% NaCl (Fresenius, Deutschland) wurden hierzu 10ml 0,9% NaCl und 1ml Trypsin (Bio Whittaker, Verviers, Belgien) in die Kulturflaschen pipettiert. Sobald die Zellen vollständig abgelöst waren, wurden 4ml Kulturmedium dazugegeben, um die Reaktion abzustoppen. Anschließend wurde der Flascheninhalt in ein 50ml Falconröhrchen (Sarstedt, Deutschland) überführt und dieses dann drei Minuten bei 300×g (S117-Zellen) bzw. 400×g (MX1-Zellen) zentrifugiert (Megafuge 1.0, Heraeus, Deutschland).

Der Überstand wurde abgesaugt, die Zellpellets mit frischem Medium resuspendiert und in neue Kulturflaschen ausgesät.

2.2 Behandlung der Zellkulturen

Nach dem Lösen der Zellen aus den Kulturflaschen, Zentrifugation und anschließender Resuspension in 6ml Kulturmedium, wie oben beschrieben, wurde die Zelldichte der Suspension in der Neubauer-Zählkammer bestimmt. Anschließend wurde die Zellsuspension mit Medium auf eine Zelldichte von 10^5 Zellen/ml eingestellt. Je $100\mu\text{l}$ hiervon wurden sodann in je 12 Vertiefungen von fünf 96-Well-Mikrotiterplatten pipettiert, so dass sich eine Zellzahl von 10000 Zellen je Vertiefung ergab. Anschließend wurden die Platten 24h bei 37°C und 5% CO₂ im Brutschrank inkubiert.

2.2.1 Chloracetaldehyd

Chloracetaldehyd (wie alle hier aufgeführten Reagenzien: Sigma-Aldrich Chemical Co., Steinheim, Deutschland) wurde mit 0,9%iger Kochsalzlösung auf die gewünschten Konzentrationen verdünnt. Die Chloracetaldehydlösung wurde vor jedem Versuch frisch angesetzt.

2.2.2 Oligomycin A

Bei Oligomycin A handelt es sich um eine Substanz, die die oxydative Phosphorylierung über eine Inhibition der F₀F₁-ATPase hemmt [41]. Oligomycin A wurde zunächst in DMSO gelöst, mit aqua dest. auf eine Konzentration von $1200\mu\text{mol/l}$ verdünnt und anschließend portioniert bei -18°C tiefgefroren. Vor jedem Versuch wurde dann die benötigte Menge aufgetaut und mit aqua dest. auf die gewünschte Verdünnung eingestellt.

2.2.3 Fluoracetat

Der Wirkmechanismus von Fluoracetoacetat beruht auf der Bildung von Fluoracetyl-CoA und damit zu einer Einschleusung des Fluoracetoacetat in den Tricarbon-säurezyklus [49, 62]. Die Fluoracetatlösung wurde mit aqua dest. vor jedem Versuch frisch angesetzt, auf die Herstellung von Fluoracetaldehyd wurde wegen des sehr aufwändigen Verfahrens verzichtet, für Fluoracetat ist jedoch schon früh ein vergleichbarer Effekt gezeigt worden [7].

2.2.4 Aminooxoacetat

Ebenso wurde mit dem Aminooxoacetat, einem Inhibitor der Lactatdehydrogenase, der in der Lage ist, die anaerobe Glykolyse in Tumorzellen wirksam zu inhibieren [23], verfahren. Sollte Aminooxoacetat mit einem anderen Reagens kombiniert werden, so wurden beide Lösungen in der doppelten Konzentration hergestellt und vor der Zugabe zu den Zellen zu gleichen Teilen vermischt.

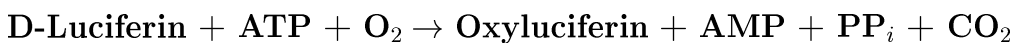
2.2.5 Reagenzienzugabe und Inkubation

Unmittelbar vor dem Versuch wurden die Reagenzien wie oben gelöst bzw. aufgetaut und auf die zuzugebende Konzentration verdünnt. Von dieser Lösung wurden dann jeweils $20\mu\text{l}$ in je drei Vertiefungen jeder Mikrotiterplatte pipettiert. Unmittelbar anschließend wurden die Platten auf dem Thermomixer gerüttelt und anschließend im Brutschrank unter Standardbedingungen (37°C , 5% CO_2) inkubiert. Nach 5, 15, 30, 60 und 120 min wurde jeweils eine Platte extrahiert, und die fertigen Proben wurden für die Messzeit auf Eis gelagert. Wenn alle Proben vorbereitet waren, erfolgte die Messung.

2.3 ATP-Messung mit Biolumineszenzverfahren

2.3.1 Grundlagen

Die Messung von ATP mittels eines Biolumineszenzverfahrens ist seit längerem etabliert und auch zum quantitativen Nachweis niedriger Konzentrationen gut geeignet [11, 28]. Grundlage des Verfahrens ist die ATP-abhängige, Luciferase-katalysierte Oxydation von D-Luciferin zu Oxyluciferin:



Das pH-Optimum dieser Reaktion liegt im Bereich von pH7,5 [11], die frei werdende Energie wird zu 90% als Licht mit einem Intensitätsmaximum bei einer Wellenlänge im Bereich von 560nm abgestrahlt [11], dieses Licht wird dann in einem Luminometer gemessen. Die zugehörige Michaelisgleichung für die Lichtintensität I lautet:

$$(1) \quad I = V_{max} \frac{cATP}{KM + cATP}$$

Hierbei ist V_{max} die maximale Reaktionsgeschwindigkeit, KM die Michaeliskonstante der Gleichung und $cATP$ die ATP-Konzentration im Reaktionsgemisch. Für den Fall, dass KM sehr groß gegen $cATP$ ist, vereinfacht sich (1) zu:

$$(2) \quad I = V_{max} \frac{cATP}{KM}$$

Da V_{max} und KM Konstanten sind, ist die Lichtintensität I des emittierten Lichtes nur noch von der im Reaktionsgemisch vorhandenen ATP-Konzentration $cATP$ abhängig und dieser direkt proportional.

2.3.2 Praktische Durchführung

Aus *Photinus pyralis* gewonnenes, lyophilisiertes Luciferin und Luciferase ist als fertiges Kit einschließlich eines ATP-Standards kommerziell erhältlich (ATP Bioluminescence Assay Kit CLS II, Roche Biochemicals, Deutschland). Der Messbereich dieses Kits liegt nach Herstellerangaben zwischen 10^{-6} und 10^{-11} mol/l ATP, abhängig auch vom verwendeten Luminometer. Weiterhin ist wegen der in diesem Kit verwendeten relativ geringen Luciferasekonzentration die Reaktionsgeschwindigkeit niedrig, so dass das emittierte Lichtsignal über einen Zeitraum von mindestens 20min

annähernd konstant ist, der ATP-Verbrauch beträgt ca. 0,5%/min (Herstellerangaben).

Nach der Herstellerinformation soll das Volumenverhältnis zwischen Luciferaselösung und Probe 1:1 betragen. Da das Injektionsvolumen bei dem zum Einsatz gekommenen Luminometer (Auto-CliniLumat LB952T, Berthold, USA) fest auf $300\mu\text{l}$ eingestellt ist, wurden von jeder aufbereiteten (s. 2.2) Probe $300\mu\text{l}$ in ein Messreagenzglas (5ml Kunststoff, Sarstedt, Deutschland) pipettiert.

Das Luminometer wurde auf Rohdatenmessung (raw data), das heißt ohne automatische Datenauswertung im Gerät, mit einer Injektion und einer Messzeit von fünf Sekunden eingestellt. Die Ausgabe der Messdaten erfolgte so in "relative light units" (RLU), diese sind definiert als gezählte Lichtimpulse geteilt durch zehn, multipliziert mit einem Faktor $kRLU$, um Schwankungen der Kathodenempfindlichkeit auszugleichen. Die RLU-Werte sind also nach Gleichung (2) aus 2.3.1 direkt proportional der in der Probe vorhandenen ATP-Konzentration.

Bei jeder Messung wurden außerdem ein Leerwert (nur Kulturmedium, ohne Zellen) sowie ein ATP-Standard mit 5, 10, 20, 30 und 50nmol/l ATP, hergestellt aus in destilliertem Wasser gelösten, zu dem Kit gelieferten, lyophilisierten ATP, mitgeführt. Die so erstellte Eichkurve diente dann zur Linearitätsüberprüfung jeder Messung.

2.4 ATP-Extraktion in der Zellkultur

Einen wesentlichen Schritt bei der Messung von intrazellulären ATP-Konzentrationen stellt die Aufschließung der Zell- und Mitochondrienwände sowie die möglichst vollständige Inaktivierung aller ATP verbrauchenden oder erzeugenden Prozesse durch Eiweißdenaturierung dar, im folgenden "ATP-Extraktion" genannt. An ein geeignetes Verfahren sind eine Reihe von Anforderungen zu stellen (modifiziert nach [58]):

1. Zell- und Mitochondrienmembran sollten möglichst unmittelbar durchbrochen werden.
2. ATP sollte unmittelbar freigesetzt werden.

3. Das gesamte zu bestimmende intrazelluläre ATP sollte vollständig freigesetzt werden.
4. Alle Enzyme, die ATP als Substrat haben oder ATP aus anderen Substraten synthetisieren, sollten unmittelbar und irreversibel inaktiviert werden.
5. Die ATP-Konzentration selbst sollte durch das Verfahren, zum Beispiel durch Hydrolyse, weder kurzfristig bei der Durchführung des Verfahrens, noch langfristig bei Lagerung beeinflusst werden.
6. Die verwendeten Substanzen sollten keinen hemmenden Einfluss auf die Luciferase haben.
7. Die Kinetik der Luciferase-Luciferin-Reaktion sollte nicht beeinflusst werden.
8. Es sollten keine wesentlichen Mengen an Substanzen freigesetzt werden, die ihrerseits die Luciferasereaktion oder die Lichtmessung beeinträchtigen (Quenchingeffekt).
9. Insbesondere für die vorliegende Untersuchung sollte das Verfahren direkt ohne weitere vorbereitende Schritte auf den verwendeten Mikrotiterplatten zum Einsatz kommen.

In der Literatur wird eine Vielzahl von Extraktionsverfahren beschrieben [28, 58] und verglichen. Für die vorliegende Arbeit wurden nach Gesichtspunkten der praktischen Durchführbarkeit drei Verfahren ausgewählt und auf ihre Eignung für die geplanten Versuche untersucht. Wenn nicht anders beschrieben, wurden diese Versuche an MX1-Zellen durchgeführt, die in $100\mu\text{l}$ Kulturmedium in $1,5\text{ml}$ -Reaktionsgefäß („Safe-Lock“, Eppendorf, Deutschland) in einer Dichte von 10000 Zellen/Cup ausgesät und zwischen Aussaat und Messung vier Stunden im Brutschrank inkubiert wurden.

2.4.1 Extraktion mit siedender Trispufferlösung

Bei diesem, von der Firma Roche Diagnostics, Mannheim, zu ihrem ATP-Kit beschriebenen Verfahren, im folgenden Trispufferverfahren genannt, erfolgte die Proteinidenaturierung allein durch Hitze, indem zu den Proben je $900\mu\text{l}$ einer sieden-

den Pufferlösung aus 100mmol/l Tris und 4mmol/l EDTA, entsprechend einem pH von 7,75, pipettiert wurden. In einer früheren Untersuchung hat sich ein ähnliches Verfahren als gleichwertig gegenüber einem erheblich aufwändigeren Verfahren erwiesen [21]. Um eine ausreichende Erhitzung des Mediums zu erreichen, war dieses Volumenverhältnis notwendig, die Kulturgefäße mussten also ein Volumen von über 1ml aufweisen, sollten die Zellen nicht vor der eigentlichen Extraktion noch in ein anderes Probengefäß überführt werden, was nach Möglichkeit zu vermeiden war (s. 2.5). Anschließend wurden die Proben zwei Minuten bei 95°C im Thermomixer (Eppendorf, Deutschland) inkubiert und dann 60s bei $10000 \times g$ zentrifugiert (Biofuge A, Haereus, Deutschland). Vom Überstand jeder Probe wurden dann $300\mu l$ in die Messröhrchen pipettiert.

2.4.2 Extraktion mit 10% Trichloressigsäure

Zu den Zellen wurden $100\mu l$ eisgekühlte 10% Trichloressigsäure (TCA) pipettiert, anschließend wurden der Lösung $50\mu l$ einer eisgekühlten Neutralisationslösung aus 2mol/l Kalilauge (KOH) und dem oben beschriebenen Trispuffer im Volumenverhältnis KOH:Puffer von 47:3 zugegeben, der pH stellte sich damit auf Werte zwischen 7,5 und 8,3, abhängig vom Ausgangs-pH des Kulturmediums, ein. Von jeder Probe wurden anschließend $100\mu l$ zu $400\mu l$ der in 2.4.1 beschriebenen Trispufferlösung in 1,5ml-Rekationsgefäß pipettiert. Nach jedem Pipettierschritt wurden die Proben außerdem im Thermomixer bei 21°C gemischt. Die weitere Probenaufbereitung (Zentrifugation, Messröhrchen) erfolgte wie unter 2.4.1 beschrieben.

2.4.3 Extraktion mit 3mol/l Perchlorsäure

Dieses Verfahren entsprach dem unter 2.4.2 beschriebenen, an Stelle von 10% Trichloressigsäure kam jedoch 3mol/l Perchlorsäure (PCA) zur Verwendung, die Einstellung auf pH 8 wurde mit einer Lösung aus 2mol/l KOH und Trispuffer im Volumenverhältnis 181:19 vorgenommen.

2.5 Intrazelluläre ATP-Konzentration ex vivo

Da anzunehmen war, dass Kulturmedium und Extraktionsverfahren die Lichtausbeute, z.B. durch pH und Absorption, beeinflussten, konnten die Messwerte der aus praktischen Gründen in destilliertem Wasser hergestellten Eichreihe (s. 2.3.2) nicht einfach zur Berechnung der in den Proben vorhandenen und damit auch der intrazellulären ATP-Konzentration herangezogen werden. Zur deren Bestimmung wurden aus in Kulturmedium gelöstem standardisierten ATP Eichreihen erstellt (ohne ATP, 125nmol/l, 250nmol/l, 375nmol/l und 600nmol/l ATP). Weiterhin wurden von beiden Zelllinien MX1 und S117 Verdünnungsreihen in Kulturmedium (leer, 5000, 10000 und 20000 Zellen/Probe) angefertigt. Die Zellproben wurden anschließend noch für vier Stunden im Brutschrank inkubiert, da nach dieser Zeitspanne einerseits der Zellstoffwechsel durch die Aussaat nicht mehr wesentlich beeinträchtigt zu sein schien (s. 3.2.1) und andererseits noch keine grobe Verfälschung durch Zellproliferation zu erwarten war.

Mit je zwei verschiedenen Extraktionsverfahren¹ wurden dann die Eichreihen und die Zellproben - drei Proben je Verdünnungsstufe - behandelt und anschließend gemessen. Da sowohl die ATP-Konzentration der Eichreihen als auch die Zellzahl der Proben bekannt war, konnte die durchschnittliche intrazelluläre ATP-Menge berechnet werden, aus dem mittleren Zellvolumen der untersuchten Zellen konnte dann auch die intrazelluläre ATP-Konzentration, ausgedrückt in mmol/l, berechnet werden.

Zur Überprüfung des Einflusses der Testreagenzien auf die intrazelluläre ATP-Konzentration wurde allerdings auf die Berechnung absoluter Werte verzichtet, vielmehr wurden die Messwerte als Prozentwerte bezogen auf eine unbehandelte Kontrolle ausgedrückt.

¹Um systematische Fehler klein zu halten, sollten die Verfahren möglichst unterschiedlich sein, es kamen daher die Verfahren nach 2.4.1 und 2.4.2 zur Anwendung.

2.6 ATP-Extraktion in vivo

Die Tierversuche sind unter der Tierversuchsnummer X 330 a-72241.122-4(33-5/97) genehmigt worden.

2.6.1 Versuchstiere

Bei den Versuchstieren handelte es sich um weibliche, fünf bis sechs Wochen alte, athymische nu/nu-Mäuse (Zentralinstitut für Versuchstierzucht, Hannover, Deutschland). Die Tiere wurden bei $23^{\circ}\text{C} \pm 1^{\circ}\text{C}$ und 40-60% relativer Luftfeuchte in $25 \times 45\text{cm}$ großen Plastikschalenkäfigen gehalten. Pelletiertes Futter (Altromin 1434, Fa. Altromin, Lage, Deutschland) und Trinkwasser waren für die Mäuse frei zugänglich.

2.6.2 Narkose

Die Narkose wurde mit einer intraperitoneal applizierten Mischung aus einem Teil 2%iger Ketaminlösung (Rompun[®]), einem Teil 50mg/ml Pentobarbital (hergestellt in der Apotheke der Medizinischen Universität zu Lübeck) und acht Teilen 0,9%iger NaCl-Lösung in einer Anfangsdosierung von 16ml/kg Körpergewicht durchgeführt. Bei nachlassender Wirkung wurden jeweils 0,15ml des Narkosegemisches nach injiziert.

2.6.3 Tumor und Transplantation

Für die in-vivo-Untersuchungen kam der in 2.1 beschriebene MX1-Tumor zur Anwendung. Zunächst wurde der Tumor über zwei bis drei fortlaufende Passagen unter die Haut der Nackenregion einer Maus transplantiert. Nach Erreichen eines Tumorvolumens von ca. 4000 bis 5000mm^3 wurde die Maus getötet und der Tumor steril entnommen. Bindegewebe und nekrotisches Material wurde entfernt, der Tumor geteilt und subkutan auf beide Hinterpfoten der Tiere implantiert [4], indem die ca. 1mm messenden Tumorstücke durch einen Hautschnitt am Hinterbein oberhalb der

Pfote unter die Haut geschoben wurden. Der Wundverschluss erfolgte mittels Pflasterstreifen. Nach ca. 18-21 Tagen Wachstum hatten die Tumoren eine Größe von sechs bis neun Millimetern erreicht.

2.6.4 Entnahme von Tumor- und Muskelgewebe

Zur ATP-Messung wurde die Temperatur der tumortragenden Extremität auf 37°C eingestellt. Von dem an der narkotisierten Maus mit einer in flüssigem Stickstoff auf -196°C gekühlten Kryozange entnommenen Tumor- bzw. Muskelgewebe wurden 5-10mg in 500 μ l eisgekühlte 3M Perchlorsäure eingewogen und vermischt. Nach Zugabe von 775 μ l 2M KOH zur Neutralisation wurden die Proben 1min bei 13000U/min zentrifugiert. Der Überstand wurde anschließend mit aqua dest. verdünnt (Tumor 1:500, Muskel 1:2500). Jeweils 300 μ l dieser Lösung wurden dann wie in 2.3.2 beschrieben im Luminometer gemessen.

2.7 Gewebe-ATP-Spiegel in vivo

Da sowohl die Menge des eingewogenen Gewebes als auch die einzelnen Verdünnungsschritte bekannt waren, konnte der Gewebe-ATP-Spiegel berechnet werden. Um auszuschließen, dass die Messwerte durch die Extraktionsprozedur wesentlich beeinflusst wurden, wurde eine standardisierte ATP-Lösung dem gleichen Verfahren unterzogen, hierbei zeigten sich keine wesentlichen Verfälschungen.

2.8 Statistik

Alle Versuche zur ATP-Messung wurden im Dreifachansatz jeweils sechs Male durchgeführt. Als Messwert wurde jeweils das arithmetische Mittel eines Datentripels gewertet, wenn der Variationskoeffizient (VK) der drei Einzelmesswerte unter 15% lag. Betrug der VK über 15%, so wurde ein Einzelwert nicht berücksichtigt, sofern der VK der beiden übrigen Werte unter 10% lag.

Bei den Versuchen, bei denen eine Substanz gegen eine unbehandelte Kontrollgruppe

getestet wurde, kam als statistisches Testverfahren der Student-t-Test für verbundene Stichproben zur Anwendung, wobei die Stichproben die sechs wie im ersten Absatz beschrieben ermittelten RLU-Werte der Kontroll- und Verumgruppe waren. Die Nullhypothese H_0 war hierbei, dass beide Stichproben aus der gleichen Grundgesamtheit stammten, das heißt, ihre Mittelwerte gleich waren. Entsprechend besagte die Alternativhypothese H_a , dass sich die Mittelwerte beider Stichproben unterschieden (zweiseitiger Test). Das Signifikanzniveau wurde mit $\alpha = 0,005$ festgelegt. Durch die Anwendung der Testvariante für verbundene Stichproben konnten sämtliche Messpunkte einer Versuchsanordnung gemeinsam verglichen werden.

Bei den übrigen Versuchen (Vergleich der Testsubstanzen mit und ohne Aminooxacetat) kam der t-Test für unverbundene Stichproben zur Anwendung, Stichproben waren hierbei die bereits auf die Kontrollgruppen bezogenen relativen ATP-Werte unter Behandlung mit den Substanzen alleine bzw. in Kombination mit Aminooxacetat, das Signifikanzniveau wurde wiederum mit $\alpha = 0,005$ festgelegt.

3

Ergebnisse

3.1 Vergleich der ex-vivo-Extraktionsverfahren

3.1.1 Praktische Durchführbarkeit

Alle drei Verfahren sind einfach und schnell durchzuführen, insbesondere ist keine weitere Probenvorbereitung, welche die Energiestoffwechsellage der Zellen beeinflussen könnte, erforderlich. Sämtliche Reagenzien sind problemlos zu handhaben und auch in Lösung stabil. Nachteilig bei dem Trispufferverfahren (s. 2.4.1) ist, dass das erforderliche Volumen den Einsatz auf 96-Well-Mikrotiterplatten nicht zulässt und eine längere Inkubation von Zellen in Eppendorf-Cups keine gleichmäßigen Ergebnisse liefert. Vorteilhaft bei diesem Verfahren ist allerdings die besonders einfache Probenaufbereitung und damit eine geringere Wahrscheinlichkeit von Pipettierungsnauigkeiten und ähnlichen Fehlerquellen, weshalb die meisten Vorversuche, die noch keine Kultur in Mikrotiterplatten erforderten, mit diesem Verfahren durchgeführt wurden.

3.1.2 Reproduzierbarkeit der Messwerte

Zur Einschätzung der Reliabilität der Verfahren wurden drei Zellsuspensionen mit unterschiedlicher Zelldichte angesetzt (nur Medium, 10^5 Zellen/ml und $2 \cdot 10^5$ Zellen/ml). Von jeder Suspension wurden mit jedem Verfahren drei Proben angefertigt

und gemessen. Von der Suspension mit 10^5 Zellen/ml wurden außerdem mit jedem Verfahren drei weitere Proben angesetzt und für vier Stunden bei 4°C gelagert.

Tabelle 1: Variationskoeffizienten von je drei Messungen identischer Proben, die Proben mit 10^5 Zellen/ml wurden sofort nach der Extraktion und nach vierstündiger Lagerung bei 4°C gemessen. Zellaussaat in 1,5ml-Eppendorf-Cups, die Inkubationszeit zwischen Aussaat und Extraktion betrug vier Stunden.

	Trispuffer	TCA	PCA
nur Medium	15,1%	11,6%	6,5%
10^5 Zellen/ml sofort	10,2%	3,2%	3,1%
10^5 Zellen/ml nach 4h	6,1%	3,5%	3,3%
$2 \cdot 10^5$ Zellen/ml	3,7%	2,2%	4,1%

Wie aus Tabelle 1 ersichtlich, sind die Säureverfahren zumindest nicht unverlässlicher als das technisch einfachere Verfahren mit siedendem Puffer, die oben angesprochenen Aspekte der Pipettierungsgenauigkeiten spielen also keine wesentliche Rolle.

3.1.3 Störempfindlichkeit

Im Ablauf aller drei Verfahren existiert ein Schritt, der möglicherweise nicht bei allen Proben, insbesondere, wenn gleichzeitig viele Proben aufzubereiten sind, exakt reproduziert werden kann; dies ist bei den Säureverfahren der zeitliche Abstand zwischen Zugabe der Säure und der Neutralisationslösung, bei dem Pufferverfahren die Zeit im Wasserbad bei 95°C . Um zu untersuchen, inwieweit Variationen dieses zeitlichen Ablaufs die Ergebnisse beeinflussen, wurden für jedes Verfahren drei identische Proben ($100\mu\text{l}$ Zellsuspension mit einer Dichte von 10^5 Zellen/ml in 1,5ml Eppendorf-Cups) exakt nach Vorschrift aufbereitet. Bei je drei weiteren identischen Proben wurde die Einwirkungs- bzw. Erhitzungsdauer um vier Minuten verlängert. Alle Proben wurden gleichzeitig mit derselben Luciferaselösung gemessen. Abbildung 1 zeigt die Ergebnisse, die Unterschiede liegen in der Größenordnung der statistischen Variationskoeffizienten, so dass gröbere Verfälschungen durch kleine Ungenauigkeiten im zeitlichen Ablauf nicht zu erwarten sind.

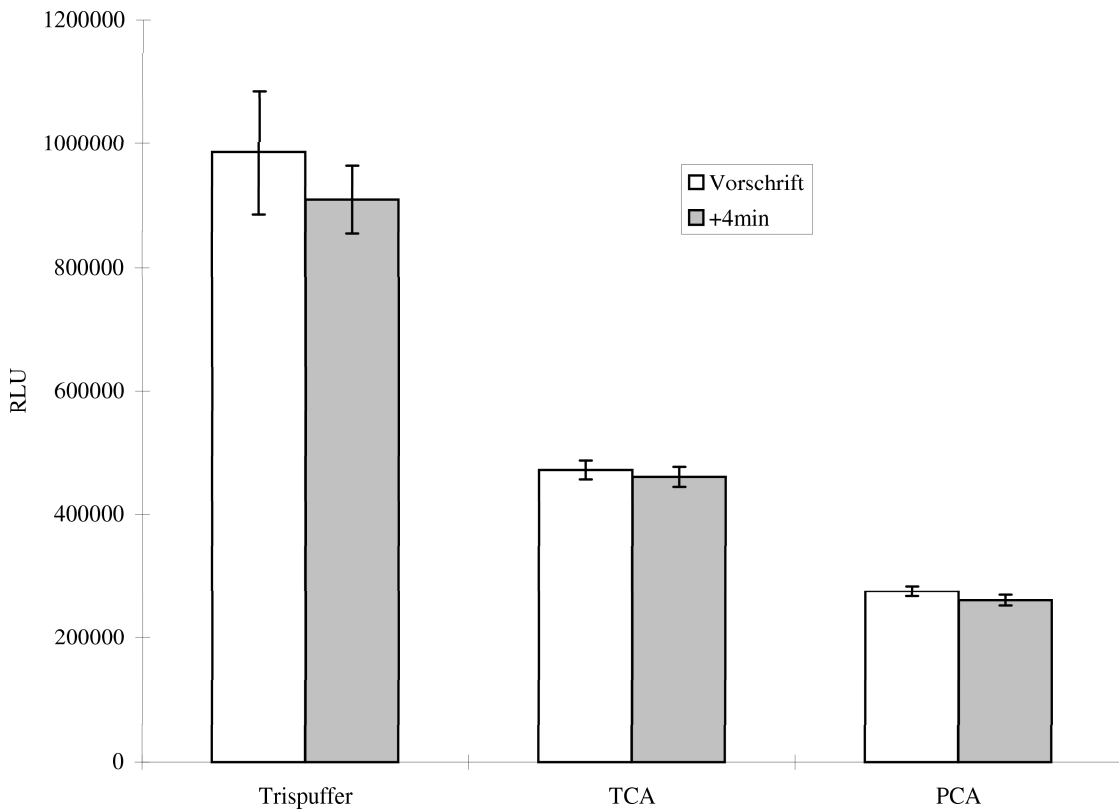


Abbildung 1: Messwerte von *identischen Proben* ($MX1$, $100\mu\text{l}$ Suspension, 10^4 Zellen/Cup) bei nach Vorschrift erfolgter Aufbereitung und bei um 4min verlängerter Einwirkungs- bzw. Erhitzungsdauer. Dargestellt sind Mittelwerte und Standardabweichungen, $n=3$.

3.1.4 Stabilität der Extrakte

Eine der wesentlichen Forderungen aus 2.4 ist (4): die vollständige und irreversibl Inaktivierung aller den ATP-Haushalt beeinflussenden Stoffwechselprozesse. Zu Klärung der Frage, inwieweit dies durch die untersuchten Verfahren erreicht wird, wurden je drei Proben verschiedener Zelldichte (nur Medium, 10^5 und $2 \cdot 10^5$ Zellen/ml) mit jedem der drei Verfahren aufbereitet. Von jeder Probe wurden $300\mu\text{l}$ sofort gemessen und $300\mu\text{l}$ für vier Stunden, dies entspricht dem Doppelten der bei den eigentlichen Versuchen notwendigen Lagerungsdauer, auf Eis gelagert und anschließend gemessen. Zum Ausgleich der durch die unterschiedlichen Luciferaselösungen entstehenden Differenzen wurden die Werte der Messung nach vier Stunden

mit einem aus den jeweils mitgeführten Eichreihen (s. 2.3.2) ermittelten Faktor $k = X_{\text{sofort}}/X_{4h}$ multipliziert.

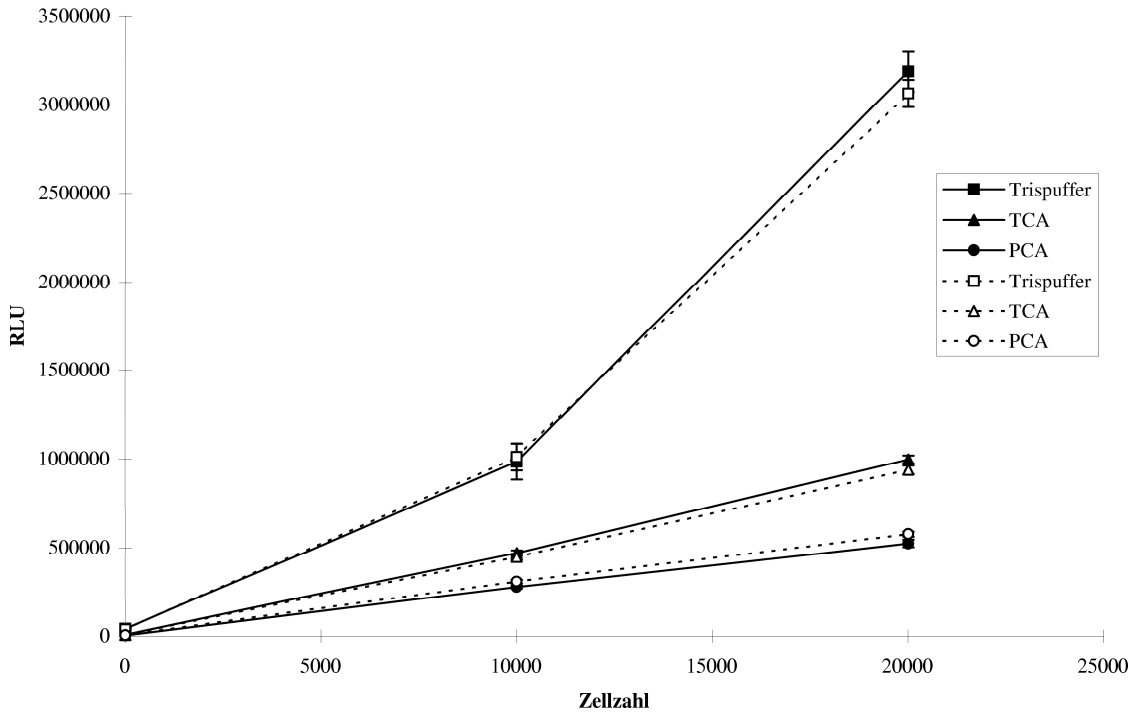


Abbildung 2: Messwerte bei Messung unmittelbar nach der ATP-Extraktion (durchgezogene Graphe) und nach vierstündiger Lagerung der Proben auf Eis (gestrichelt). Letztere Werte multipliziert mit einem aus den mitgeführten Eichreihen ermittelten Korrekturfaktor $k = X_{\text{sofort}}/X_{4h}$. Dargestellt sind die Mittelwerte und Standardabweichungen aus drei Proben je eingesetzter Zellzahl.

Die Ergebnisse sind in Abbildung 2 dargestellt, die Lagerung übt keinen Einfluss auf die Messwerte aus, so dass davon auszugehen ist, dass bei allen drei Verfahren eine vollständige und zumindest für vier Stunden irreversible Inaktivierung der den ATP-Haushalt beeinflussenden Stoffwechselprozesse erfolgt.

3.1.5 Empfindlichkeit und Proportionalität

Aus Abbildung 2 wird aber auch ersichtlich, dass das Pufferverfahren zwar die höchsten RLU-Werte je eingesetzter ATP-Konzentration liefert, gleichzeitig jedoch offenbar nicht zuverlässig proportionale Werte. Auch wiederholte Messungen zeigten hier das gleiche Bild.

3.1.6 Wahl des Verfahrens

Alle drei hier untersuchten Verfahren erfüllen prinzipiell die Anforderungen aus 2.3.2, sie sind außerdem in Bezug auf unvermeidliche kleinere zeitliche Ungenauigkeiten unempfindlich. Das Pufferverfahren zeichnet sich durch seine Einfachheit und hohe Sensitivität aus, erwies sich aber in der weiteren Versuchsplanung durch die erforderlichen Volumina als deutlich weniger geeignet. Weiterhin liefert diese Methode trotz der geringeren Anzahl an erforderlichen Verarbeitungsschritten etwas ungenauere Ergebnisse.

Die beiden Säureverfahren liefern zuverlässige Ergebnisse bei für den vorgesehenen Einsatz durchaus ausreichender Sensitivität, und die Reagenzienvolumina sind so niedrig, dass die entscheidenden Schritte der Proteindenaturierung und Neutralisation direkt in den eingesetzten 96-Well-Mikrotiterplatten durchgeführt werden können. Die Trichloressigsäure bietet hierbei durch höhere Sensitivität und geringere erforderliche Menge an Neutralisationslösung Vorteile gegenüber der Perchlorsäure. Auch in der Literatur wird diese Methode von einem Autor als Referenzverfahren benannt [59]. Die ATP-Extraktion wurde also bei allen Versuchen, die in die endgültige Auswertung eingehen sollten, mit 10% Trichloressigsäure durchgeführt.

3.2 ATP-Spiegel in vivo und ex vivo

3.2.1 Beeinflussung durch Aussaat in der Zellkultur

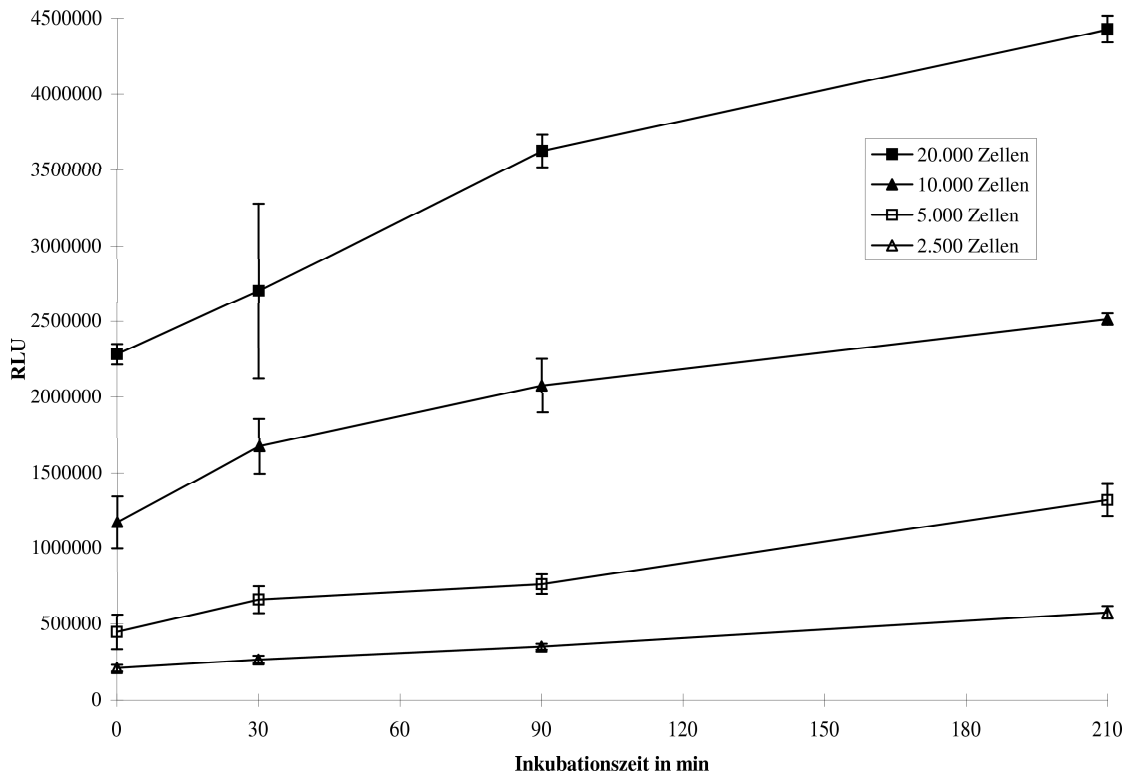


Abbildung 3: RLU-Werte unmittelbar nach Aussaat der MX1-Zellen sowie nach 30, 90 und 210 min Inkubation im Brutschrank. Dargestellt sind Mittelwerte und Standardabweichungen aus drei unabhängigen Versuchen.

Die Prozedur des Umsetzens und Aussäens der Zellen mit allen erforderlichen Schritten ließ eine Beeinflussung des Zellstoffwechsels erwarten. Um deren Ausmaß zu untersuchen und zu bestimmen, nach welcher Zeit sich der Zellstoffwechsel erholt hat, wurden die ATP-Spiegel in verschiedenen Zeitabständen nach der Aussaat mit dem Verfahren nach 2.4.1 gemessen. Da es hierbei nur auf den zeitlichen Verlauf und nicht auf die absoluten Konzentrationen ankam, wurde auf eine Umrechnung der RLU-Werte in ATP-Konzentrationen verzichtet.

Hier zeigte sich auch nach über drei Stunden ein Anstieg der ATP-Spiegel, auf der anderen Seite ist ein Anstieg der ATP-Spiegel auch durch die Zellproliferation zu

erwarten. In anderen in unserem Labor durchgeführten Untersuchungen [6] hatte sich eine 24stündige Inkubation im Brutschrank zwischen Aussaat der Zellen und Beginn der Messungen als praktikable Lösung erwiesen, so dass dies für die vorliegende Untersuchung übernommen wurde.

3.2.2 Intrazelluläre ATP-Konzentration in der Zellkultur

Bei der Bestimmung der intrazellulären ATP-Konzentration in den kultivierten Zellen nach 2.5 fanden sich keine wesentlichen Unterschiede im Vergleich der beiden Extraktionsverfahren: Die intrazelluläre ATP-Konzentration bei MX1- und S117-Zellen lag nach Tabelle 2 in der Kultur unter optimalen Umgebungsbedingungen in der Größenordnung zwischen 6 und 10mmol/l.

Tabelle 2: *Intrazellulärer ATP-Gehalt ATP_{cell} in fmol und -Konzentration $cATP$ in mmol/l bei MX1- und S117-Zellen. Angegeben sind Mittelwerte und Standardabweichungen von drei unabhängigen Messungen mit verschiedenen Zellzahlen (5000, 10000 und 20000 Zellen), jeweils im Dreifachansatz.*

Extraktions- verfahren	MX1 n=3		S117 n=3	
	ATP _{cell} [fmol]	cATP [mmol/l]	ATP _{cell} [fmol]	cATP [mmol/l]
TCA	7,38 ± 0,28	6,15 ± 0,23	31,85 ± 2,51	6,37 ± 0,50
Tris	11,76 ± 0,75	9,80 ± 0,62	45,90 ± 10,64	9,18 ± 2,13

3.2.3 ATP-Gewebekonzentration im Tumorxenograft

Bei den Messungen im MX1-Tumorxenograft zeigte sich, dass im vitalen Tumorgewebe ein niedrigerer ATP-Spiegel nachzuweisen ist, allerdings in ähnlicher Größenordnung wie in den isolierten und kultivierten Tumorzellen, so dass eine Vergleichbarkeit gegeben ist. Bei den in-vivo-Messungen handelt es sich nicht um intrazelluläre ATP-Konzentrationen, sondern methodenbedingt vielmehr um Gewebekonzentrationen, bezogen auf die Proteinmasse. Hier sind also auch avitales Gewebe sowie Bindegewebe und Blutgefäße mit erfasst. Deutlich wird jedoch die bessere Energieausstattung von Muskelgewebe gegenüber dem Tumorgewebe.

Tabelle 3: ATP-Gewebekonzentration in $\mu\text{mol/g}$ Protein im vom selben Blutgefäß versorgten MX1-Tumortexenograft und Muskelgewebe an der Nacktmaus unter physiologischen Bedingungen (Wasserbad 37°C) im zeitlichen Verlauf über 1,5 Stunden. Angegeben sind Mittelwerte und Standardabweichungen von drei unabhängigen Versuchen.

Zeit in min	MX1-Tumor		Muskel	
	n=3 [$\mu\text{mol/g}$]		n=3 [$\mu\text{mol/g}$]	
5	1,78	$\pm 1,21$	4,94	$\pm 1,44$
10	1,40	$\pm 1,36$	4,07	$\pm 0,39$
15	1,95	$\pm 1,30$	5,04	$\pm 1,28$
20	1,46	$\pm 1,23$	5,16	$\pm 1,61$
40	1,27	$\pm 0,81$	5,48	$\pm 2,46$
60	1,15	$\pm 1,24$	4,31	$\pm 1,47$
90	1,01	$\pm 1,38$	4,24	$\pm 0,39$

3.3 ATP-Spiegel unter Behandlung

3.3.1 Chloracetaldehyd

Unter Behandlung mit Chloracetaldehyd bei erhaltener anaerober Glykolyse zeigte sich bei beiden Zelllinien in den ersten 60min kein signifikanter Abfall des ATP im Vergleich zur unbehandelten Kontrollprobe (Abbildungen 4 und 5). Lediglich in einer Dosierung von 500 $\mu\text{mol/l}$ findet sich sowohl bei den MX1-Zellen als auch bei den S117-Zellen eine deutliche Reduktion des ATP bei der Messung nach 120 Minuten Inkubation ($p<0,005$).

3.3.2 Fluoracetat

Auch unter Inkubation mit 500 $\mu\text{mol/l}$ Fluoracetat lässt sich ohne Blockade des anaeroben Stoffwechselweges ein signifikanter Einfluss auf den ATP-Spiegel weder bei MX1- noch bei S117-Zellen nachweisen (Abbildungen 4 und 5).

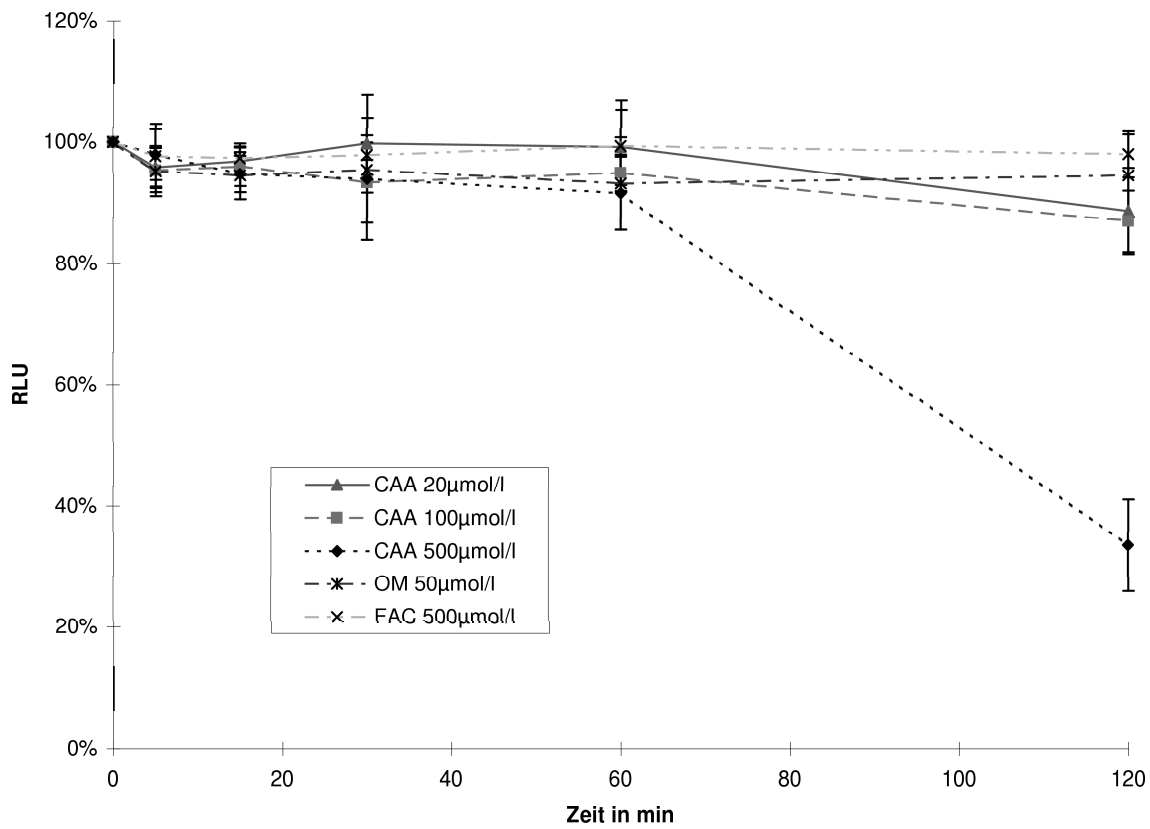


Abbildung 4: ATP-Spiegel von MX1-Zellen unter Inkubation mit Chloracetaldehyd, Fluoracetat und Oligomycin relativ zu einer unbehandelten Kontrollprobe. Dargestellt sind Mittelwerte und Standardabweichungen aus jeweils sechs Versuchen.

3.3.3 Oligomycin

Das gleiche Bild zeigt sich bei Behandlung mit $50\mu\text{mol/l}$ Oligomycin, auch hier bleiben die ATP-Spiegel bei beiden Zelllinien über die gesamte Messdauer von 120 Minuten unverändert.

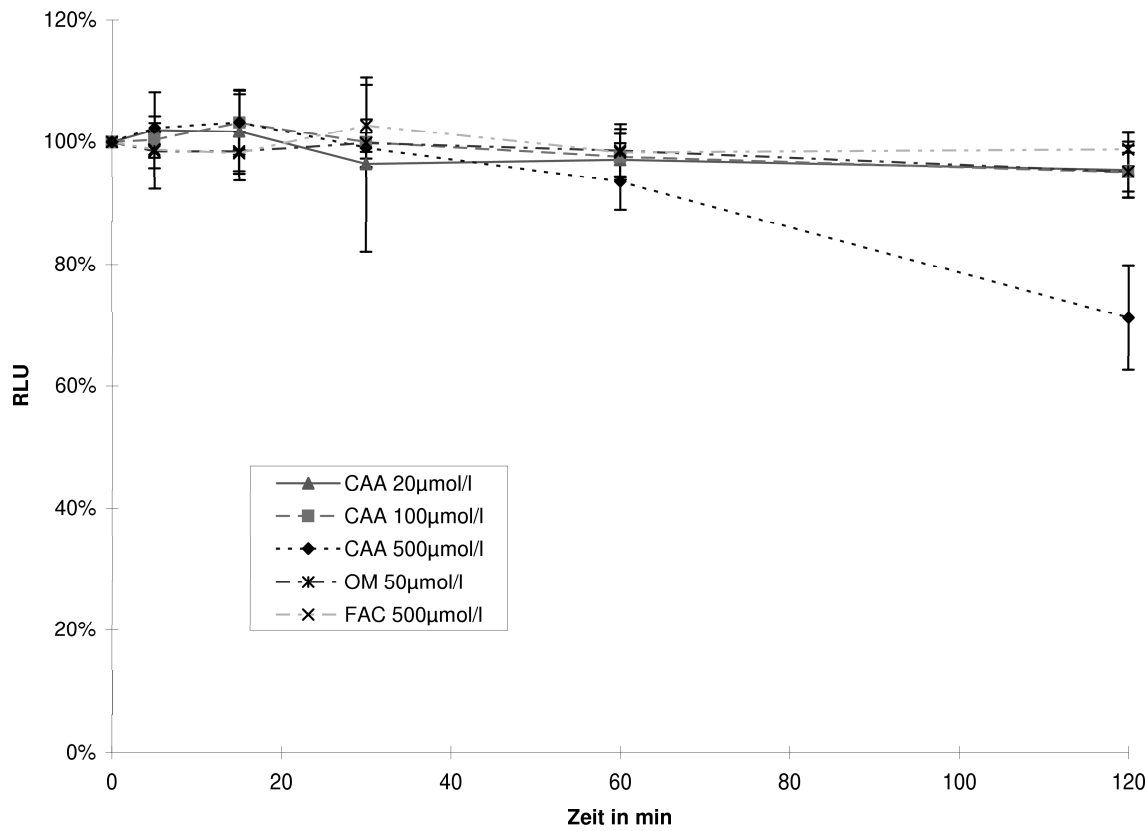


Abbildung 5: ATP-Spiegel von S117-Zellen unter Inkubation mit Chloracetaldehyd, Fluoracetat und Oligomycin relativ zu einer unbehandelten Kontrollprobe. Dargestellt sind Mittelwerte und Standardabweichungen aus jeweils sechs Versuchen.

3.4 ATP-Spiegel unter Behandlung bei blockierter anaerober Glykolyse

3.4.1 Aminooxoacetat

Aus den Abbildungen 6 und 7 wird deutlich, dass allein die Blockade des anaeroben Stoffwechselweges ohne zusätzliche Hemmung der Atmungskette einen signifikanten ($p<0,005$) Abfall des ATP-Spiegels schon innerhalb der ersten fünf Minuten nach Zugabe des Aminooxoacetates bewirkt. Bei den S117-Zellen ist diese Reduktion etwas weniger ausgeprägt als bei den Zellen der MX1-Linie, aber auch hier liegen die ATP Spiegel nach zwei Stunden Inkubation nur noch bei 42% der Kontrollprobe (MX1 28%).

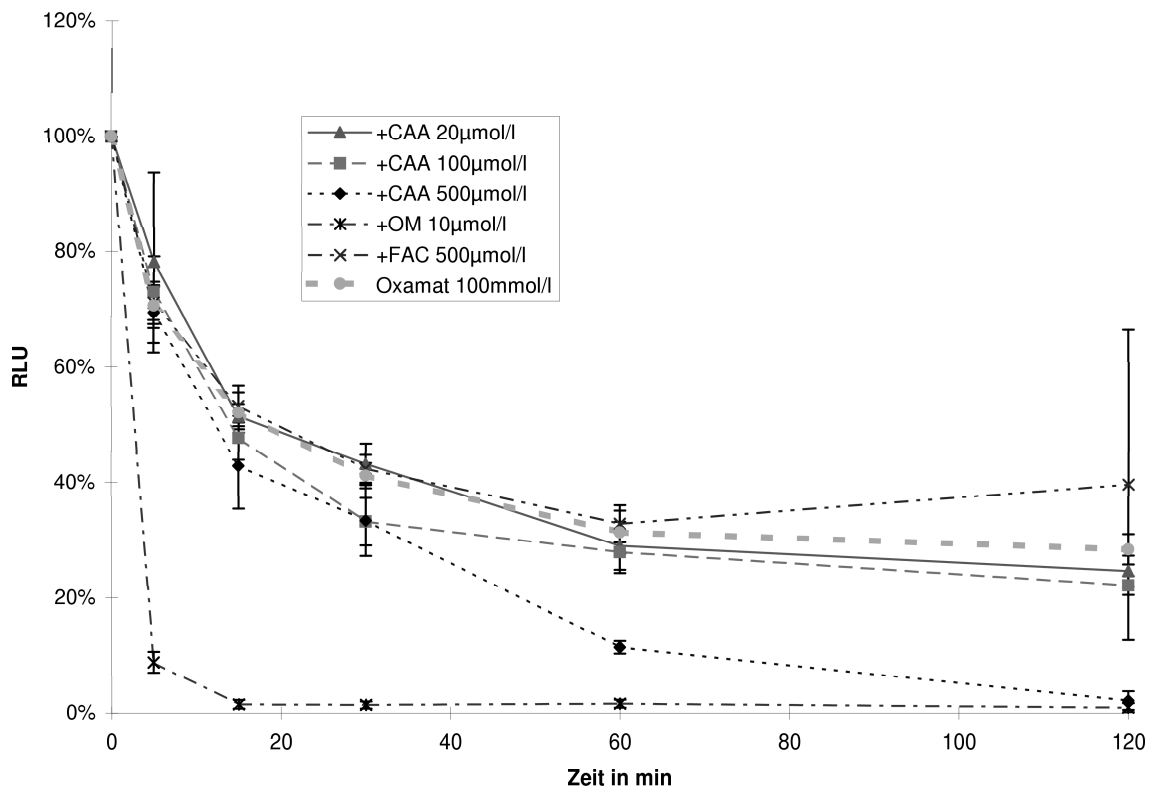


Abbildung 6: ATP-Spiegel von MX1-Zellen unter Inkubation mit Chloracetaldehyd, Fluoracetat und Oligomycin in Kombination mit 100mmol/l Aminooxoacetat zur Blockade der anaeroben Glykolyse relativ zu einer unbehandelten Kontrollprobe. Zum Vergleich werden die Messwerte unter Inkubation mit 100mmol/l Aminooxoacetat ohne Zugabe der übrigen Reagenzien mit gezeigt. Dargestellt sind Mittelwerte und Standardabweichungen aus jeweils sechs Versuchen.

3.4.2 Chloracetaldehyd und Aminoxxoacetat

Unter Zugabe von Chloracetaldehyd in drei unterschiedlichen Konzentrationen ($20\mu\text{mol/l}$, $100\mu\text{mol/l}$ und $500\mu\text{mol/l}$) ergab sich ein differenziertes Bild: Bei den Zellen der MX1-Linie ließ sich bei Inkubation mit $100\mu\text{M}$ Chloracetaldehyd nach 30min und 120min ein signifikant niedrigerer ATP-Spiegel als bei den lediglich mit Aminoxxoacetat behandelten Zellen nachweisen, bei $500\mu\text{M}$ Chloracetaldehyd deutlich nach 60min. Unter Behandlung mit $20\mu\text{mol/l}$ Chloracetaldehyd trat allerdings keine statistisch signifikante Veränderung des ATP-Spiegels auf (Abbildung 6).

Die S117-Zellen zeigten hier eine höhere Empfindlichkeit. Schon bei Inkubation mit $20\mu\text{mol/l}$ CAA ist bei 30min eine signifikante ($p<0,005$) ATP-Reduktion ge-

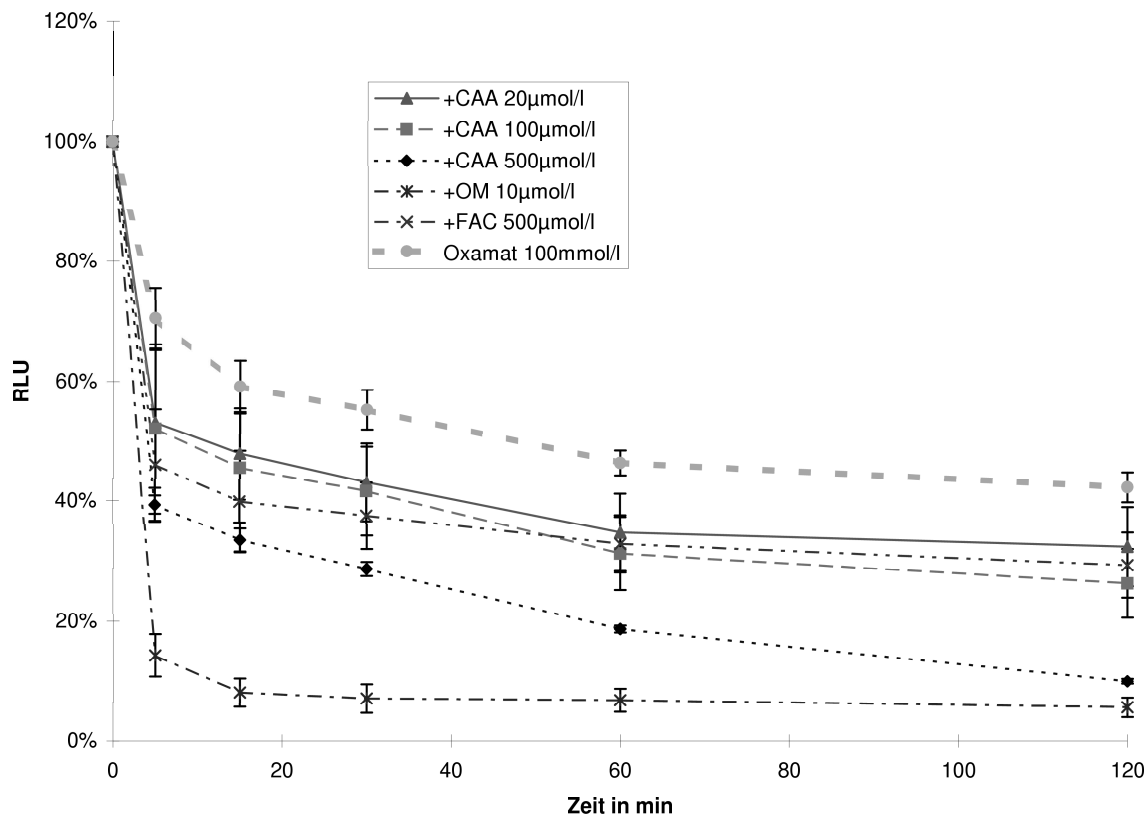


Abbildung 7: ATP-Spiegel von S117-Zellen unter Inkubation mit Chloracetaldehyd, Fluoracetat und Oligomycin in Kombination mit 100mmol/l Aminooxoacetat zur Blockade der anaeroben Glykolyse relativ zu einer unbehandelten Kontrollprobe. Zum Vergleich werden die Messwerte unter Inkubation mit 100mmol/l Aminooxoacetat ohne Zugabe der übrigen Reagenzien mit gezeigt. Dargestellt sind Mittelwerte und Standardabweichungen aus jeweils sechs Versuchen.

genüber den nur mit Aminooxoacetat behandelten Zellen sichtbar, die 60min- und 120min-Werte sind mit $p=0,006$ bzw. $p=0,012$ nicht mehr signifikant niedriger. Unter $100\mu\text{mol/l}$ CAA zeigt sich dann aber ein deutlicher Abfall des ATP-Spiegels ab der 30. Minute, unter $500\mu\text{mol/l}$ CAA schon ab der 5. Minute (Abbildung 7).

3.4.3 Fluoracetat und Aminooxoacetat

Auch bei Inkubation mit $500\mu\text{mol/l}$ Fluoracetat zeigte sich ein Unterschied zwischen den beiden Zelllinien. Während sich bei den MX1-Zellen keine weitere ATP-Reduktion im Vergleich zu den nur mit Aminooxoacetat behandelten Zellen nach-

weisen ließ (Abbildung 6), zeigte sich bei den S117-Zellen ein signifikanter Abfall des ATP-Spiegels von der 5. Minute an (Abbildung 7).

3.4.4 Oligomycin und Aminooxoacetat

Eindeutig ist der Effekt des Oligomycins. Bei gleichzeitiger Blockade des anaeroben Stoffwechselweges mit Aminooxoacetat bricht unter Zugabe von $10\mu\text{mol}/\text{l}$ Oligomycin die ATP-Synthese sowohl der MX1- als auch der S117-Zellen nahezu vollständig zusammen (Abbildungen 6, 7). Im Vergleich zur unbehandelten Kontrollprobe findet sich bei den Zellen der MX1-Linie noch ein ATP-Spiegel von 1-2% schon nach 15 Minuten Inkubation, die S117-Zellen erhalten sich noch einen ATP-Spiegel von 6-8% in Relation zur unbehandelten Kontrolle.

4

Diskussion

4.1 Wirkmechanismus von Chloracetaldehyd

In der Literatur werden eine Reihe von Hypothesen zur Wirkung von Chloracetaldehyd auf die intrazelluläre Energiegewinnung diskutiert. So konnte bei Untersuchungen an menschlichen Nierentubuli *in vitro* beobachtet werden, dass die Utilisation von Lactat und die Syntheserate von Glucose unter $500\text{-}5000\mu\text{mol/l}$ Chloracetaldehyd drastisch reduziert wurden, es aber gleichzeitig zu einer Akkumulation von Pyruvat kam [13]. Gleichzeitig fand sich eine Abnahme von Adenosintriphosphat, Coenzym A und Acetyl-CoA. Nach der Hypothese der Autoren kann diese Befundkonstellation durch eine Inhibition sowohl des Pyruvatdehydrogenasekomplexes, der die oxydative Decarboxylierung von Pyruvat zu Acetyl-CoA katalysiert, als auch der Pyruvatcarboxylase, einem durch Acetyl-CoA aktiviertem Enzym der Gluconeogenese erklärt werden.

In einer anderen Untersuchung an Ratten fand sich *in vivo* kein Einfluss von Chloracetaldehyd auf die Aktivität der Succinatdehydrogenase, allerdings konnte eine Reduktion der Fettsäureoxidation, namentlich des Palmitatstoffwechsels beobachtet werden [69]. Eine Inhibition der intrazellulären Energiegewinnung durch Chloracetaldehyd in Konzentrationen von $200\mu\text{mol/l}$ auf der Ebene der Atmungskette in Form einer reduzierten Aktivität der Succinat-Cytochrom-c-Oxidoreduktase konnte von WOODLAND ET AL. [72] nachgewiesen werden.

Mit der vorliegenden Untersuchung konnte nachgewiesen werden, dass Chloracetaldehyd ex vivo die ATP-Synthese von MX1- und S117-Zellen hemmen kann, allerdings nur in sehr hohen und klinisch nicht relevanten Konzentrationen, wenn gleichzeitig die anaerobe Glykolyse blockiert wird. Gleichzeitig zeigt sich ein deutlicher Abfall des intrazellulären ATP-Gehaltes bei alleiniger Blockade des anaeroben Stoffwechselweges. Da sich diese ATP-Depletion in allen Versuchen bereits nach den ersten fünf Minuten Inkubation nachweisen lässt, ist der in den Abbildungen 4 und 5 ohne Blockade der anaeroben Glykolyse zu er sehende Abfall des intrazellulären ATP-Gehaltes nach einer Inkubation mit $500\mu\text{mol/l}$ Chloracetaldehyd von mehr als einer Stunde durch das Absterben der Zellen bei dieser Chloracetaldhydkonzentration [6] zu erklären.

Zum Verständnis dieser Ergebnisse trägt die Beobachtung bei, dass Tumoren in der Lage sind, ihre Stoffwechselleage von der Verfügbarkeit der Substrate abhängig zu machen. Insbesondere ist bei einem ausreichendem Glucoseangebot der Syntheseweg der anaeroben Glykolyse von Glucose über Pyruvat zu Lactat in großem Maße steigerbar, der Tricarbonsäurezyklus scheint jedoch sättigbar zu sein [25]. Steht also Glucose als Substrat zur Verfügung, so können die untersuchten Tumorzellen eine Störung der oxydativen Glykolyse durch eine entsprechende Steigerung der anaeroben Glykolyse kompensieren. Erst nach der Blockade dieses Weges, die in der vorliegenden Untersuchung durch den Lactatdehydrogenaseinhibitor Aminooxoacetat erzielt wurde, werden die Effekte von Chloracetaldehyd auf den Adenosintriphosphathaushalt der Zelle sichtbar. SOOD UND O'BRIEN [54] haben in ihrer Untersuchung zur Toxizität von Chloracetaldehyd an Rattenhepatozyten einen ATP-Abfall beobachtet. In ihrer Arbeit wurden die Zellen in Krebs-Henseleit-Puffer kultiviert, den es in einer glucosehaltigen und einer glucosefreien Version gibt. Die Vermutung, dass in dieser Untersuchung glucosefreier Puffer verwendet wurde, liegt nahe, eine Aussage hierüber treffen die Autoren leider nicht. Berücksichtigt man dann ferner die Ergebnisse von DUBOURG ET AL. [13], nach denen auch die Gluconeogenese, zu der ja insbesondere Hepatozyten in der Lage sind, durch Chloracetaldehyd beeinträchtigt wird, löst sich der scheinbare Widerspruch zwischen den eigenen Ergebnissen und denen von SOOD UND O'BRIEN [54] auf.

Zur Beantwortung der Frage nach dem molekularen Mechanismus der beobachteten

Effekte trägt eine genauere Betrachtung der Ergebnisse sowohl der vorliegenden Untersuchung als auch der Literaturergebnisse bei. Eine Inhibition der F_0F_1 -ATPase ist für Oligomycin beschrieben [41]. Eine an HeLa-Zellen durchgeführte Untersuchung des Effektes von Oligomycin auf die intrazellulären ATP-Konzentrationen zeigte eine ATP-Depletion nur bei Kultur in glucosefreiem Medium, in glucosehaltigem Medium war kein Effekt zu beobachten [16]. Dies deckt sich mit den eigenen Beobachtungen.

Für einen Chloracetaldehyd-Wirkmechanismus außerhalb der eigentlichen Atmungskette, zusätzlich zu der von WOODLAND ET AL. [72] beobachteten Hemmung der Succinat-Cytochrom-c-Oxidoreduktase, sprechen die Ergebnisse von DUBOURG ET AL. [13], die allerdings mit sehr hohen Choracetaldehydkonzentrationen im Bereich von $500\mu\text{mol/l}$ bis $5000\mu\text{mol/l}$ beobachtet wurden. Die dort beobachtete Akkumulation von Pyruvat ist nicht nur über eine Hemmung der Pyruvatcarboxylase und des Pyruvatdehydrogenasekomplexes, sondern ebenso gut über eine “letale Synthese” von Chloracetyl-CoA analog zum Fluoracetatstoffwechsel [7, 49, 62] erklärbar: Chloracetyl-CoA würde mit Oxalacetat zu Chlorcitrat kondensiert, welches dann ebenso wie Fluorcitrat ein Inhibitor der Aconitase wäre und damit den Tricarbonsäurezyklus an der Stelle der Isomerisation von Citrat zu Isocitrat unterbräche. Gleichzeitig wäre die Aktivierung der Pyruvatcarboxylase durch Chloracetyl-CoA an Stelle von Acetyl-CoA beeinträchtigt. Konsekutiv folgte eine Akkumulation von Pyruvat sowie eine verminderte Gluconeogenese und Lactatutilisation.

Zur Absicherung dieser Hypothese sind noch weitere Untersuchungen erforderlich, jedoch werden diese Überlegungen durch die Beobachtung gestützt, dass sich in den vorliegenden Ergebnissen bei blockierter anaerober Glykolyse zwischen den MX1- und S117-Zellen Unterschiede beobachten lassen. So wird die ATP-Synthese von S117-Zellen im Gegensatz zu MX1-Zellen nach Zugabe von Oligomycin noch in geringem Maße aufrechterhalten. Die eingesetzte Konzentration von $10\mu\text{mol/l}$ Oligomycin scheint bei S117-Zellen also keine vollständige Blockade der F_0F_1 -ATPase zu bewirken. Anders sehen die Effekte von Chloracetaldehyd und Fluoracetat aus. Hier ist bei den S117-Zellen eine stärkere Beeinträchtigung der ATP-Synthese zu beobachten, was auf einen parallelen molekularen Mechanismus hindeuten könnte.

4.2 Mögliche klinische Bedeutung

Zu den folgenden Ausführungen ist einschränkend vorauszuschicken, dass die zitierten Studien an verschiedenen Tumoren durchgeführt wurden. Eine Verallgemeinerung ist daher sicher mit der gebotenen Zurückhaltung zu betrachten. Da sich jedoch die an den verschiedenen Tumoren erhobenen Befunde von der grundsätzlichen Aussage her decken, sind Überlegungen zur klinischen Bedeutung der in der vorliegenden Arbeit gewonnenen Ergebnisse möglich¹.

Die *in vivo* gemessenen ATP-Gewebekonzentrationen im Tumorxenograft (Tabelle 3) liegen in der gleichen Größenordnung wie die *ex vivo* in der Zellkultur gemessenen Konzentrationen (Tabelle 2). Dies spricht für eine Vergleichbarkeit der Ergebnisse der *ex-vivo*-Versuche mit möglichen *in-vivo*-Wirkungen.

Die nach der Literatur im Plasma von mit Ifosfamid behandelten Patienten gemessenen Chloracetaldehydspiegel² reichen von $10\mu\text{mol/l}$ - $109\mu\text{mol/l}$ [30] über $80\mu\text{mol/l}$ - $100\mu\text{mol/l}$ [22] bis $210\mu\text{mol/l}$ [74], bei hier durchgeführten Untersuchungen bis $15\mu\text{mol/l}$ [6]. Für therapeutisch erzielbare Chloracetaldehydplasmaspiegel sollte also realistischerweise ein Wert zwischen $10\mu\text{mol/l}$ und $100\mu\text{mol/l}$ angenommen werden, auch wenn es Hinweise auf eine hyperkapnievermittelte höhere intrazelluläre Ifosfamidkonzentration bei Prolaktinomen gibt [50].

Eine Reihe von Untersuchungen konnte zeigen, dass in soliden Tumoren vermehrt hypoxische Areale vorkommen [8, 32, 46, 66, 67]. Unmittelbare Folge der Hypoxie ist vor allem eine Absenkung des intrazellulären pH [2, 17, 25], die nicht nur auf einem erhöhten Lactat-Anfall, sondern auch auf einen erhöhten pCO₂ [25] beruht.

In mehreren Studien [3, 15, 63] konnte gezeigt werden, dass Tumorzellen auf Hypoxie auch mittels einer veränderten Genexpression reagieren können. Der komplexe veränderte Energiestoffwechsel von Tumoren mit hohem Anteil an hypoxischem und perinekrotischem Gewebe [19, 32] mit einer höheren Abhängigkeit von anaeroben Stoffwechselpfaden [40] bietet für solide Tumoren durch ein schlechteres Ansprechen auf Chemo- oder Radiotherapie [47, 52, 66] Überlebensvorteile [26].

¹Eine verallgemeinernde Computersimulation des Stoffwechsels von Tumoren zeigt ähnliche Resultate [35].

²Einen Überblick über entsprechende Messverfahren gibt die Übersichtsarbeit von KAIJSER ET AL. [31].

Zusammenfassend basiert der Energiestoffwechsel eines erheblichen Anteils von soliden Tumoren also zu einem wesentlichen Teil auf anaeroben Stoffwechselwegen, insbesondere der anaeroben Glykolyse. Die Daten der vorliegenden Arbeit legen den Schluss nahe, dass unter den Bedingungen einer ohnehin auf anaerober Glykolyse basierenden intrazellulären Energiegewinnung die nachgewiesene Hemmung des aeroben Stoffwechselweges durch Chloracetaldehyd bei therapeutisch erzielbaren Plasmakonzentrationen in der zytotoxischen Wirkung des Ifosfamides gegen solide Tumore nur eine untergeordnete Rolle spielt. Im Vordergrund stehen vermutlich die anderen zellschädigenden Wirkungen Alkylierung [33, 55] und Glutathion-Depletion [39, 42, 45, 53, 70]. Glutathion ist in seiner reduzierten Form ein Tripeptid (L-g-Glutamyl-L-Cysteinyl-Glycin), welches eine Thiol- oder Sulfhydryl(-SH)-gruppe enthält, und hat eine wesentliche Funktion im Schutz gegen freie Radikale und andere Oxidantien. Eine Glutathion-Depletion kann zu einer erhöhten Empfindlichkeit gegenüber der Toxizität von Chloracetaldehyd führen [54]. Andere Untersuchungen [9, 27, 51] konnten zeigen, dass die Alkylantienwirkung in rasch proliferierenden normalen Zellen und Tumorzellen durch eine Glutathion-Depletion verstärkt werden kann.

Es zeigt sich in den vorliegenden Ergebnissen jedoch eine Tendenz: die MX1-Zellen reagieren auf die alleinige Blockade der anaeroben Glykolyse mit einem deutlich stärkeren ATP-Abfall als die S117-Zellen, die wiederum empfindlicher auf Chloracetaldehyd und Fluoracetat reagieren. Dies stützt die Hypothese, dass Tumoren, die, wie in diesem Falle die MX1-Zellen, ihren Energiestoffwechsel auf anaerobe ATP-Gewinnung umgestellt haben, von Störungen des Tricarbonsäurezyklus relativ unbeeinträchtigt bleiben. Als Konsequenz könnte in der Therapie anderer, z.B. hämatologischer Tumoren, die möglicherweise eine stärkere Abhängigkeit von der aeroben Energiegewinnung aufweisen, der Effekt einer ATP-Synthasehemmung durch Chloracetaldehyd eventuell an Relevanz gewinnen. Dies sollte Gegenstand weiterer Untersuchungen sein.

5

Zusammenfassung

Der Ifosfamidmetabolit Chloracetaldehyd wurde für die im Vergleich zu dem Strukturanalogen Cyclophosphamid höhere Nephro- und Neurotoxizität des Ifosfamids verantwortlich gemacht. Untersuchungen der hiesigen Arbeitsgruppe konnten jedoch für Chloracetaldehyd eine eigene zytotoxische Wirkung auf Tumorzellen ex vivo und in vivo nachweisen. Für Chloracetaldehyd, das auch aus der chemischen Industrie bekannt ist, wurden neben einer alkylierenden und Glutathion vermindernden Wirkung auch eine Hemmung der oxydativen Phosphorylierung beschrieben. Es lag also der Gedanke nahe, mit dem Chloracetaldehyd eine Substanz gefunden zu haben, die die bislang chemotherapeutisch nur unzureichend angreifbaren hypoxischen Tumorareale gezielt schädigen könnte. Ziel der vorliegenden Arbeit war es, die Wirkung von Chloracetaldehyd auf die Adenosintriphosphatsynthese solider Tumoren in der Zellkultur zu untersuchen.

Hierzu wurden zunächst Methoden zur ATP-Extraktion in der Zellkultur verglichen und aus diesen ein eigenes Verfahren entwickelt. Die eigentliche ATP-Messung erfolgte nach dem Biolumineszenzverfahren. Zellen der humanen Mammakarzinom(MX1)- und Sarkom(S117)-Reihe wurden nach Inkubation in der Zellkultur mit Fluoracetat, Oligomycin und Chloracetaldehyd, jeweils mit und ohne Zugabe des Lactatdehydrogenaseinhibitors Aminooxoacetat, versetzt, unmittelbar nach Zugabe der Substanzen begann die Messung der ATP-Spiegel bis zu einem Zeitraum von 120min.

Eine deutliche Senkung des ATP-Spiegels war nur nach Blockade der anaeroben Glykolyse mit Aminooxoacetat zu beobachten. Beide Zellreihen zeigten ein leicht diffe-

rentes Verhalten: während bei den MX1-Zellen die ATP-Synthese über die oxydative Phosphorylierung unter Oligomycin nahezu vollständig sistierte, zeigten die S117-Zellen noch ATP-Spiegel in Höhe von 6-8% des Ausgangswertes. Chloracetaldehyd vermochte jedoch in Konzentrationen von $20\mu\text{mol/l}$ den ATP-Spiegel der S117-Zellen signifikant zu senken, bei MX1-Zellen war dieser Effekt erst ab $100\mu\text{mol/l}$ Chloracetaldehyd und nicht so ausgeprägt zu beobachten. Die Ergebnisse zum Fluoracetat ähnelten denen zum Chloracetaldehyd.

Ausgehend von der Fragestellung liegt der Schluss nahe, dass Chloracetaldehyd die ATP-Synthese mit einem ähnlichen molekularen Mechanismus wie Fluoracetat durch Einschleusung in den Tricarbonsäurezyklus als Chloracetyl-CoA hemmt. Relevante Auswirkungen auf den intrazellulären ATP-Gehalt unter therapeutisch erzielbaren Chloracetaldehydkonzentrationen lassen sich in den untersuchten Zellreihen jedoch nur bei gleichzeitiger Hemmung der anaeroben Glykolyse beobachten. Da solide Tumoren häufig aufgrund ihrer in wesentlichen Arealen hypoxischen Stoffwechsellsage von aerober Energiegewinnung weniger abhängig sind, scheint die klinische Relevanz dieser Chloracetaldehydwirkung in der Ifosfamidtherapie der untersuchten soliden Tumoren von untergeordneter Bedeutung zu sein. Inwieweit sich dieser Effekt bei anderen, insbesondere hämatologischen, Tumoren nutzen lässt, sollte Gegenstand weiterer Forschung sein.

Literaturverzeichnis

- [1] Benz C, Keniry M, Goldberg H: Selective toxicity of gossypol against epithelial tumors and its detection by magnetic resonance spectroscopy. Contraception 1988 Mar;37(3):221-8
- [2] Bhujwalla ZM, Artemov D, Ballesteros P, Cerdan S, Gillies RJ, Solaiyappan M: Combined vascular and extracellular pH imaging of solid tumors. NMR Biomed 2002 Apr;15(2):114-9
- [3] Blancher C, Harris AL: The molecular basis of the hypoxia response pathway: tumour hypoxia as a therapy target. Cancer Metastasis Rev 1998 Jun;17(2):187-94
- [4] Börner K, Kisro J, Brüggemann SK, Hagenah W, Peters SO, Wagner T: Metabolism of ifosfamide to chloroacetaldehyde contributes to antitumor activity in vivo. Drug Metab Dispos 2000 May;28(5):573-6
- [5] Brüggemann SK, Schlenke P, Klich S, Deeken M, Peters SO, Wagner T: Stem cell toxicity of oxazaphosphorine metabolites in comparison to their antileukemic activity. Biochem Pharmacol 2002 Apr 1;63(7):1337-41
- [6] Brüggemann SK, Kisro J, Wagner T: Ifosfamide cytotoxicity on human tumor and renal cells: role of chloroacetaldehyde in comparison to 4-hydroxyifosfamide. Cancer Res 1997 Jul 1;57(13):2676-80
- [7] Buffa P, Peters RA: The in vivo formation of citrate induced by fluoroacetate and its significance. J Physiol (Lond) 1950;110:488-500
- [8] Chapman JD: The detection and measurement of hypoxic cells in solid tumors. Cancer 1984 Dec 1;54(11):2441-9

- [9] Chen G, Waxman DJ: Identification of glutathione S-transferase as a determinant of 4-hydroperoxycyclophosphamide resistance in human breast cancer cells. *Biochem Pharmacol* 1995, May 26;49(11):1691-701
- [10] Coyle T, Levante S, Shetler M, Winfield J: In vitro and in vivo cytotoxicity of gossypol against central nervous system tumor cell lines. *J Neurooncol* 1994;19(1):25-35
- [11] De Luca M, McElroy WD: Kinetics of the firefly luciferase catalyzed reactions. *Biochemistry* 1974 Feb 26;13(5):921-5
- [12] Dervieux T, Brenner TL, Hon YY, Zhou Y, Hancock ML, Sandlund JT, Rivera GK, Ribeiro RC, Boyett JM, Pui CH, Relling MV, Evans WE: De novo purine synthesis inhibition and antileukemic effects of mercaptopurine alone or in combination with methotrexate in vivo. *Blood* 2002 Aug 15;100(4):1240-7
- [13] Dubourg L, Michoudet C, Cochat P, Baverel G: Human kidney tubules detoxify chloroacetaldehyde, a presumed nephrotoxic metabolite of ifosfamide. *J Am Soc Nephrol* 2001 Aug;12(8):1615-23
- [14] Dubourg L, Taniere P, Cochat P, Baverel G, Michoudet C: Toxicity of chloroacetaldehyde is similar in adult and pediatric kidney tubules. *Pediatr Nephrol* 2002 Feb;17(2):97-103
- [15] Duffy JP, Eibl G, Reber HA, Hines OJ: Influence of hypoxia and neoangiogenesis on the growth of pancreatic cancer. *Mol Cancer* 2003 Jan 22;2(1):12
- [16] Eguchi Y, Shimizu S, Tsujimoto Y: Intracellular ATP levels determine cell death fate by apoptosis or necrosis. *Cancer Res* 1997 May 15;57(10):1835-40
- [17] Evelhoch JL, Sapareto SA, Nussbaum GH, Ackerman JJ: Correlations between ³¹P NMR spectroscopy and ¹⁵O perfusion measurements in the RIF-1 murine tumor in vivo. *Radiat Res* 1986 Apr;106(1):122-31
- [18] Farzaneh F, Habib N, Walden P: Cancer gene therapy: new horizons in the East International Society for Cancer Gene Therapy. *Cancer Immunol Immunother* 2004 Nov;53(11):1052-3

- [19] Freitas I, Bono B, Bertone V, Griffini P, Baronzio GF, Bonandrini L, Gerzeli G: Characterization of the metabolism of perinecrotic cells in solid tumors by enzyme histochemistry. *Anticancer Res* 1996 May-Jun;16(3B):1491-502
- [20] Furlanet M, Franceschi L: Pharmacology of ifosfamide. *Oncology* 2003;65(Suppl 2):2-6
- [21] Girotti S, Ferri E, Cascione ML, Comuzio S, Mazzuca A, Orlandini A, Breccia A: Methodological problems of direct bioluminescent ATP assay in platelets and erythrocytes. *J Biolumin Chemilumin* 1989 Jul;4(1):594-601
- [22] Goren MP, Wright RK, Pratt CB, Pell FE: Dechloroethylation of ifosfamide and neurotoxicity. *Lancet* 1986 Nov 22;2(8517):1219-20
- [23] Hamilton E, Fennell M, Stafford DM: Modification of tumour glucose metabolism for therapeutic benefit. *Acta Oncol* 1995;34(3):429-33
- [24] Hanahan D, Folkman J: Patterns and emerging mechanisms of the angiogenic switch during tumorigenesis. *Cell* 1996 Aug 9;86(3):353-64
- [25] Helmlinger G, Sckell A, Dellian M, Forbes NS, Jain RK: Acid production in glycolysis-impaired tumors provides new insights into tumor metabolism. *Clin Cancer Res* 2002 Apr;8(4):1284-91
- [26] Hockel M, Vaupel P: Biological consequences of tumor hypoxia. *Semin Oncol* 2001 Apr;28(2 Suppl 8):36-41
- [27] Ishikawa M, Takayanagi Y, Sasaki K: Influence of buthionine sulfoximine on the lethality of ifosfamide and ifosfamide-induced urotoxicity in mice. *Res Commun Chem Pathol Pharmacol* 1989 Mar;63(3):455-8
- [28] Jakubczak E, Leclerc H: Mesure de l'ATP bacterien par bioluminescence: etude critique des methodes d'extraction. *Ann Biol Clin (Paris)* 1980;38(5):297-304
- [29] Jaroszewski JW, Kaplan O, Cohen JS: Action of gossypol and rhodamine 123 on wild type and multidrug-resistant MCF-7 human breast cancer cells: 31P nuclear magnetic resonance and toxicity studies. *Cancer Res* 1990 Nov 1;50(21):6936-43

- [30] Kaijser GP, Beijnen JH, Jeunink EL, Bult A, Keizer HJ, de Kraker J, Underberg WJ: Determination of chloroacetaldehyde, a metabolite of oxazaphosphorine cytostatic drugs, in plasma. *J Chromatogr* 1993 May 5;614(2):253-9
- [31] Kaijser GP, Korst A, Beijnen JH, Bult A, Underberg WJ: The analysis of ifosfamide and its metabolites (review). *Anticancer Res* 1993 Sep-Oct;13(5A):1311-24
- [32] Kallinowski F, Schlenger KH, Runkel S, Kloes M, Stohrer M, Okunieff P, Vaupel P: Blood flow, metabolism, cellular microenvironment, and growth rate of human tumor xenografts. *Cancer Res* 1989 Jul 15;49(14):3759-64
- [33] Kandala JC, Mrema JE, De Angelo A, Daniel FB, Guntaka RV: 2-chloroacetaldehyde and 2-chloroacetal are potent inhibitors of DNA synthesis in animal cells. *Biochem Biophys Res Commun* 1990;167:457-63
- [34] Koya K, Li Y, Wang H, Ukai T, Tatsuta N, Kawakami M, Shishido, Chen LB: MKT-077, a novel rhodacyanine dye in clinical trials, exhibits anticarcinoma activity in preclinical studies based on selective mitochondrial accumulation. *Cancer Res* 1996 Feb 1;56(3):538-43
- [35] Kraus M, Wolf B: Implications of acidic tumor microenvironment for neoplastic growth and cancer treatment: a computer analysis. *Tumour Biol* 1996;17(3):133-54
- [36] Kurowski V, Cerny T, Kupfer A, Wagner T: Metabolism and pharmacokinetics of oral and intravenous ifosfamide. *J Cancer Res Clin Oncol* 1991;117 Suppl 4:148-53
- [37] Kurowski V, Wagner T: Comparative pharmacokinetics of ifosfamide, 4-hydroxyifosfamide, chloroacetaldehyde, and 2- and 3-dechloroethylifosfamide in patients on fractionated intravenous ifosfamide therapy. *Cancer Chemother Pharmacol* 1993;33(1):36-42
- [38] Lee CY, Moon YS, Yuan JH, Chen AF: Enzyme inactivation and inhibition by gossypol. *Mol Cell Biochem* 1982 Sep 3;47(2):65-70
- [39] Lind MJ, McGown AT, Hadfield JA, Thatcher N, Crowther D, Fox BW: The effect of ifosfamide and its metabolites on intracellular glutathione levels in vitro and in vivo. *Biochem Pharmacol* 1989 Jun 1;38(11):1835-40

- [40] Liu H, Hu YP, Savaraj N, Priebe W, Lampidis TJ: Hypersensitization of tumor cells to glycolytic inhibitors. *Biochemistry* 2001 May 8;40(18):5542-7
- [41] Matsuno-Yagi A, Hatefi Y: Studies on the mechanism of oxidative phosphorylation. Different effects of F0 inhibitors on unisite and multisite ATP hydrolysis by bovine submitochondrial particles. *J Biol Chem* 1993 Jan 25;268(3):1539-45
- [42] Meier T, Allenbacher A, Mueller E, Multhoff G, Botzler C, Wiesnet M, Issels R: Ifosfamide induced depletion of glutathione in human peripheral blood lymphocytes and protection by mesna. *Anticancer Drugs* 1994 Aug;5(4):403-9
- [43] Mocellin S, Rossi CR, Nitti D: Cancer vaccine development: on the way to break immune tolerance to malignant cells. *Exp Cell Res* 2004 Oct 1;299(2):267-78
- [44] Modica-Napolitano JS, Koya K, Weisberg E, Brunelli BT, Li Y, Chen LB: Selective damage to carcinoma mitochondria by the rhodacyanine MKT-077. *Cancer Res* 1996 Feb 1;56(3):544-50
- [45] Mohrmann M, Ansorge S, Schmich U, Schonfeld B, Brandis M: Toxicity of ifosfamide, cyclophosphamide and their metabolites in renal tubular cells in culture. *Pediatr Nephrol* 1994 Apr;8(2):157-63
- [46] Moore DH, Rouse MB, Massenburg GS, Zeman EM: Description of a spheroid model for the study of radiation and chemotherapy effects on hypoxic tumor cell populations. *Gynecol Oncol* 1992 Oct;47(1):44-7
- [47] Moulder JE, Rockwell S: Tumor hypoxia: its impact on cancer therapy. *Cancer Metastasis Rev* 1987;5(4):313-41
- [48] Neumann HG: Entstehung und Behandlung von Tumoren. In: Forth W, Henschler D, Rummel W [Hrsg.]: Allgemeine und spezielle Pharmakologie und Toxikologie; 5., völlig neu bearb. und erw. Aufl. Bibliographisches Institut & F.A. Brockhaus AG, Mannheim; Wien; Zürich 1987:728-34
- [49] Peter G, Wagner T, Hohorst HJ: Studies on 4-hydroperoxycyclophosphamide (NSC-181815): a simple preparation method and its application for the synthesis of a new class of “activated” sulfur-containing cyclophosphamide (NSC-26271) derivatives. *Cancer Treat Rep* 1976 Apr;60(4):429-35

- [50] Rodrigues LM, Robinson SP, McSheehy PM, Stubbs M, Griffiths JR: Enhanced uptake of ifosfamide into GH3 prolactinomas with hypercapnic hyperoxic gases monitored in vivo by (31)P MRS. *Neoplasia* 2002 Nov-Dec;4(6):539-43
- [51] Saito G, Yoshimura S, Iwasaki K, Kuroshima Y, Moriuchi T: Suppression of plasma glutathione peroxidase activity by ifosfamide. *Asia Oceania J Obstet Gynaecol* 1994 Dec;20(4):441-7
- [52] Sartorelli AC: Therapeutic attack of hypoxic cells of solid tumors: presidential address. *Cancer Res* 1988 Feb 15;48(4):775-8
- [53] Sood C, O'Brien PJ: 2-Chloroacetaldehyde-induced cerebral glutathione depletion and neurotoxicity. *Br J Cancer Suppl* 1996 Jul;27:287-93
- [54] Sood C, O'Brien PJ: Molecular mechanisms of chloroacetaldehyde-induced cytotoxicity in isolated rat hepatocytes. *Biochem Pharmacol* 1993 Nov 2;46(9):1621-6
- [55] Spengler SJ, Singer B: Formation of interstrand cross-links in chloroacetaldehyde-treated DNA demonstrated by ethidium bromide fluorescence. *Cancer Res* 1988;48:4804-6
- [56] Springate J, Chan K, Lu H, Davies S, Taub M: Toxicity of ifosfamide and its metabolite chloroacetaldehyde in cultured renal tubule cells. *In Vitro Cell Dev Biol Anim* 1999 Jun;35(6):314-7
- [57] Springate JE: Ifosfamide metabolite chloroacetaldehyde causes renal dysfunction in vivo. *J Appl Toxicol* 1997 Jan-Feb;17(1):75-9
- [58] Stanley PE: Extraction of adenosine triphosphate from microbial and somatic cells. *Methods Enzymol* 1986;133:14-22
- [59] Stanley PE: A review of bioluminescent ATP techniques in rapid microbiology. *J Biolumin Chemilumin* 1989 Jul;4(1):375-80
- [60] Stephens DT, Critchlow LM, Hoskins DD: Mechanism of inhibition by gossypol of glycolysis and motility of monkey spermatozoa in vitro. *J Reprod Fertil* 1983 Nov;69(2):447-52

- [61] Stone AA, Chambers TC: Microtubule inhibitors elicit differential effects on MAP kinase (JNK, ERK, and p38) signaling pathways in human KB-3 carcinoma cells. *Exp Cell Res* 2000 Jan 10;254(1):110-9
- [62] Stryer L: Der Citratzyklus (Kap. 13) In: Stryer L: Biochemie. Dt. Übersetzung Pfeiffer B, Guglielmi J; 4., durchgesehene Auflage, Friedr. Vieweg & Sohn, Braunschweig/Wiesbaden 1987:230-1
- [63] Sun X, Kanwar JR, Leung E, Lehnert K, Wang D, Krissansen GW: Gene transfer of antisense hypoxia inducible factor-1 alpha enhances the therapeutic efficacy of cancer immunotherapy. *Gene Ther* 2001 Apr;8(8):638-45
- [64] Thews O, Kelleher DK, Lecher B, Vaupel P: Blood flow, oxygenation, metabolic and energetic status in different clonal subpopulations of a rat rhabdomyosarcoma. *Int J Oncol* 1998 Aug;13(2):205-11
- [65] Tso WW, Lee CS: Gossypol uncoupling of respiratory chain and oxidative phosphorylation in ejaculated boar spermatozoa. *Contraception* 1982 Jun;25(6):649-55
- [66] Vaupel P, Hockel M: Blood supply, oxygenation status and metabolic micro-milieu of breast cancers: characterization and therapeutic relevance. *Int J Oncol* 2000 Nov;17(5):869-79
- [67] Vaupel P, Kallinowski F, Okunieff P: Blood flow, oxygen and nutrient supply, and metabolic microenvironment of human tumors: a review. *Cancer Res* 1989 Dec 1;49(23):6449-65
- [68] Vaupel P, Muller-Klieser W: Hemodilution in isolated tumor perfusion. *Bio-rheology* 1984;21(4):521-8
- [69] Visarius TM, Stucki JW, Lauterburg BH: Inhibition and stimulation of long-chain fatty acid oxidation by chloroacetaldehyde and methylene blue in rats. *J Pharmacol Exp Ther* 1999 May;289(2):820-4
- [70] Wagner T: Ifosfamide clinical pharmacokinetics. *Clin Pharmacokinet* 1994 Jun;26(6):439-56

- [71] Weisberg EL, Koya K, Modica-Napolitano J, Li Y, Chen LB: In vivo administration of MKT-077 causes partial yet reversible impairment of mitochondrial function. *Cancer Res* 1996 Feb 1;56(3):551-5
- [72] Woodland C, Ito S, Granvil CP, Wainer IW, Klein J, Koren G: Evidence of renal metabolism of ifosfamide to nephrotoxic metabolites. *Life Sci* 2000 Nov 24;68(1):109-17
- [73] Wu YW, Chik CL, Knazek RA: An in vitro and in vivo study of antitumor effects of gossypol on human SW-13 adrenocortical carcinoma. *Cancer Res* 1989 Jul 15;49(14):3754-8
- [74] Zamlauski-Tucker MJ, Morris ME, Springate JE: Ifosfamide metabolite chloroacetaldehyde causes Fanconi syndrome in the perfused rat kidney. *Toxicol Appl Pharmacol* 1994 Nov;129(1):170-5

Anhang A

Abkürzungen

- AMP Adenosinmonophosphat
- ATP Adenosintriphosphat
- CAA Chloracetaldehyd
- dest. destillata
- DMSO Dimethylsulfoxid
- FAC Fluoracetat
- IFO Ifosfamid
- KOH Kalilauge
- OM Oligomycin
- Ox. Aminooxoacetat (Oxamat)
- PCA Perchlorsäure
- PP_i Pyrophosphat
- RLU relative light units
- TCA Trichloressigsäure
- VK Variationskoeffizient

Anhang B

Messwerttabellen

B.1 Rohdaten der Messungen zum Vergleich der Extraktionsverfahren

ATP-Extraktionsverfahren im Vergleich

1. Meßwerte (ohne Lagerung)

RLU/[ATP]	35341	RLU/[ATP]	41592	(nach 4h Lagerung bei 4°C)					
Proben	RLU	RLU+Leer	Mittelwert	Std. Abw.	RLU	RLU+Leer	Mittelwert	Std. Abw.	[ATP]
Leer (Tris)	48388		6231		52758		8332		
Leer (Tris)	37647	entfällt	41193	15,1%	38192	entfällt	43118	19,3%	
Leer (Tris)	37544				38425				
1*10E5 A (Tris)	991567	950374	100103		1220623	1177505	88696		
1*10E5 A (Tris)	949745	908552	985982	2,79E-01	1150962	1107844	1189769	7,5%	2,86E+01
1*10E5 A (Tris)	1140214	1098021			1327078	1283960			
1*10E5 B (Tris)	1013219	972026	55185		3747797	3704679	90161		
1*10E5 B (Tris)	928993	887800	909322	2,57E-01	35882623	3539505	3601208	2,5%	8,67E+01
1*10E5 B (Tris)	909334	868141			3602559	3559441			
2*10E5 A (Tris)	3359961	3318768	116918		9790				1532
2*10E5 A (Tris)	3133641	3092448	3188632	3,7%	7136	entfällt	8021	19,1%	
2*10E5 A (Tris)	315874	3154681			7136				
Leer (TCA)	9826		1010		518047	510026	20866		
Leer (TCA)	7966	entfällt	8671	11,6%	530710	522689	527837	4,0%	1,27E+01
Leer (TCA)	8231				558815	550794			
1*10E5 A (TCA)	475013	4663342	15005		21065 A (TCA)	1106074	1098053	28195	
1*10E5 A (TCA)	468977	460306	471810	3,2%	2*10E5 A (TCA)	1143725	1135704	1104760	2,6%
1*10E5 A (TCA)	497454	488783			2*10E5 A (TCA)	108854	1080523		2,66E+01
1*10E5 B (TCA)	483241	474570	15968		Leer (PCA)	6676			502
1*10E5 B (TCA)	473485	464814	460914	3,5%	Leer (PCA)	5750	entfällt	6100	8,2%
1*10E5 B (TCA)	452028	443357			Leer (PCA)	5875			
2*10E5 A (TCA)	1011752	1003081	21889		1*10E5 A (PCA)	358134	352034	13327	
2*10E5 A (TCA)	1025575	1016904	998001	2,2%	1*10E5 A (PCA)	363157	35057	362102	3,7%
2*10E5 A (TCA)	982690	974019			1*10E5 A (PCA)	383315	377215		8,72E+00
Leer (PCA)	4674		281		2*10E5 A (PCA)	667248	661148	16970	
Leer (PCA)	4178	entfällt	4349	6,5%	2*10E5 A (PCA)	699613	680281	680281	2,5%
Leer (PCA)	4196				2*10E5 A (PCA)	692233	686183		1,64E+01
1*10E5 A (PCA)	290662	286313	8541						
1*10E5 A (PCA)	276701	272352	276490	3,1%					
1*10E5 A (PCA)	275156	270807							
1*10E5 B (PCA)	267884	265535	8637						
1*10E5 B (PCA)	273410	269061	261573	3,3%					
1*10E5 B (PCA)	256473	252124							
2*10E5 A (PCA)	510810	506461	21371						
2*10E5 A (PCA)	552923	548574	525407	4,1%					
2*10E5 A (PCA)	525536	521187							

nach Vorschrift
mit 4min Verzögerung

B.2 Rohdaten der Messungen zur Bestimmung der absoluten ATP-Konzentrationen

Messungen MX1

1. TCA-Verfahren

Zellzahl	RLU	Mittel	Stabw
0	3427	3427	0
5000	151370		0
50000	145405	144031	8114
50000	135317		0
100000	304266		0
100000	305735	306451	26118
100000	309352		0
200000	589600		0
200000	587864	573498	26401
200000	543029		0

Korrel.: 0,99928002
Reg.Gr.: 28,6391371
AchsAbschn.: 6259,135333

2. Tris-Verfahren

Zellzahl	RLU	Mittel	Stabw
0	10233	10233	0
5000	677317		0
50000	705313	648965	74676
50000	564265		0
100000	1276701		0
100000	1476392	1343421	115157
100000	1277170		0
200000	3474328		0
200000	2876045	2931481	517361
200000	2444070		0

Korrel.: 0,99868082
Reg.Gr.: 146,904137
AchsAbschn.: -51886,2

Messungen S117

1. TCA-Verfahren

Eichreihen

1. TCA-Verfahren

Eichreihe TCA-Verfahren

1. TCA-Verfahren

Zellzahl	RLU	Mittel	Stabw
0	0	3427	3427
5000	591540		0
50000	657278	641530	44270
50000	5000	675773	0
100000	1379890		0
100000	10000	1432609	1359393
100000	10000	1265680	85331
200000	2427057		0
200000	20000	2298244	2323034
200000	20000	2243802	94109

Korrel.: 0,999567243
Reg.Gr.: 116,103554
AchsAbschn.: 65940,0667

2. Tris-Verfahren

Eichreihe Tris-Verfahren

1. Tris-Verfahren

Zellzahl	RLU	Mittel	Stabw
0	0	10233	10233
5000	5000	3197205	0
50000	5000	3334604	3265437
50000	5000	3264501	0
100000	10000	5047127	0
100000	10000	5700280	5441402
100000	10000	5576798	0
200000	20000	7933592	0
200000	20000	8187763	8118695
200000	20000	8224730	162015

Zellzahl	RLU	Mittel	Stabw
0	0	0	0
1,25E-10	1,25E-10	1,25E-10	0
2,50E-10	2,50E-10	2,50E-10	0
3,75E-10	3,75E-10	3,75E-10	0
6,00E-10	6,00E-10	6,00E-10	0

Zellzahl	RLU	Mittel	Stabw
0	0	0	0
1,25E-10	1,25E-10	1,25E-10	0
2,50E-10	2,50E-10	2,50E-10	0
3,75E-10	3,75E-10	3,75E-10	0
6,00E-10	6,00E-10	6,00E-10	0

Korrel.: 0,97608175
Reg.Gr.: 392,238375
AchsAbschn.: 776855,8

B.3 Rohdaten der ATP-Messungen an MX1-Zellen

MX1 Chloracetalddehyd 20µmol/l

Zeit in min	1. Versuch		2. Versuch		3. Versuch		4. Versuch		5. Versuch		6. Versuch	
	RLU	RLU-Leer	Mittel/VK	RLU	RLU-Leer	Mittel/VK	RLU	RLU-Leer	Mittel/VK	RLU	RLU-Leer	Mittel/VK
Leerwert	2906	703188	683567	2906	849486	844580	7293	7283	7293	5478	5478	5478
Kontrolle	706094	678440	697533	694627	768378	732562	728249	707957	765357	530166	656530	656530
5	675085	675085	9.89%	9.89%	678551	668248	80125	788932	550597	529619	617340	617340
15	677924	673040	2.24%	767974	765068	9.89%	736638	728375	795988	2.48%	538405	533927
30	727134	689497	772104	763124	750145	714547	707254	688506	583242	5775949	631901	631901
60	683137	683137	7.59%	805948	803042	606174	598881	663633	636360	5742449	566971	566971
120	650126	650126	7.59%	691969	691969	762557	762557	762390	12.06%	670687	653394	7.69%
Leerwert	674411	721124	718218	786102	783196	598283	591980	634104	613047	651553	592039	592039
CAA 20µmol/l	689089	686183	3.45%	744571	744571	355121	4.86%	656429	649136	608655	603177	603177
5	659527	655621	655621	806478	833618	763622	756229	703595	570578	677618	670325	670325
30	655621	655621	793557	793557	671817	661554	622629	615336	604042	611028	611028	611028
60	655621	655621	0.94%	792720	792720	697225	679322	689392	6.73%	623304	623304	623304
120	796173	796173	754612	866227	8653370	871090	743475	736182	752095	587471	580178	587471
Leerwert	680937	678031	8.79%	906932	904026	3.43%	773318	768605	76312	582429	575136	587472
CAA 20µmol/l	674003	664721	2906	731925	749920	72833	716132	705287	705287	61320	606127	2.00%
5	694622	694622	4.91%	743463	743463	768435	759142	698501	707244	506511	506511	506511
30	6531349	628443	772279	773473	7593%	655116	6468923	671513	664220	6.07%	470054	464576
60	629000	629000	640356	781392	774846	757725	768435	765304	758011	527893	522415	522415
120	629000	629000	603559	640356	781392	774846	661689	654326	639520	632227	5153097	5153097
Leerwert	676909	674003	664721	731925	749920	72833	716132	705287	705287	705287	555764	555764
CAA 20µmol/l	691716	691716	4.91%	772279	773473	7593%	655116	6468923	671513	664220	6.07%	470054
5	6531349	628443	772279	773473	7593%	655116	6468923	671513	664220	6.07%	470054	464576
30	636778	633872	628285	760736	757830	756599	649760	642467	700516	618966	584775	584775
60	629191	629191	628285	763042	762136	721136	714103	632346	625033	579297	573467	573467
120	629191	629191	628285	672266	672132	752280	0.92%	752280	7.51%	671164	663871	566184
Leerwert	676909	674003	664721	731925	749920	72833	716132	705287	705287	705287	588786	588786
CAA 20µmol/l	691716	691716	4.91%	772279	773473	7593%	655116	6468923	671513	664220	6.07%	470054
5	6531349	628443	772279	773473	7593%	655116	6468923	671513	664220	6.07%	470054	464576
30	636778	633872	628285	760736	757830	756599	649760	642467	700516	618966	584775	584775
60	629191	629191	628285	763042	762136	721136	714103	632346	625033	579297	573467	573467
120	629191	629191	628285	672266	672132	752280	0.92%	752280	7.51%	671164	663871	566184
Leerwert	676909	674003	664721	731925	749920	72833	716132	705287	705287	705287	588786	588786
CAA 20µmol/l	691716	691716	4.91%	772279	773473	7593%	655116	6468923	671513	664220	6.07%	470054
5	6531349	628443	772279	773473	7593%	655116	6468923	671513	664220	6.07%	470054	464576
30	636778	633872	628285	760736	757830	756599	649760	642467	700516	618966	584775	584775
60	629191	629191	628285	763042	762136	721136	714103	632346	625033	579297	573467	573467
120	629191	629191	628285	672266	672132	752280	0.92%	752280	7.51%	671164	663871	566184
Leerwert	676909	674003	664721	731925	749920	72833	716132	705287	705287	705287	588786	588786
CAA 20µmol/l	691716	691716	4.91%	772279	773473	7593%	655116	6468923	671513	664220	6.07%	470054
5	6531349	628443	772279	773473	7593%	655116	6468923	671513	664220	6.07%	470054	464576
30	636778	633872	628285	760736	757830	756599	649760	642467	700516	618966	584775	584775
60	629191	629191	628285	763042	762136	721136	714103	632346	625033	579297	573467	573467
120	629191	629191	628285	672266	672132	752280	0.92%	752280	7.51%	671164	663871	566184
Leerwert	676909	674003	664721	731925	749920	72833	716132	705287	705287	705287	588786	588786
CAA 20µmol/l	691716	691716	4.91%	772279	773473	7593%	655116	6468923	671513	664220	6.07%	470054
5	6531349	628443	772279	773473	7593%	655116	6468923	671513	664220	6.07%	470054	464576
30	636778	633872	628285	760736	757830	756599	649760	642467	700516	618966	584775	584775
60	629191	629191	628285	763042	762136	721136	714103	632346	625033	579297	573467	573467
120	629191	629191	628285	672266	672132	752280	0.92%	752280	7.51%	671164	663871	566184
Leerwert	676909	674003	664721	731925	749920	72833	716132	705287	705287	705287	588786	588786
CAA 20µmol/l	691716	691716	4.91%	772279	773473	7593%	655116	6468923	671513	664220	6.07%	470054
5	6531349	628443	772279	773473	7593%	655116	6468923	671513	664220	6.07%	470054	464576
30	636778	633872	628285	760736	757830	756599	649760	642467	700516	618966	584775	584775
60	629191	629191	628285	763042	762136	721136	714103	632346	625033	579297	573467	573467
120	629191	629191	628285	672266	672132	752280	0.92%	752280	7.51%	671164	663871	566184
Leerwert	676909	674003	664721	731925	749920	72833	716132	705287	705287	705287	588786	588786
CAA 20µmol/l	691716	691716	4.91%	772279	773473	7593%	655116	6468923	671513	664220	6.07%	470054
5	6531349	628443	772279	773473	7593%	655116	6468923	671513	664220	6.07%	470054	464576
30	636778	633872	628285	760736	757830	756599	649760	642467	700516	618966	584775	584775
60	629191	629191	628285	763042	762136	721136	714103	632346	625033	579297	573467	573467
120	629191	629191	628285	672266	672132	752280	0.92%	752280	7.51%	671164	663871	566184
Leerwert	676909	674003	664721	731925	749920	72833	716132	705287	705287	705287	588786	588786
CAA 20µmol/l	691716	691716	4.91%	772279	773473	7593%	655116	6468923	671513	664220	6.07%	470054
5	6531349	628443	772279	773473	7593%	655116	6468923	671513	664220	6.07%	470054	464576
30	636778	633872	628285	760736	757830	756599	649760	642467	700516	618966	584775	584775
60	629191	629191	628285	763042	762136	721136	714103	632346	625033	579297	573467	573467
120	629191	629191	628285	672266	672132	752280	0.92%	752280	7.51%	671164	663871	566184
Leerwert	676909	674003	664721	731925	749920	72833	716132	705287	705287	705287	588786	588786
CAA 20µmol/l	691716	691716	4.91%	772279	773473	7593%	655116	6468923	671513	664220	6.07%	470054
5	6531349	628443	772279	773473	7593%	655116	6468923	671513	664220	6.07%	470054	464576
30	636778	633872	628285	760736	757830	756599	649760	642467	700516	618966	584775	584775
60	629191	629191	628285	763042	762136	721136	714103	632346	625033	579297	573467	573467
120	629191	629191	628285	672266	672132	752280	0.92%	752280	7.51%	671164	663871	566184
Leerwert	676909	674003	664721	731925	749920	72833						

MX1 Chloracetalddehyd 100µmol/l

Zeit in min	1. Versuch		2. Versuch		3. Versuch		4. Versuch		5. Versuch		6. Versuch	
	RLU	RLU-Leer	Mittel/VK	RLU	RLU-Leer	Mittel/VK	RLU	RLU-Leer	Mittel/VK	RLU	RLU-Leer	Mittel/VK
Leerwert	2906	703188	6835567	849486	8240580	768738	7293	725249	707957	765357	768064	5478
Kontrolle	5	678495	694627	692533	679274	676541	668248	729315	801225	783932	788705	526952
-5	677924	727134	665497	76124	772104	714547	707234	689508	563242	575949	631901	539327
-10	730049	631231	750301	750145	606174	598881	663633	665350	574249	568697	52449	568905
-15	650302	650126	803042	805948	762390	12.06%	670687	663394	7.69%	541593	570701	2.73%
-20	674411	671905	691969	762839	759593	762567	641397	634104	613047	642490	651553	562039
-30	721124	718218	781396	781396	598233	591990	595121	595121	4.48%	649136	656429	601549
-40	689089	686183	3.45%	744571	2.55%	722258	722258	725431	677618	670325	670578	614909
-50	653827	655621	659090	834514	831608	806478	763522	756269	703585	653285	622262	611045
-60	668281	655375	795463	795557	671847	664554	679225	688932	6.73%	640797	633504	615835
-70	669181	668275	0.94%	792176	794270	2.70%	697225	743475	736182	752095	580178	587447
-80	796173	793262	754612	866276	863370	871080	773518	766025	592429	575136	605522	601549
-90	79545	792539	846749	846845	761372	754079	7.79%	761372	2.00%	613420	606127	2.83%
-100	687937	678031	904932	904026	3.43%	760495	733324	744112	736869	720118	759386	7293
-120	678016	675110	661137	709401	724164	722258	712599	705296	2.20%	718188	716237	69157
-140	655295	650051	655260	1.93%	775126	4.70%	712599	712599	647160	640582	666178	668895
-160	661156	655260	640633	797193	788887	728382	654433	656536	562623	575910	667510	5.96%
-180	632886	629980	640633	761779	761779	761779	647160	640582	666178	668895	613119	583854
-200	646445	646445	646445	661779	661779	661779	661779	661779	575910	575910	575910	575910
-220	653085	650179	1.58%	731541	729635	8.33%	722615	715322	12.21%	602451	585158	565158
-240	588435	588435	588435	770932	772235	6.73%	631532	630161	551070	577425	589030	590737
-260	646670	643764	710423	705157	690016	592723	674814	667521	5.83%	597700	590467	596889
-280	506581	503675	12.18%	688365	688459	6.39%	674814	667521	5.83%	597700	590467	596889
-300	621575	618669	647161	762690	762784	744426	762222	760929	688581	614793	607500	556248
-320	657188	654280	763772	760866	712555	4.05%	683772	676479	3.76%	515132	522425	546113
-340	671441	668535	3.97%	722169	730075	722169	625232	617959	33.77%	484887	493269	648683
-360	712295	703389	694991	730075	730075	607933	607933	607933	6.82%	422570	500349	507642
-380	120	700046	678444	675538	2.52%	759816	759810	2.60%	688955	688955	688955	688955

Ergebnisse CAA 00µmol/l

Zeit in min	1. Versuch		2. Versuch		3. Versuch		4. Versuch		5. Versuch		6. Versuch	
	1. Versuch	2. Versuch	3. Versuch	4. Versuch	5. Versuch	6. Versuch	RLU	RLU-Leer	Mittel	Stabw	VK	Zeit in min
0	100%	100%	100%	100%	100%	100%	94%	94%	95%	0.00%	0.00%	0 entfällt
5	96%	95%	102%	91%	94%	95%	94%	94%	95%	3.90%	5	0.28148
-5	96%	94%	93%	97%	122%	122%	94%	94%	96%	3.40%	15	0.22488
30	83%	95%	103%	89%	99%	96%	94%	93%	95%	7.09%	30	0.19139
60	98%	92%	84%	97%	92%	88%	92%	92%	93%	3.13%	60	0.28920
120	92%	84%	84%	80%	88%	88%	83%	87%	87%	5.77%	120	0.05594

Signifikanzniveau Student-t-Test (Nullhypothese: Mittel Verum=Mittel Kontrolle)

Zeit in min	1	2	3	4	5	6
1						
2						
3						
4						
5						
6						

MX1 Chloracetalddehyd 500µmol/l

Zeit in min	1. Versuch		2. Versuch		3. Versuch		4. Versuch		5. Versuch		6. Versuch		
	RLU	RLU-Leer	Mittel/VK	RLU	RLU-Leer	Mittel/VK	RLU	RLU-Leer	Mittel/VK	RLU	RLU-Leer	Mittel/VK	
Leerwert	2906	703188	683567	849436	768758	7293	725249	707957	780234	5478	5478	636292	
Kontrolle	5	678495	692533	694627	676541	669248	701225	783932	559597	539619	617340	611862	
	677924	675058	2,24%	761974	763088	9,89%	736538	729315	2,44%	755958	788705	0,66%	
	730040	727134	6834497	76124	772104	608174	598881	707254	689508	631901	574538	682039	
-5	634137	631231	753051	750145	3,57%	803042	805948	768633	683242	663633	668360	671714	
	6503032	650126	759593	762390	12,06%	762390	641397	643104	624249	670687	541593	683797	
	674441	671505	691969	762839	759933	762537	643104	613047	615153	569239	566561	655047	
30	721124	718218	786102	781936	599233	591990	656429	649336	689555	603177	679220	674242	
	6880889	6881633	3,45%	744571	745121	4,55%	763522	756269	703585	677618	670387	675388	
	658527	655621	650900	834514	831608	806478	671847	664554	663285	6010402	606506	729544	
60	658281	655375	795463	795557	792270	2,70%	688932	673304	640797	623306	615335	6730591	
	669181	668275	0,94%	792176	794245	697225	649741	630178	603306	623306	615335	735669	
120	796173	792267	754612	866276	865370	871000	736152	730955	687247	697269	684523	725982	
	795445	792539	906932	848749	848943	804026	773318	768025	582429	575136	601534	731921	
	680937	678031	8,79%	781322	754026	3,43%	761322	754026	2,00%	613420	606127	2,83%	
Leerwert	2906	678031	7293	7233	644435	631712	677446	7293	5478	5478	737399	741211	
CAA 500µmol/l	5	674844	673667	783971	78065	789058	644435	631712	675407	750114	72222	607574	
	693044	690138	1,33%	786552	783666	802444	1,48%	73992	706699	717196	562118	617847	
	670104	674110	1,33%	805350	802444	689731	688498	683942	666449	5,17%	569556	539015	
-5	628009	625103	618721	748465	745559	748669	673516	662223	689441	603501	566800	539015	
	6335831	632925	2,95%	733446	730540	690547	683254	680099	563477	563477	628304	622226	
	6229809	621525	2,95%	768814	765908	2,40%	666138	655298	4,87%	548009	540716	570604	
30	615407	615407	700512	705418	749118	741825	689887	688446	495941	561215	565457	628351	
	6030936	597490	2,42%	632075	629169	6309090	636184	654433	649130	608446	561335	538955	
	6319417	638511	622822	747223	744863	756483	662735	654462	651154	537194	5682897	587774	
60	616662	613756	744863	747223	744863	650942	643679	649130	481585	474302	573224	636165	
	621105	618189	1,94%	779014	776108	2,26%	661613	654320	1,00%	443286	495983	5684947	585025
	254576	251670	254448	320742	311886	298789	315620	308307	187228	163476	333397	297090	
120	269703	266797	264332	26426	317046	319952	91944	84651	60,34%	145007	137714	324851	
	247783	244877	4,41%	10,83%	317046	10,83%	10,83%	10,83%	10,83%	10,83%	313307	318785	

Ergebnisse CAA 500µmol/l

Zeit in min	1. Versuch		2. Versuch		3. Versuch		4. Versuch		5. Versuch		6. Versuch	
	1. Versuch	2. Versuch	3. Versuch	4. Versuch	5. Versuch	6. Versuch	Mittel	StdDev	VK	Mittel	StdDev	VK
0	100%	100%	100%	100%	100%	100%	100%	100%	100%	100%	100%	100%
5	98%	103%	96%	91%	122%	97%	98%	98%	98%	98%	98%	98%
15	92%	97%	97%	90%	95%	97%	95%	95%	95%	95%	95%	95%
30	89%	88%	86%	84%	84%	84%	84%	84%	84%	84%	84%	84%
60	94%	93%	93%	93%	93%	93%	93%	93%	93%	93%	93%	93%
120	34%	34%	25%	25%	43%	40%	34%	34%	34%	34%	34%	34%

Signifikanzniveau Student's-t-Test (Nullhypothese: Mittel Verum=Mittel Kontrolle)

Zeit in min	p
0	0
5	0,38357
15	0,21360
30	0,10169
60	0,14803
120	0,00000

MX1 Fluoracetat 500µmol/l

Zeit in min	1. Versuch		2. Versuch		3. Versuch		4. Versuch		5. Versuch		6. Versuch								
	RLU	RLU-Leer	Mittel/VK	RLU	RLU-Leer	Mittel/VK	RLU	RLU-Leer	Mittel/VK	RLU	RLU-Leer	Mittel/VK							
Leerwert	9222			9222			4152			6194									
Kontrolle	596532	571830	6306564	601033	494639	490487	529559	525407	514165	361493	354999	330813							
5	567252	558030	606248	593026	451445	447293	513159	509007	512334	302082	314088	274968							
570181	560959	3.75%	578640	569448	441556	437414	516.6%	512334	508082	1.90%	359945	323351	6.48%						
589109	579887	570838	588381	575971	458857	454715	450674	497497	483345	505124	312768	283632	2.32%						
-5	573985	564763	613378	601156	461188	457036	2.45%	2.02%	51.8582	294403	287309	253308	247014	2.30%					
577087	567865	1.40%	594239	444423	440271	442491	447470	555932	511821	544440	283206	286712	249705	1.82%					
584449	575197	562275	606005	596733	451643	440271	442491	447470	559475	528901	282407	233550	227056	1.82%					
30	591673	582451	592246	588024	489411	491259	535135	530983	568774	565622	31.17%	294350	287756	251928	255334				
553400	544178	3.58%	620457	626679	488501	488349	5.00%	502279	529292	568777	534349	307704	280549	274555	9.58%				
586383	577718	597788	625061	615839	587591	515829	511677	502279	507288	298183	289769	280379	247361	240867	253384				
60	618699	609477	590666	2.98%	574634	565442	506532	502380	498931	492779	511440	526982	5.88%	289578	283184	256500			
618588	604276	627742	6151520	604241	521551	517469	581663	536119	531987	539204	322987	326493	307943	296050	289556				
120	651639	642478	677152	6100408	596428	590476	509476	503324	508933	548781	308892	302393	281208	224714	288042				
Leerwert	9222	4.50%	6100408	600786	1.68%	537487	533315	2.71%	541017	538365	1.60%	301312	284818	5.37%	286349	289855			
FAC 500µmol/l	6212717	5890928	682045	672823	623636	457981	453829	441514	506438	502286	491209	303093	323889	306461	286129	260235			
5	6227374	618152	623654	611432	457630	453598	459598	452763	476915	472763	296927	290333	287704	252216	255222	256840			
575437	566215	4.77%	572876	583654	7.28%	421336	417204	4.77%	502361	498579	3.27%	311735	305241	5.49%	287504	284363	11.47%		
568418	559196	562454	552653	5443431	557394	428754	422602	422904	492199	488047	501152	287504	281010	293469	246227	239733	244223		
-5	577844	562622	612722	59222	4152	440271	442491	447470	529559	525407	514165	326372	328978	325875	292981	284455	7.37%		
580166	5709444	1.07%	579277	5709055	2.41%	417316	413163	2.34%	508752	504600	2.35%	315833	309333	4.94%	285875	292981	7.37%		
5770342	561120	565640	612058	609846	6154174	460535	456423	458978	509000	503848	512175	279969	273475	288572	272240	265246	24774		
30	571273	5622051	562557	5638779	623240	614018	432733	428631	491879	522164	510514	1.81%	271836	265342	283655	240149	234915	6.72%	
5828971	573749	1.24%	6222803	622487	613265	598622	58622	4642278	501147	545627	534191	289214	292720	285912	208205	201711	214193		
60	636345	627123	622765	6294948	615726	518759	514637	508524	544372	303672	297738	287704	244953	244953	238359	244953	244953	11.47%	
616344	634187	634165	627122	575096	565874	54.90%	528679	524527	537115	516276	304333	287839	0.9%	209004	222510	9.77%	27050	251531	
6866868	677663	665415	6279565	618743	600433	541227	530224	540773	508790	508966	300977	235323	300977	280544	271493	271493	271493		
120	654275	645053	682752	673530	2.67%	610168	4.09%	543978	539826	0.85%	517464	513312	2.03%	309255	302761	2.11%	226360	219866	11.22%

Ergebnisse FAC 500µmol/l Signifikanzniveau Student's-t-Test (Nullhypothese: Mittel Verum=Mittel Kontrolle)

Zeit in min	1. Versuch		2. Versuch		3. Versuch		4. Versuch		5. Versuch		6. Versuch	
	1. Versuch	2. Versuch	3. Versuch	4. Versuch	5. Versuch	6. Versuch	Mittel	StdDev	VK	Mittel	StdDev	VK
0	100%	100%	100%	100%	100%	100%	100%	100%	100%	100%	100%	100%
5	105%	104%	96%	96%	93%	93%	98%	98%	98%	98%	98%	98%
15	99%	98%	94%	94%	97%	97%	97%	97%	97%	97%	97%	97%
30	100%	102%	93%	93%	96%	96%	98%	98%	98%	98%	98%	98%
60	104%	102%	100%	100%	106%	104%	94%	94%	94%	94%	94%	94%
120	98%	98%	98%	98%	98%	98%	94%	94%	94%	94%	94%	94%

Zeit in min Signifikanzniveau Student's-t-Test (Nullhypothese: Mittel Verum=Mittel Kontrolle)

Zeit in min

0 entfällt

5

15

30

60

120

0.47338

0.3360

0.46021

0.49153

0.46798

MX1 Oligomycin 50µmol/l

Zeit in min	1. Versuch		2. Versuch		3. Versuch		4. Versuch		5. Versuch		6. Versuch	
	RLU	RLU-Leer	Mittel/VK	RLU	RLU-Leer	Mittel/VK	RLU	RLU-Leer	Mittel/VK	RLU	RLU-Leer	Mittel/VK
Leerwert	8531			8531			5506			5506		
Kontrolle	502740	710595	679043	670512	650939	465731	460275	425693	501598	510140	382847	315584
5	67131	502740	662808	677730	661939	410078	404572	508396	502890	497271	370893	347471
674776	666245	1123%	637088	629557	3.64%	4171737	412231	7.09%	491765	1.85%	373213	1.71%
671280	600106	575810	598521	561184	428736	421282	427814	512103	475224	405886	403839	377444
-5	580246	571715	530755	522224	433320	428569	0.34%	480730	475224	409274	403839	377444
564139	552608	3.91%	571339	562808	6.80%	428569	521902	516396	419449	407500	353026	341477
644369	635838	650374	604362	62705	456343	450837	455621	494559	489053	459808	377189	365564
30	676713	668182	646994	639423	448831	442325	487170	476204	4196713	414167	8.71%	355961
655632	647101	2.52%	655382	648851	4.35%	465207	463701	2.28%	377261	1.63%	311374	259825
668303	659701	670185	600097	591566	601079	481930	476424	471369	498615	491109	401300	382179
60	681539	673008	620716	611487	465339	478519	478519	473013	391861	380112	283222	281672
686309	677778	1.39%	602716	596126	2.37%	479387	473881	479042	473536	2.15%	376675	365126
715022	703491	669425	659698	650167	65300	499115	493639	501039	522950	517444	374525	367801
120	700750	692219	686566	6836670	3.23%	686593	680862	3.86%	509075	503569	3.04%	515286
610597	608566		8531			528415	523909		512800	509774		378712
Oligom. 50µmol/l									2.16%	390261		222220
Leerwert	8531									391537	379888	2.24%
Oligom. 50µmol/l	674495	665964	634048	667761	659230	4645232	433104	427598	416365	501326	3744118	31549
5	611725	603194	649874	641343	414337	408851	4125646	4125646	511393	390726	346955	355967
641518	632987	4.95%	64374	615633	1.34%	416392	408533	403027	408309	477753	394927	341947
543260	534729	531101	552626	5346731	566643	420411	414905	414905	478873	366162	374519	329598
-5	505682	497351	561224	6.04%	574008	5634771	3.62%	412500	406994	486645	483232	3744118
569755	561224		569232	5667271		412500	406994		481139	1.22%	364427	31985
655843	649952	613615	561678	559147	5.06%	451036	445530	436324	451337	447461	351560	312778
30	5938618	591287	620687	612156	5.06%	430104	433508	429883	455829	450323	3402204	290655
614138	605687	4.97%	592023	583492	1.38%	433339	429883	429883	453959	347310	303918	282369
646347	637816	623283	659947	654116	607170	464849	459343	472516	474416	461123	378927	278278
60	615504	606973	589497	589388	478493	472987	472987	472987	485783	450277	354420	297903
633591	625060	2.49%	592237	589706	6.34%	490723	485217	485217	489689	464183	342055	321083
684706	673938	543648	533517	543648	5.06%	510340	504834	512160	461553	456047	351094	366266
120	671949	663348	590568	582038	5.08%	501734	496258	496258	495500	465194	350825	286546
690752	682221	1.42%	540910	532379	5.08%	540893	535387	4.02%	455540	450334	4.57%	398427

Ergebnisse Oligom. 50µmol/l Signifikanzniveau Student's-t-Test (Nullhypothese: Mittel Verum=Mittel Kontrolle)

Zeit in min	1. Versuch	2. Versuch	3. Versuch	4. Versuch	5. Versuch	6. Versuch	Stabdw	VK	Zeit in min	P
0	100%	100%	100%	100%	100%	100%	100%	100%	0	0.00%
5	88%	98%	98%	98%	98%	98%	94%	94%	0.041	0.38473
15	92%	101%	99%	99%	99%	99%	92%	92%	0.039	0.33828
30	95%	95%	97%	97%	97%	97%	95%	95%	0.017	0.33839
60	93%	101%	100%	92%	92%	92%	82%	82%	0.076	0.35197
120	101%								0.067	0.35887

Zeit in min	1. Versuch	2. Versuch	3. Versuch	4. Versuch	5. Versuch	6. Versuch	Stabdw	VK	Zeit in min	P
0	100%	100%	100%	100%	100%	100%	100%	100%	0	0.00%
5	88%	98%	98%	98%	98%	98%	94%	94%	4.30%	5
15	92%	101%	99%	99%	99%	99%	92%	92%	4.11%	15
30	95%	95%	97%	97%	97%	97%	95%	95%	1.41%	30
60	93%	101%	100%	92%	92%	92%	82%	82%	8.16%	60
120	101%								7.14%	120

MX1 Oxamat 10mmol/l + Chloracetalddehyd 20µmol/l

Zeit in min	1. Versuch		2. Versuch		3. Versuch		4. Versuch		5. Versuch		6. Versuch	
	RLU	RLU-Leer	Mittel/VK	RLU	RLU-Leer	Mittel/VK	RLU	RLU-Leer	Mittel/VK	RLU	RLU-Leer	Mittel/VK
Leerwert	4242			4242			6403			3424		
Kontrolle	537698	533456	533564	604658	600426	588240	842657	838173	678854	609582	384813	3424
5	551026	546784	562042	583442	581240	839287	832984	581989	575596	498370	425946	281031
524654	520452	2,47%	561295	585053	1,80%	839352	832979	0,67%	560102	553699	10,92%	421146
556286	559444	548205	610805	602423	610126	902859	8417500	562853	569382	4284825	417722	27332
-5	554236	549994	614388	621107	619865	828936	822553	502856	486453	397806	384382	288370
538820	535778	2,16%	612952	628921	830217	823814	792412	478163	513043	3714701	6,55%	261718
553981	549739	561345	619234	619862	628921	746220	739817	520702	514299	303647	327223	317704
30	573206	568963	630142	633984	636429	820059	813606	5,78%	511214	47,75%	266593	283169
565576	565334	1,82%	646429	646429	2,28%	651413	712120	705717	488523	482120	465488	318410
613943	609749	593354	663603	661361	664709	666333	659980	473835	467433	320259	284767	153103
60	586217	581975	651251	645868	650110	687336	680953	476315	468912	0,85%	297319	283895
598629	594387	2,33%	613856	633137	716321	710579	720497	664553	658140	523746	495344	308495
120	623752	623752	719530	719288	719124	1,65%	738386	731424	653059	648686	498093	278743
660048	655804	3,12%	738386	731424	716176	709773	5,00%	483401	476988	4,12%	195556	179299
Leerwert	4242			4242			6403			3424		
Ox-CAA 20µmol/l	413573	397119	433122	429880	427013	583733	577390	584844	445283	438880	407820	305159
5	401070	395828	4111%	424681	420439	599946	593543	399663	393260	297208	293784	304049
385199	380157	4,11%	435953	435953	435953	595958	1,99%	398024	391621	6,58%	289041	288499
284720	280478	280478	328702	328460	328521	457510	451107	451625	278097	271694	268187	203187
-5	296831	291589	323359	326007	322765	1,64%	480054	473661	473661	267302	260899	165889
283029	288787	0,49%	32765	261732	252490	266155	322906	318693	303555	218712	212039	219168
246536	242294	237710	261732	261732	261732	311313	324780	324780	206788	202385	161895	152226
30	238992	235750	235087	283915	279673	4,48%	354555	348152	4,71%	230283	228360	5,53%
238932	235750	1,68%	174663	170132	203932	202944	222646	171428	149303	152972	146703	146703
60	172351	168109	206167	202905	204247	197844	192427	196640	163043	156640	9573	91149
177867	167625	2,31%	212789	209527	222610	216167	216167	123111	110026	542028	3,39%	57532
160901	158659	158372	17638	17638	172385	182100	176897	162856	119048	88015	633954	53156
120	154986	150744	167554	167554	162198	155705	162198	155705	109372	102969	63397	62477
165954	161712	3,51%	168428	182186	6,02%	163638	157285	6,92%	124464	118061	6,90%	87539
Leerwert	4242			4242			6403			3424		
Ox-CAA 20µmol/l												

Ergebnisse Ox-CAA 20µmol/l

Zeit in min	1. Versuch		2. Versuch		3. Versuch		4. Versuch		5. Versuch		6. Versuch	
	1. Versuch	2. Versuch	3. Versuch	4. Versuch	5. Versuch	6. Versuch	Mittel	Stdabw	VK	Mittel	Stdabw	VK
0	100%	100%	100%	100%	100%	100%	100%	100%	100%	100%	100%	100%
5	74%	73%	68%	74%	75%	75%	70%	69%	71%	70%	69%	71%
-5	53%	53%	53%	53%	51%	51%	49%	52%	51%	49%	52%	49%
30	43%	42%	42%	43%	43%	43%	40%	43%	41%	40%	43%	42%
60	34%	32%	31%	33%	33%	33%	29%	28%	31%	30%	31%	30%
120	32%	31%	31%	31%	24%	22%	23%	30%	28%	25%	26%	27%

Ergebnisse Oxamat 100µM

Zeit in min	1. Versuch		2. Versuch		3. Versuch		4. Versuch		5. Versuch		6. Versuch	
	1. Versuch	2. Versuch	3. Versuch	4. Versuch	5. Versuch	6. Versuch	Mittel	Stdabw	VK	Mittel	Stdabw	VK
0	100%	100%	100%	100%	100%	100%	100%	0,00%	0,00%	100%	0,00%	100%
5	69%	68%	67%	74%	74%	74%	70%	69%	71%	70%	69%	71%
-5	57%	57%	53%	52%	51%	51%	49%	50%	52%	50%	49%	52%
30	42%	42%	42%	44%	44%	44%	40%	43%	41%	40%	43%	42%
60	35%	35%	31%	31%	31%	31%	29%	28%	31%	30%	31%	30%
120	32%	31%	31%	31%	24%	22%	23%	30%	28%	25%	0,026	9,29%

Signifikanzniveau Student-t-Test (Nullhypothese: Mittel Verum=Mittel ohne Ox.)

Zeit in min	C
0	0,08632
5	0,02183
-5	0,00611
30	0,00611
60	0,02424
120	0,03328

Signifikanzniveau Student-t-Test (Nullhypothese: Mittel Ox.=Mittel ohne Ox.)

Zeit in min	C
0	0,08632
5	0,02183
-5	0,00611
30	0,00611
60	0,02424
120	0,03328

MX1 Oxamat 100mmol/l + Chloracetalddehyd 100µmol/l

Zeit in min	1. Versuch			2. Versuch			3. Versuch			4. Versuch			5. Versuch			6. Versuch		
	RLU	Mittel/VK	RLU-Leer	RLU	Mittel/VK	RLU-Leer	RLU	Mittel/VK	RLU-Leer	RLU	Mittel/VK	RLU	Mittel/VK	RLU	Mittel/VK	RLU	Mittel/VK	
Leerwert	4242			4242			6403			6403			3424			3424		
Kontrolle	5	533564	533456	533564	6004266	588340	849660	8429557	8361773	678854	672451	6003882	3885237	384613	409494	284455	281031	256410
524694	5246784	5246784	524694	5854285	583053	839382	8328874	8328874	581998	575399	560102	553996	10.52%	421146	4175246	2444622	241103	8.40%
524205	524205	524205	524205	602423	610805	909262	847500	847500	559382	552979	502825	429832	426008	417758	250582	247158	273832	
553286	553286	553286	553286	6143636	610126	828936	8229533	8229533	598455	592655	537806	39482	389705	289370	285946	280770	285496	
552426	552426	552426	552426	624107	623512	817109	817109	817109	519446	513043	513043	378147	374107	6.55%	255142	261718	6.26%	
5538920	5538920	5538920	5538920	613982	613982	830217	831834	831834	478163	489091	330627	3202934	317704	314388	302834	314388	287514	
5688963	5688963	5688963	5688963	6316284	631042	746220	739817	739817	520702	514299	266693	263169	321639	304049	300625	300625	300625	
5685334	5685334	5685334	5685334	646871	642629	820009	813606	813606	511214	475%	321834	312814	11.46%	251060	247336	12.24%		
613949	6093021	595354	6093021	6656003	6651613	682116	682116	682116	468233	462433	468233	268949	268949	156622	15303	266778		
586217	586217	586217	586217	661251	661251	666363	665966	665966	473836	467433	320259	316635	293715	283959	289129	285705		
598635	598635	598635	598635	664543	664543	680756	680565	680565	467315	469812	0.85%	348495	348495	10.88%	38495	381527		
624098	624098	624098	624098	716321	716321	720497	664543	664543	523746	517343	344910	347514	347514	344910	344910	1740132		
627994	627994	627994	627994	719530	719530	719530	715288	715288	653089	646686	498093	498093	199556	196132	152305	148881		
6600446	6600446	6600446	6600446	6559804	3.12%	714124	1.65%	716176	709773	5.00%	476698	4.12%	299608	296608	27.08%	261064	257040	29.17%
4242	4242	4242	4242	4368226	4319289	590289	420738	420738	6403	3224	3224	3224	3224	3224	3224	3224	3224	
413563	3895543	3895543	3895543	4034245	398183	583000	576393	556780	416059	409344	426036	301772	145183	245636	301772	219220		
5	389246	376004	376004	4.40%	4352589	43.004	550828	544425	414315	420718	308625	305001	17.99%	226892	213197	1.97%		
282594	282594	282594	282594	3162428	3162428	394185	387782	397780	253820	247417	201902	198784	171234	184940	120533	170394		
15	292884	288624	288624	3.75%	320903	316663	415663	420264	242952	242849	155826	152558	174018	174018	170394	170394		
287565	287565	287565	287565	313957	318239	318239	318239	318239	289156	288954	166090	166090	14.09%	109839	106515	37.11%		
2106417	2106417	2106417	2106417	199617	223459	233875	289404	289404	2128994	2128994	830204	801808	101867	724886	724886			
30	200149	195906	195906	221969	227727	227727	227263	227263	161263	154960	135662	132138	123138	123138	123138	123138		
145051	140259	143342	143342	236681	3.01%	285249	285249	285249	4.60%	4.60%	137312	970296	9382	9382	9382	9382		
153837	149595	158303	158303	167135	162893	161392	181172	181172	196488	189735	119109	112706	66728	85764	88385	85161	88277	
60	175786	171544	171544	153771	1.73%	170100	163697	163697	145782	1412704	143888	139656	110189	103786	99530	971312		
120	145051	140259	143342	160861	1573992	153705	153705	153705	153705	153705	143888	137085	139656	110189	103786	99530		
145051	140259	143342	143342	160861	1573992	153705	153705	153705	153705	153705	143888	137085	139656	110189	103786	99530		
145051	140259	143342	143342	160861	1573992	153705	153705	153705	153705	153705	143888	137085	139656	110189	103786	99530		
145051	140259	143342	143342	160861	1573992	153705	153705	153705	153705	153705	143888	137085	139656	110189	103786	99530		
145051	140259	143342	143342	160861	1573992	153705	153705	153705	153705	153705	143888	137085	139656	110189	103786	99530		
145051	140259	143342	143342	160861	1573992	153705	153705	153705	153705	153705	143888	137085	139656	110189	103786	99530		
145051	140259	143342	143342	160861	1573992	153705	153705	153705	153705	153705	143888	137085	139656	110189	103786	99530		
145051	140259	143342	143342	160861	1573992	153705	153705	153705	153705	153705	143888	137085	139656	110189	103786	99530		
145051	140259	143342	143342	160861	1573992	153705	153705	153705	153705	153705	143888	137085	139656	110189	103786	99530		
145051	140259	143342	143342	160861	1573992	153705	153705	153705	153705	153705	143888	137085	139656	110189	103786	99530		
145051	140259	143342	143342	160861	1573992	153705	153705	153705	153705	153705	143888	137085	139656	110189	103786	99530		
145051	140259	143342	143342	160861	1573992	153705	153705	153705	153705	153705	143888	137085	139656	110189	103786	99530		
145051	140259	143342	143342	160861	1573992	153705	153705	153705	153705	153705	143888	137085	139656	110189	103786	99530		
145051	140259	143342	143342	160861	1573992	153705	153705	153705	153705	153705	143888	137085	139656	110189	103786	99530		
145051	140259	143342	143342	160861	1573992	153705	153705	153705	153705	153705	143888	137085	139656	110189	103786	99530		
145051	140259	143342	143342	160861	1573992	153705	153705	153705	153705	153705	143888	137085	139656	110189	103786	99530		
145051	140259	143342	143342	160861	1573992	153705	153705	153705	153705	153705	143888	137085	139656	110189	103786	99530		
145051	140259	143342	143342	160861	1573992	153705	153705	153705	153705	153705	143888	137085	139656	110189	103786	99530		
145051	140259	143342	143342	160861	1573992	153705	153705	153705	153705	153705	143888	137085	139656	110189	103786	99530		
145051	140259	143342	143342	160861	1573992	153705	153705	153705	153705	153705	143888	137085	139656	110189	103786	99530		
145051	140259	143342	143342	160861	1573992	153705	153705	153705	153705	153705	143888	137085	139656	110189	103786	99530		
145051	140259	143342	143342	160861	1573992	153705	153705	153705	153705	153705	143888	137085	139656	110189	103786	99530		
145051	140259	143342	143342	160861	1573992	153705	153705	153705	153705	153705	143888	137085	139656	110189	103786	99530		
145051	140259	143342	143342	160861	1573992	153705	153705	153705	153705	153705	143888	137085	139656	110189	103786	99530		
145051	140259	143342	143342	160861	1573992	153705	153705	153705	153705	153705	143888	137085	139656	110189	103786	99530		
145051	140259	143342	143342	160861	1573992	153705	153705	153705	153705	153705	143888	137085	139656	110189	103786	99530		
145051	140259	143342	143342	160861	1573992	153705	153705	153705	153705	153705	143888	137085	139656	110189	103786	99530		
145051	140259	143342	143342	160861	1573992	153705	153705	153705	153705	153705	143888	137085	139656	110189	103786	99530		
145051	140259	143342	143342	160861	1573992	153705	153705	153705	153705	153705	143888	137085	139656	110189	103786	99530		
145051	140259	143342	143342	160861	1573992	153705	153705	153705	153705	153705	143888	137085	139656	110189	103786	99530		
145051	140259	143342	143342	160861	1573992	153705	153705	153705	153705	153705	143888	137085	139656	110189	103786	99530		
145051	140259	143342	143342	160861	1573992	153705	153705	153705	153705	153705	143888	137085	139656	110189	103786	99530		
145051	140259	143342	143342	160861	1573992	153705	153705	153705	153705	153705	143888	137085	139656	110189	103786	99530		
145051	140259	143342	143342	160861	1573992	153705	153705	153705	15									

Signifikanzniveau! Student-t-Test (Nullhypothese: Mittel Verum-Mittel Kontrolle)

Signifikanzniveau Student-	
Zeit in min	p
Orientfallt	
5	0.06574
15	0.00927
30	0.00315
60	0.00234
120	0.00324

Ergebnisse Ox+Ca

Zeit in min	Oxazepam (0.1mM)						StdAbw	VK
	1. Versuch	2. Versuch	3. Versuch	4. Versuch	5. Versuch	Mittel		
0	100%	100%	100%	100%	100%	100%	0.0062	0.00%
5	79%	72%	67%	68%	74%	84%	0.0388	8.51%
15	52%	52%	47%	49%	43%	44%	0.0411	7.93%
30	38%	37%	34%	33%	34%	35%	0.0411	12.35%
60	27%	25%	30%	25%	30%	34%	0.016	12.94%
120	22%	22%	21%	20%	24%	22%	0.016	7.28%

Zeit in min	Oxazepam 100nM						StdAbw	VK
	1. Versuch	2. Versuch	3. Versuch	4. Versuch	5. Versuch	Mittel		
0	100%	100%	100%	100%	100%	100%	0.000	0.00%
5	69%	69%	76%	74%	68%	69%	0.032	4.54%
15	53%	57%	53%	52%	52%	52%	0.035	6.64%
30	43%	42%	42%	44%	38%	39%	0.022	5.46%
60	34%	32%	35%	33%	28%	25%	0.037	11.92%
120	32%	27%	31%	27%	28%	28%	0.026	9.29%

Signifikanzniveau Student-t-Test (Nullhypothese: Mittel mit Ox.=Mittel ohne Ox.)

Zeit in min	p
0	entfällt
5	0,44416
15	0,06304
30	0,00319
60	0,13540
120	0,00102

MX1 Oxamat 100mmol/l + Chloracetalddehyd 500µmol/l

Zeit in min	1. Versuch		2. Versuch		3. Versuch		4. Versuch		5. Versuch		6. Versuch	
	RLU	RLU-Leer	Mittel/VK	RLU	RLU-Leer	Mittel/VK	RLU	RLU-Leer	Mittel/VK	RLU	RLU-Leer	Mittel/VK
Leerwert	4242			4242			6403			3424		
Kontrolle	537698	533456	533564	604658	600426	588240	842657	838173	678854	609582	388237	284455
5	551026	546784	520452	583442	581240	839287	832884	581989	575596	498370	425946	244466
524654	520452	2,47%	567295	580553	1,80%	839352	832979	0,67%	560102	553699	10,92%	421146
556286	559444	548205	602423	610805	902859	8417500	822533	502856	486453	528257	477722	5,32%
-5	554236	549994	614388	610126	828936	822512	817109	519446	513043	397806	384382	288370
538820	535778	2,16%	6251107	619855	1,43%	822512	817109	5,67%	3714701	378125	5,58%	3714701
553981	549739	561345	619234	619292	830217	823814	7392412	478163	471760	499991	302934	317704
30	573206	568963	633384	630142	746220	739817	820209	514299	520702	514299	286593	283169
565576	565334	1,82%	646229	646229	2,28%	820209	813606	5,78%	511214	511214	4,75%	318410
613943	609740	593354	663603	661361	651413	712120	705717	682110	688523	482120	465488	284767
60	586217	581975	651251	666333	666333	659980	682336	680953	467433	467433	316835	289129
598629	594387	2,33%	650110	645868	682336	680953	682336	0,85%	297319	283895	10,88%	384951
624098	613137	613856	716321	710579	720497	664553	658140	671553	523746	517343	495344	344959
120	623752	623752	719530	719288	731242	1,65%	716176	708773	5,00%	491690	478743	179299
660048	655804	3,12%	733836	731242	6403	650599	648686	5,00%	498093	476988	4,12%	196132
Ox-CAA 500µmol/l	387356	383114	375080	449838	444596	429405	575291	568888	551324	410354	403851	275277
5	372326	369084	374043	423935	422315	415054	557474	551071	3,16%	378123	311720	270518
378285	374043	2,02%	422746	422746	3,16%	504041	503013	3,16%	362460	356057	6,47%	156056
262828	258586	267526	281055	276813	287751	392244	385841	384733	274607	268204	248571	161206
-5	266063	256361	287831	285280	291181	3,37%	422506	416103	8,30%	256680	250277	8,26%
291873	287831	6,52%	256423	182459	182317	172326	242013	235610	235636	182422	163060	135496
30	167391	163149	162273	163031	170571	167645	171110	167645	167645	167645	138290	135496
184813	180571	7,17%	167161	177519	177519	269895	258592	9,74%	142919	138516	14,35%	138383
60	80191	73949	73980	838043	837833	73745	673742	736268	48754	504119	30397	28944
73535	69293	88310	88068	76616	70203	588950	52487	52487	344338	309114	42800	39376
80970	76728	5,52%	86721	82479	1,55%	88742	83339	11,59%	833716	82811	5,80%	46224
71808	27566	285509	337794	31285	12055	18438	67791	67791	9115	2712	2684	4425
120	28913	246771	31532	33032	11419	28523	7,90%	14176	7773	9056	9346	2790
Ergebnisse Ox-CAA 500µmol/l	1. Versuch	2. Versuch	3. Versuch	4. Versuch	5. Versuch	6. Versuch	Mittel	Mittel	Stdabw	VK		
Zeit in min	0	100%	100%	100%	100%	100%	100%	100%	0,00%	0,00%		
	5	70%	73%	66%	74%	57%	63%	58%	68%	71%	5	0,00%
	5	49%	47%	45%	48%	39%	42%	43%	43%	43%	5	4,54%
	30	31%	28%	30%	32%	45%	38%	33%	33%	33%	15	0,02905
	60	12%	13%	11%	10%	12%	11%	11%	11%	11%	30	0,0312
	120	4%	1%	1%	2%	1%	2%	2%	0,0116	0,0116	60	0,02455
											120	0,00002

Ergebnisse Ox-CAA 500µmol/l
Zeit in min 1. Versuch 2. Versuch 3. Versuch 4. Versuch 5. Versuch 6. Versuch Mittel Stdabw VK

Zeit in min	1. Versuch		2. Versuch		3. Versuch		4. Versuch		5. Versuch		6. Versuch		
	RLU	RLU-Leer	Mittel/VK	RLU	RLU-Leer	Mittel/VK	RLU	RLU-Leer	Mittel/VK	RLU	RLU-Leer	Mittel/VK	
Leerwert	4242			4242			6403			3424			
Kontrolle	537698	533456	533564	604658	600426	588240	842657	838173	678854	609582	388237	284455	
5	551026	546784	520452	583442	581240	839287	832884	581989	575596	498370	425946	244466	
524654	520452	2,47%	567295	580553	1,80%	839352	832979	0,67%	560102	553699	10,92%	421146	
556286	559444	548205	602423	610805	902859	8417500	822533	502856	486453	528257	477722	273332	
-5	554236	549994	614388	610126	828936	822512	817109	519446	513043	397806	384382	288370	
538820	535778	2,16%	6251107	619855	1,43%	822512	817109	5,67%	3714701	378125	5,58%	3714701	
553981	549739	561345	619234	619292	830217	823814	7392412	478163	471760	499991	302934	317704	
30	573206	568963	633384	630142	746220	739817	820209	514299	520702	514299	286593	283169	
565576	565334	1,82%	646229	646229	2,28%	820209	813606	5,78%	511214	511214	4,75%	318410	
613943	609740	593354	663603	661361	651413	712120	705717	682110	688523	482120	465488	284767	
60	586217	581975	651251	664553	666333	659980	682336	680953	467433	467433	316835	289129	
598629	594387	2,33%	650110	645868	682336	680953	682336	0,85%	297319	283895	10,88%	384951	
624098	613137	613856	716321	710579	720497	664553	658140	671553	523746	517343	495344	344959	
120	623752	623752	719530	719288	731242	1,65%	716176	708773	5,00%	491690	478743	179299	
660048	655804	3,12%	733836	731242	6403	650599	648686	5,00%	483401	476988	4,12%	196132	
Ox-CAA 500µmol/l	387356	383114	375080	449838	444596	429405	575291	568888	551324	410354	403851	275277	
5	372326	369084	374043	423935	422315	415054	557474	551071	3,16%	378123	311720	270518	
378285	374043	2,02%	422746	422746	3,16%	504041	503013	3,16%	362460	356057	6,47%	156056	
262828	258586	267526	281055	276813	287751	392244	385841	384733	274607	268204	248571	161206	
-5	266063	256361	287831	285280	291181	3,37%	422506	416103	8,30%	256680	250277	8,26%	156056
291873	287831	6,52%	256423	182459	182317	172326	242013	235610	235636	182422	163060	135496	
30	167391	163149	162273	163031	170571	177519	219110	167645	167645	167645	142919	138516	
184813	180571	7,17%	167161	177519	177519	269895	258592	9,74%	142919	138516	14,35%	138383	
60	80191	73949	73980	838043	837833	73745	673742	736268	48754	504119	30397	28944	
73535	69293	88310	88068	76616	70203	588950	52487	52487	344338	309114	42800	39376	
80970	76728	5,52%	86721	82479	1,55%	88742	83339	11,59%	833716	82811	5,80%	46224	
71808	27566	285509	337794	31285	31285	12055	18438	12055	82811	8172	2684	4425	
120	28913	246771	31532	33032	11419	28523	7,90%	14176	7773	42,83%	8486	2287	
Ergebnisse Ox-CAA 500µmol/l	1. Versuch	2. Versuch	3. Versuch	4. Versuch	5. Versuch	6. Versuch	Mittel	Mittel	Stdabw	VK			
Zeit in min	0	100%	100%	100%	100%	100%	100%	100%	0,00%	0,00%			
	5	70%	73%	66%	74%	57%	63%	58%	68%	71%	5	0,00%	
	5	49%	47%	45%	48%	39%	42%	43%	43%	43%	15	4,54%	
	30	31%	28%	30%	32%	45%	38%	33%	33%	33%	30	0,02905	
	60	12%	13%	11%	11%	10%	12%	11%	11%	11%	60	0,0312	
	120	4%	1%	1%	1%	2%	1%	2%	0,011				

MX1 Oxamat 100mmol/l + Fluoracetat 500μmol/l

Zeit in min	1. Versuch		2. Versuch		3. Versuch		4. Versuch		5. Versuch		6. Versuch	
	RLU	RLU-Leer	Mittel/VK	RLU	RLU-Leer	Mittel/VK	RLU	RLU-Leer	Mittel/VK	RLU	RLU-Leer	Mittel/VK
Leerwert	9222			9222			4132			4152		
Kontrolle	567252	596502	571830	494876	630654	601033	494639	490487	525398	514165	361493	330813
5	558030	569559	569026	606248	593026	451445	447283	513159	509007	510882	314088	274968
570181	569359	375%	570640	569418	441556	437414	512234	508082	1.90%	323551	6.48%	285636
589109	573887	570838	585193	573971	588381	454715	450674	514740	505124	294403	287309	253308
-5	573985	564763	613378	601156	461188	457036	497497	483345	2.02%	518592	2.22%	249705
577087	567865	1.40%	564239	564239	4440271	440271	514440	514440	2.02%	526712	2.73%	249705
589449	575197	562275	600005	596733	601755	451643	447470	555932	551821	549475	528901	233550
30	591673	582451	580244	589246	588501	495411	491259	535135	530983	568774	287556	251928
553400	544178	3.58%	626679	626679	488501	485349	5000%	565622	3.17%	301210	8.99%	274555
588383	577161	597768	625061	619839	587591	511677	502276	572929	568777	534349	306263	289769
60	609477	609477	609477	574634	566522	502380	511440	507288	524677	286500	272294	253384
618689	606666	2.98%	590743	581521	4.38%	496931	492779	531134	526982	5.88%	283184	7.47%
651639	642476	677152	623742	615520	604241	521551	517469	586632	531987	539204	307963	269556
120	709050	698868	690008	690008	690008	596418	594476	505324	508933	548781	302593	224714
Leerwert	9222			9222			537487	533315	2.71%	541017	538865	1.60%
Ox/FAC 500μmol/l	433352	424130	426483	473056	469834	435879	326518	321456	307825	317971	375619	6194
5	444836	435664	433231	441543	432321	411481	605%	306516	302364	327016	278168	243087
426906	419684	1.93%	420703	419684	419684	419684	308916	299636	3366%	319790	356538	0.25%
315649	3020722	317052	328042	318820	318820	245901	244759	309905	305753	291153	157256	147264
-5	328944	324207	3.01%	336684	326442	2.32%	244490	240338	2.28%	286672	286672	220293
333429	254796	254796	254796	260509	255837	261922	221516	217364	203969	261184	257696	120368
30	259606	250363	250363	263904	263904	1.77%	272246	261024	207636	226151	221989	123134
258473	249251	211182	210961	211182	211182	211182	177432	177432	175096	170944	173711	86739
60	224687	215465	218095	206873	210736	166204	170336	166204	181833	177681	94750	92282
215458	206236	2.19%	224372	215150	1.49%	172007	167885	2.19%	191660	187568	867173	882667
628109	618887	63.874	167755	172553	174909	163680	159528	167658	174789	170637	157487	85041
120	663370	654528	180280	177553	177553	160981	165133	160981	150815	146663	98211	66231
649430	640208	2.81%	190337	181115	3.10%	188531	182379	7.63%	159314	155162	7.72%	87322

Ergebnisse Ox/FAC 500μmol/l

Zeit in min	1. Versuch		2. Versuch		3. Versuch		4. Versuch		5. Versuch		6. Versuch	
	1. Versuch	2. Versuch	3. Versuch	4. Versuch	5. Versuch	6. Versuch	Mittel	Stdabw	VK	Mittel	Stdabw	VK
0	100%	100%	100%	100%	100%	100%	100%	100%	100%	100%	100%	100%
5	75%	73%	76%	74%	74%	73%	58%	72%	71%	69%	71%	64.5%
10	56%	54%	53%	52%	52%	50%	48%	52%	50%	53%	52%	4.22%
30	43%	44%	43%	44%	43%	43%	38%	41%	42%	40%	41%	6.58%
60	35%	36%	34%	33%	33%	31%	27%	33%	31%	30%	30%	5.75%
120	32%	29%	32%	29%	28%	25%	25%	28%	25%	26%	25%	9.29%

Ergebnisse Ox/FAC 500μM

Zeit in min	1. Versuch		2. Versuch		3. Versuch		4. Versuch		5. Versuch		6. Versuch	
	1. Versuch	2. Versuch	3. Versuch	4. Versuch	5. Versuch	6. Versuch	Mittel	Stdabw	VK	Mittel	Stdabw	VK
0	100%	100%	100%	100%	100%	100%	100%	0.000	0.00%	100%	0.000	0.00%
5	73%	68%	76%	74%	74%	73%	58%	69%	71%	64.5%	0.04203	5
10	57%	53%	54%	52%	52%	50%	48%	52%	50%	53%	0.03827	15
30	43%	42%	42%	44%	43%	43%	38%	41%	41%	40%	0.03432	30
60	34%	35%	35%	35%	35%	33%	27%	31%	31%	30%	0.03432	60
120	32%	32%	31%	31%	31%	27%	28%	28%	28%	28%	0.03513	120

Signifikanzniveau Student-t-Test (Nullhypothese: Mittel Ox.=Mittel ohne Ox.)

Zeit in min	C
0	entfällt
5	0
10	0.04203
30	0.03827
60	0.03432
120	0.03513

Signifikanzniveau Student-t-Test (Nullhypothese: Mittel Ox.=Mittel ohne Ox.)

Zeit in min	C
0	0
5	0.79598
10	0.59123
30	0.38981
60	0.43748
120	0.35513

MX1 Oxamat 10mmol/l + Oligomycin 10µmol/l

Zeit in min	1. Versuch		2. Versuch		3. Versuch		4. Versuch		5. Versuch		6. Versuch	
	RLU	RLU-Leer	Mittel/VK	RLU	RLU-Leer	Mittel/VK	RLU	RLU-Leer	Mittel/VK	RLU	RLU-Leer	Mittel/VK
Leerwert	9222			9222			4132			4152		
Kontrolle	567252	598502	571830	648776	630654	601033	494639	490487	458398	525407	514165	361493
5	558030	560959	57575%	606248	592026	451445	447293	513159	509007	510882	512334	314088
570181	560959	57575%		570640	569418	441556	437414	50674	1.90%	323551	323551	323551
589109	579887	570838		575971	588381	458887	454715	510588	505124	294403	287309	283632
-5	573985	564763		613378	604156	461188	457036	497497	483345	294440	283206	282405
577087	567865	1.40%		594239	582017	2.45%	444027	440271	440271	514440	2.22%	286712
584449	575192			562275	600005	451643	447491	474700	555932	551821	539475	289091
30	591673	582451		592246	588024	495411	491259	535135	530983	530983	294350	287556
553400	544178	3.58%		626679	620457	488501	485349	5.00%	565622	3.17%	569774	274555
588383	577716	597768		625061	619839	587591	516829	502276	528929	588777	534349	301210
60	609477			574634	565412	506532	502380	511440	507288	528183	298976	280379
618699	608666	2.98%		590743	581521	4.38%	496931	492779	492779	526982	5.88%	283184
651639	642476			624742	615520	604241	521551	517469	518663	531197	531987	286978
120	709050	698928	4.50%	610008	600786	1.68%	598418	594476	595324	598781	598781	307963
Leerwert	9222			9222			4132			4152		
Ox/Om 10µmol/l	53035	438113		406012	47993	38228	47458	43416	42327	50490	47050	43152
5	48398	39176		48038	38816	6.88%	48904	37682	47938	44761	5.50%	39889
14933	57111	6613		16376	7154	7313	14030	9848	9351	18594	14424	14418
-5	15830	6608		16047	6825	13034	8832	13050	9353	18080	8871	8827
16743	16743	7521	13.68%	17183	7961	7.98%	13505	9353	5.33%	13883	3.63%	90116
16853				15953	6731	6230	12931	8829	9567	18964	14812	13126
30	15438	6216		16031	6409	9.81%	13102	8930	15073	16048	11896	12672
14743	5521	8.37%		14771	5549		10921	12.28%	10922	12670	11.51%	9571
60	17428	8206		7887	16686	7550	15040	10888	11048	18144	14844	13992
16789	16787	7567		16787	15339	11207	11048	11048	11048	18309	14157	10508
23870	16072	5.73%		16832	7610	1.01%	26136	9500	10036	20535	16383	9.00%
16072	6850	6538		4077	3398	13632	8794	8592	1304	8592	3.181	8288
120	15196	5974		11952	12490	2.19%	13353	9211	13660	13660	9508	1340
16011	6789	7.48%		3268	4148	15610	11458	12.16%	14468	10316	7.15%	7834

Ergebnisse Ox/Om 10µmol/l

Zeit in min	1. Versuch		2. Versuch		3. Versuch		4. Versuch		5. Versuch		6. Versuch	
	1. Versuch	2. Versuch	3. Versuch	4. Versuch	5. Versuch	6. Versuch	Mittel	Stdabw	VK	Mittel	Stdabw	VK
0	100%	100%	100%	100%	100%	100%	100%	100%	100%	100%	100%	100%
5	7%	6%	9%	9%	9%	11%	11%	9%	9%	10%	10%	10%
15	1%	1%	2%	3%	1%	1%	1%	2%	1%	2%	1%	2%
30	1%	1%	2%	2%	1%	1%	1%	1%	1%	0.006	0.006	0.006
60	1%	1%	2%	3%	1%	1%	1%	2%	1%	0.007	0.007	0.007
120	1%	2%	31%	27%	1%	1%	1%	1%	1%	0.008	0.008	0.008

Ergebnisse Oxamato 100µM

Zeit in min	1. Versuch		2. Versuch		3. Versuch		4. Versuch		5. Versuch		6. Versuch	
	1. Versuch	2. Versuch	3. Versuch	4. Versuch	5. Versuch	6. Versuch	Mittel	Stdabw	VK	Mittel	Stdabw	VK
0	100%	100%	100%	100%	100%	100%	100%	0.000	0.000%	100%	0.000	0.000%
5	66%	76%	74%	58%	69%	71%	64%	0.032	4.54%	64%	0.032	5.000%
15	53%	53%	52%	44%	46%	52%	46%	0.035	6.64%	52%	0.035	15.000%
30	43%	42%	42%	38%	39%	41%	38%	0.022	5.48%	41%	0.022	30.000%
60	34%	35%	33%	28%	25%	31%	28%	0.037	11.32%	31%	0.037	60.000%
120	32%	27%	31%	27%	28%	28%	28%	0.026	9.29%	28%	0.026	120.000%

Signifikanzniveau Student t-Test (Nullhypothese: Mittel Verum= Mittel Kontrolle)

Zeit in min	C
0	entfällt
5	5
15	15
30	30
60	60
120	120

Signifikanzniveau Student t-Test (Nullhypothese: Mittel Ox= Mittel ohne Ox.)

Zeit in min	C
0	0.00027
5	0.00033
15	0.00041
30	0.00040
60	0.00040
120	0.00040

MX1 Oxamat 50mmol/l

Zeit in min	1. Versuch RLU	RLU-Leer	Mittel/VK	2. Versuch RLU	RLU-Leer	Mittel/VK	3. Versuch RLU	RLU-Leer	Mittel/VK	4. Versuch RLU	RLU-Leer	Mittel/VK	5. Versuch RLU	RLU-Leer	Mittel/VK	6. Versuch RLU	RLU-Leer	Mittel/VK
Leerwert	8531			8531			5506			5506			11549			11549		
Kontrolle	502740	710595	679043	670512	650899	465731	460275	425693	501598	510140	515646	382847	375584	375584	401380	347471	356522	357666
5	67131	662800	677730	669199	410078	404572	508396	502890	497271	461765	1.85%	362242	370893	377444	347471	356522	377444	7.95%
674776	668245	11.23%	637088	629557	3.64%	4171737	412231	428736	427373	512103	406597	434762	373213	1.71%	368793	377444	377444	339243
-5	608637	600106	575810	598521	561184	431282	433320	427814	480730	475224	4092823	409274	342284	407038	403839	3707081	345532	339243
580246	571715		530755	522224		6.80%	428569		0.34%	521902	516396	4.31%	419449	407300	353026	341477	341477	2.25%
564139	552608	3.91%	571339	562808		428569		0.34%	494559	489053	459808	377189	365564	323067	311518	304875	304875	
644369	635898	650374	604362	599831	62705	456343	450837	455621	489710	476204	4196713	385961	374412	311518	304875	304875		
30	676713	668182	646994	639423	4.35%	448831	442325	2.28%	414167	8.71%	4196713	414167	388810	377261	1.63%	311518	304875	
656632	658170	2.52%	655382	648851		468207	463701		479219	47849	401300	382179	346513	343864	334812	334812		
668830	65970	670185	600097	597566	601079	481930	476424	471369	498615	491109	473013	391861	3801112	283221	281672	281672		
60	681539	673008	626018	61487		468309	479387	473881	479042	473536	2.15%	376675	365126	4.76%	389850	387801	15.85%	
6886309	677778	1.39%	602716	599185		2.37%	499145	493639	501039	522950	517444	507666	376423	364674	311788	300239	295564	
715022	709491	669425	659698	650167		65300	509569	503569	3.04%	515286	495774	390261	378712	2.24%	311788	300239		
120	700750	692219	606566	586593	8.23%	688082	3.86%	528415	529099	509780	2.16%	391537	379888	315181	303632	304875		
Leerwert	8531		8531			5506			5506			11549			11549			
Oxamat 50mmol/l	521305	512774	510757	459499	490968	478079	326225	320719	327865	383046	377540	361947	309308	287759	287121	282221	270672	249250
5	507845	499314	520182	2.07%	470010	46479	335159	329633	329633	359688	354182	328336	304985	293336	227315	227315	227315	227315
528113				490322	518177	316%	338728	335222	1.96%	359624	354118	3.73%	270281	270281	5.14%	282261	282261	9.04%
324811	316280	310078	334520	325989	329195	240120	234614	238122	299080	283574	284036	282112	230563	230563	230563	230563	230563	
-5	308638	300107	313848	2.81%	347448	339397	2.61%	246567	241061	1.37%	283470	277964	2.94%	282829	242280	5.29%	180566	187205
322379				313169	322260	311496	302369	323553	220207	230380	245553	240047	255724	241973	182789	171240	180251	142987
30	330942	322411	322411	317846		303315	294827	2.40%	244546	238030	238030	236467	186539	184390	170709	170709	170709	170709
339792	331261	2.81%	303315	303318		2.40%	282325	231692	238942	203190	197684	185950	201414	186190	193278	186190	184642	184642
60	289666	281135	281135	303119		194431	188975	197944	192438	184415	184415	138434	149883	140553	132756	140553	140553	
302414	293883	3.90%	254723	246192		4.29%	176738	171282	171282	196983	191487	1.20%	161947	150298	6.34%	102888	91339	14.35%
254693	246162	251991	221203	215672		2.1431	187344	181888	178888	175346	169840	169475	174981	169475	172367	172367	172367	
120	253508	244977	229915	222384		180146	174640	180146	185701	180195	2.11%	175023	169517	0.12%	134016	122467	122467	
273365	264834	4.42%	217409	208878		2.99%										105506	93957	4.65%

Ergebnisse Oxamat 50mmol/l

Zeit in min	1. Versuch RLU	2. Versuch RLU	3. Versuch RLU	4. Versuch RLU	5. Versuch RLU	6. Versuch RLU	Stdfdw	VK	Zeit in min P	Leerwert	Signifikanzniveau Student's-t-Test (Nullhypothese: Mittel Verum=Mittel Kontrolle)
0	100%	100%	100%	100%	100%	100%	100%	100%	0 entfällt	0	0.00%
5	72%	72%	77%	77%	76%	76%	73%	73%	5	0.05047	3.37%
15	54%	56%	57%	57%	56%	56%	56%	56%	15	0.00077	3.38%
30	50%	48%	51%	51%	48%	48%	47%	47%	30	0.00279	3.42%
60	42%	40%	39%	40%	37%	37%	38%	38%	60	0.00057	9.93%
120	38%	33%	35%	33%	34%	31%	34%	34%	120	0.00094	6.96%

MX1 Oxamat 100mmol/l

Zeit in min	1. Versuch		2. Versuch		3. Versuch		4. Versuch		5. Versuch		6. Versuch	
	RLU	RLU-Leer	Mittel/VK	RLU	RLU-Leer	Mittel/VK	RLU	RLU-Leer	Mittel/VK	RLU	RLU-Leer	Mittel/VK
Leerwert	8531			8531			5506			5506		
Kontrolle	502740	710595	679043	670512	650939	465731	460275	425693	501598	510140	382847	11549
5	67131	662800	677730	669199	410078	404572	508396	502890	382242	370893	347471	357666
674776	668245	1123%	637088	629557	3.64%	4171737	412231	497271	461765	1.85%	334762	373213
608637	600106	575810	598521	5671184	525736	427814	433320	480730	475224	409274	403839	407038
-5	580246	571715	530755	522224	6.80%	427814	428569	0.34%	512103	409274	342284	30735
564139	552608	3.91%	571339	562808	6.80%	428569	429075	4.31%	516396	419449	407300	341477
644369	635898	650374	604362	599831	62705	456343	450837	455621	494559	489053	459808	323067
30	676713	668182	646994	639423	4.35%	448831	442325	487170	476204	8.71%	385961	374412
656532	647101	2.52%	655382	648851	4.35%	465207	463701	4196713	414167	8.71%	388810	377261
668303	659797	600097	597566	601079	481930	476424	471369	498616	491109	479219	401300	382179
60	681539	673008	629018	612487	468339	463803	473887	478519	473013	391861	380112	283221
6886309	677778	1.39%	602716	599126	2.37%	479042	473536	2.15%	376675	365126	4.76%	389850
715022	709491	669425	659698	650167	65300	499115	493639	507039	522950	517444	374674	374525
120	700750	692219	642021	633670	3.88%	509075	503569	3.04%	512026	495774	376123	311788
616097	606566	8.23%	668593	680862	3.88%	528415	523909	5.04%	515286	509780	2.16%	390261
Leerwert	8531		8531			5506			5506			
Oxamat 100mmol/l	513451	504920	489647	501918	493387	449916	349985	344479	321815	368839	363373	369757
5	497755	489224	482328	474797	3.08%	480004	477473	319939	314433	6.22%	383706	378200
298540	291099	304955	329873	321346	308189	319066	312125	225709	285151	261584	256078	283591
-5	290316	291785	3242450	319934	0.88%	242425	236959	4.68%	271205	265689	2.41%	231825
340601	332070	7.70%	3242455	319934	0.88%	242425	236959	187937	209795	204229	201156	184295
317939	303462	277503	265556	265025	265559	199595	194039	187937	203719	197873	154028	143276
30	273949	265418	268952	260421	5.24%	195336	193880	5.57%	203822	198316	1.79%	145438
266161	257630	10.07%	289882	281351	5.24%	193985	173224	167728	166432	160927	157088	138389
60	224169	215638	228744	211756	202225	198586	180405	158110	152604	158878	153372	121321
60	240172	231641	196586	180405	4.18%	181524	176018	162470	156964	152317	111668	97762
247484	238953	5.21%	199295	190704	4.18%	164733	159277	156488	137179	131673	121321	108253
241423	232892	216455	193296	184765	176515	159031	153525	146185	140679	117406	105857	98821
120	2221935	213404	173176	164645	3.99%	18847	180316	5.99%	162157	156661	1.84%	147067
211609	203078	6.99%	18847	180316	3.99%				141561	3.97%	111062	99513
										3.41%	88143	76594

Ergebnisse Oxamat 100mmol/l

Zeit in min	1. Versuch		2. Versuch		3. Versuch		4. Versuch		5. Versuch		6. Versuch	
	RLU	RLU-Leer	Mittel/VK	RLU	RLU-Leer	Mittel/VK	RLU	RLU-Leer	Mittel/VK	RLU	RLU-Leer	Mittel/VK
0	100%	100%	100%	100%	100%	100%	100%	100%	100%	100%	100%	100%
5	66%	66%	76%	74%	58%	69%	71%	69%	71%	69%	71%	69%
5	55%	55%	53%	52%	52%	52%	52%	52%	52%	52%	52%	52%
30	43%	43%	42%	44%	38%	39%	41%	40%	41%	40%	41%	40%
60	34%	32%	35%	33%	28%	25%	31%	30%	31%	30%	31%	30%
120	32%	27%	31%	27%	28%	25%	28%	25%	28%	25%	28%	25%

Signifikanzniveau Student's-t-Test (Nullhypothese: Mittel Verum=Mittel Kontrolle)

Zeit in min	p
0	0
5	0.03627
5	15
30	0.00133
60	60
120	0.00035

B.4 Rohdaten der ATP-Messungen an S117-Zellen

S117 Chloracetalddehyd 20µmol/l

Zeit in min	1. Versuch		2. Versuch		3. Versuch		4. Versuch		5. Versuch		6. Versuch		
	RLU	RLU-Leer	RLU	Mittel/VK									
Leerwert	18665		37252		37222		7839		7839		1182		
Kontrolle	1932725	1904614	2289018	2463201	2617505	25801253	2616362	2462359	2632895	2688355	2390229	2412339	
5	1829907	1804242	2640919	2603667	2673911	2636659	2493815	2486036	2617764	2412263	2411181		
1915716	1895051	0,30%	2571423	2351171	7,57%	2686425	2632173	2355457	2337708	4,66%	272784	2734945	
-5	2062705	1816516	2151966	2377302	2742607	2834976	2797724	2394547	2386708	270914	2693075	2717107	
1808845	1793180	2460667	2443415	2484415	2706337	2669135	2379053	2371214	2687%	2703157	2786177	2752151	
1610327	1593632	12,96%	2461327	2530524	8,20%	2674845	2631320	2602558	2594753	2588403	2806553	2756465	
2114337	2097672	2086608	2456127	2508275	2431310	2631583	2631520	2652190	2644351	2739394	2755555	2786852	
30	2092754	2076089	2495049	2455797	2722055	2698903	2715903	2526109	22,27%	2695617	2691778	21,11%	
2141727	2125062	1,17%	2181689	2388437	2719055	2758719	2812971	2757610	245400	2437561	281423	2805585	
2187134	2170469	2223903	20506897	2672445	2481843	2895330	2856125	2838042	2405881	2388042	2798890	2790515	
60	2277305	2260640	2240601	2,13%	2411376	2727124	4,54%	2840532	2803280	2316506	2308667	2,77%	
2057266	2365936	2342271	2311773	2560039	2557767	2223622	2764572	2722320	2722913	2475825	2364787	1,93%	
120	2281683	2265018	2337695	2544473	2817459	2818207	1,57%	2688932	2651700	2518376	2706519	203981518	
Leerwert	18665		37252		37222		7839		7839		3068336	3151822	
CAA 20µmol/l	1931235	1914570	1885912	2473648	2651012	2613750	2624347	2747106	2469267	2481213	2716780	2775584	
5	1902965	1885300	2088666	0,85%	247502	233230	2474432	1,40%	2683232	2646030	2534076	2526237	
	2049839	2033174	2063925	2539841	2605398	2510030	2603279	2721530	2,20%	2448135	2415444	2424050	
-5	2080010	2063345	2528758	2539504	2495037	2622298	2622298	2622298	2655974	2658013	2658045	2676622	
2111920	2095255	1,50%	2673246	2535994	0,92%	2610934	2573626	2534094	0,42%	2735194	2671444	2607743	
2124522	2107957	2149224	1673242	1639690	1640820	2799550	2762298	2697369	2568977	2755674	2731511	2555541	
30	2126517	2108862	3,26%	1661901	1644649	0,33%	2671138	2631146	2681860	2913748	2905639	2931309	
2246778	2230113	2311137	2311137	2329326	2695674	2720987	2683715	265973	2681572	2610733	1,45%	3071640	
60	2246337	2229672	2200694	2450861	2443609	2483911	2614135	2576883	2367207	2389368	2666451	2605150	
120	2294403	2177738	2542097	2579339	2607120	2647322	2684154	2647322	2324097	2316258	2712867	2822268	
	22663047	2233182	2202051	2275555	2205287	2151493	2171204	2664802	2627550	2324054	2316215	2643185	
	2268578	2252913	1,29%	2253338	2216036	3,64%	2617639	2580357	3,16%	2411368	2403557	2,08%	3,60%

Ergbnisse CAA 20µmol/l Signifikanzniveau Student's-t-Test (Nullhypothese: Mittel Verum=Mittel Kontrolle)

Zeit in min	1. Versuch		2. Versuch		3. Versuch		4. Versuch		5. Versuch		6. Versuch	
	Zeit in min	p										
0	100%	100%	100%	100%	100%	100%	100%	100%	100%	100%	100%	100%
5	100%	100%	102%	101%	103%	102%	102%	102%	102%	102%	102%	102%
15	114%	106%	95%	99%	99%	97%	97%	97%	97%	97%	97%	97%
30	102%	67%	100%	100%	104%	105%	98%	98%	98%	98%	98%	98%
60	99%	100%	94%	99%	96%	95%	97%	97%	97%	97%	97%	97%
120	97%	87%	22%	34%	100%	94%	96%	95%	96%	95%	95%	95%

S117 Chloracetalddehyd 100µmol/l

Zeit in min	1. Versuch		2. Versuch		3. Versuch		4. Versuch		5. Versuch		6. Versuch		
	RLU	RLU-Leer	Mittel/VK	RLU	RLU-Leer	Mittel/VK	RLU	RLU-Leer	Mittel/VK	RLU	RLU-Leer	Mittel/VK	
Leerwert	16665		37252	2289018	1904614	2617505	2463201	2616362	2563323	2462559	7839	1182	
Kontrolle	1327215	1310550	150422	2640919	2003667	2673911	2636659	2493815	2486036	2659503	2652895	2390229	
5	1802907	1804242	0.30%	2571423	2351171	7.57%	2656425	2632173	1.20%	2355547	2337708	4.66%	2472963
1915716	1895051	1816516	-5	2185218	2151966	2377302	2745267	27124071	2490212	2416045	2700914	27177107	
1808845	1793180	2460667	2443415	2834976	2797724	2834976	2386708	2394547	2386708	2710986	2703157	2786177	
1610327	1593662	12.96%	2530524	2669135	8.20%	2706337	2734976	2379053	2371214	2583403	2726465	2771043	
2114337	2097672	2086608	2456127	2674848	2431310	2631583	2631583	2602568	2594750	2588403	2806553	2798714	
30	2992754	2976059	2495049	2455797	2722055	2898903	2759803	2652190	2644351	2733994	2785555	2898952	
2141727	2125062	1.17%	2388437	2181562	1.78%	2719705	2758719	2533948	2526109	22.27%	2695617	2691778	
2187134	2170469	2223903	28068697	2772445	2481843	2812971	2757819	2454500	2437561	2381423	2858397	2805585	
60	2973705	2266640	2240601	2.13%	2411376	2727124	4.54%	2840532	2803280	1.49%	2316506	2308667	
2557266	2365936	2342271	2311773	2560039	2557767	2292320	2716552	2722320	2722320	2.77%	2716733	2708894	
120	2281683	2265018	1.83%	2517459	2481207	1.57%	2828952	2615700	2789710	25.54%	2788907	2748754	
2337695	2321300		2544725	2688952	2617505	2621625	2621625	2621625	2621625	2621625	2039818	3161822	
Leerwert	16665		37252	2289018	1904614	2617505	2463201	2616362	2563323	2462559	7839	1182	
CAA 100µmol	1435726	1419061	1639275	2469615	2456763	2468632	2631104	2610221	2492147	2484308	2476549	2823174	
5	1847678	1831013	1667752	12.65%	2506209	2468957	2556078	2521826	2464723	2476584	2811154	2828993	
1844417	1822957	2027162	2613568	2767316	2522076	2624317	2587085	2634243	2568454	0.32%	2859427	2851583	
175	1990933	1973425	2440457	25209251	2490994	0.54%	27107732	3.57%	2676233	2558722	25.14%	2733532	
20272857	2010766	3.29%	2536156	2619914	1.87%	2698981	2662619	2654506	2540833	1.56%	274922	2733532	
30	2977779	2881114	2120070	2466649	2223237	2401588	2756731	2719479	2691425	2523441	2747417	2763678	
2186899	2110234		2444074	2408822	3.11%	2511647	2747356	2653559	2732483	2525174	2740337	2752498	
2185528	2168863		2103245	2103245	2103245	2520450	2734321	2651644	2655453	2438466	2826308	2825539	
60	2150838	2134173	2119351	2611573	2626306	26285887	2646615	2628490	2428490	2727217	2469378	2578793	
120	2072877	2056212	1.97%	2555976	2519724	2.10%	2746875	2708623	2454397	2438369	1.10%	2665444	2658105
2120197	2167796	2217344	2371393	2331411	2617123	2579877	2407147	2389919	2386454	277788	2650185	3010494	
2136862	2232608	2215943	2149248	2149248	2149248	2374292	1.02%	2565735	2528533	1.26%	2396976	2389137	
2165913										0.43%	2601773	2538384	

Ergebnisse CAA 100µmol/l

Zeit in min	1. Versuch		2. Versuch		3. Versuch		4. Versuch		5. Versuch		6. Versuch	
	RLU	RLU-Leer	Mittel/VK	RLU	RLU-Leer	Mittel/VK	RLU	RLU-Leer	Mittel/VK	RLU	RLU-Leer	Mittel/VK
0	100%	100%	100%	100%	100%	100%	100%	100%	100%	100%	100%	100%
5	86%	100%	100%	101%	105%	101%	103%	103%	103%	103%	103%	103%
15	112%	106%	97%	104%	131%	104%	102%	102%	102%	102%	102%	102%
30	101%	95%	100%	97%	101%	97%	102%	102%	102%	102%	102%	102%
60	98%	102%	94%	94%	102%	94%	98%	98%	98%	98%	98%	98%
120	94%	94%	93%	93%	101%	96%	93%	93%	95%	93%	93%	93%

Signifikanzniveau Student's-t-Test (Nullhypothese: Mittel Verum=Mittel Kontrolle)

Zeit in min	p
0	0
5	0.45937
15	0.35580
30	0.49772
60	0.35235
120	0.22219

S117 Chloracetalddehyd 500µmol/l

Zeit in min	1. Versuch		2. Versuch		3. Versuch		4. Versuch		5. Versuch		6. Versuch		
	RLU	RLU-Leer	Mittel/VK	RLU	RLU-Leer	Mittel/VK	RLU	RLU-Leer	Mittel/VK	RLU	RLU-Leer	Mittel/VK	
Leerwert	16665		37252	2289018	1904614	2463201	37252	2616362	2563323	2462559	7839	1182	
Kontrolle	1327215	1310550	150	2640919	2003667	2673911	2636659	2498375	2486036	2659503	2688355	2390229	
5	1829007	1804242	0.30%	2571423	2351171	7,57%	2656425	235547	2337708	4,66%	272784	2734945	
1915716	1895051	1816516	-5	2185218	2151966	2377302	27124071	2490212	2416045	2693075	2707566	2377107	
1808845	1793180	2443415	2460667	2669135	2834976	2797724	2394547	2386708	2710986	2703157	2786177	2752151	
1610327	1593662	12,96%	2097672	2089608	2456127	2431310	26748485	2631593	2695733	2602558	2588403	2758652	
30	2992754	2976089	249549	2455797	2722055	2898903	2652190	2644351	2739394	2785555	2898952	2876770	
2141727	2125062	1,17%	2118699	2388437	2719705	2759803	2533948	2526109	22,27%	2695617	2691778	21,11%	
2187134	2170469	2223903	2806897	2772445	2481843	2812971	2757519	2812376	2454500	2437561	2858397	2850558	
60	2977305	22660640	2240601	2,13%	2411376	2727124	4,54%	2840532	2803280	1,49%	2316506	2308667	2,77%
2965936	2942271	2311773	2560039	2557767	2223622	2764572	2722320	2722913	2475825	2364787	1933795	2748754	
120	2281683	2265018	1,83%	2517459	2481207	1,57%	2688932	2651700	25,64%	2789215	2518376	2688807	2036918
Leerwert	16665	2337695	2322100	2544473	37252	228922	2617170	2107988	2100159	9,73%	2788907	2,58%	3230905
CAA 500µmol/l	1696694	1880029	1939829	2546077	25050825	2650547	2626924	2589672	2654428	2538299	25030460	2528174	1182
5	2107155	2099450	2525592	2489340	2729635	2692403	2681210	2748307	2468307	2472365	2708643	2760035	2500985
2099152	2048967	11,65%	2151975	0,61%	27255227	2530503	2517621	2639931	2602679	2546365	2390645	2382806	249583
5	1889907	1972341	3,15%	2523352	2486100	1,09%	2744895	2708643	2726146	2468307	2538553	2857725	2869625
30	2087601	2079536	2131466	939340	2363667	6	2670631	2633349	2643964	2570313	2555116	2777240	2776566
2145592	2128927	2128927	2373925	2386673	2425810	23881558	2721595	2684343	2655544	2627342	2619503	2628967	2628985
221261	2194596	2,90%	1743657	1914325	2407112	2401049	2517972	2480720	2577705	2553169	2533000	26262105	2805050
60	1884086	1861421	2362332	2356860	2589474	2552222	2588474	2552222	22222151	22222151	22222151	2746723	2711129
120	2148562	2131897	10,36%	2349892	2311690	2,17%	2567814	2530562	2351428	2351428	2351428	277113	2709274
1547715	1543973	1516392	2001126	1863874	1886374	1849122	1880723	1821621	1871956	1943865	1951645	2073036	2115057
1533057	1584477	1567812	1,68%	1949829	1912577	2,11%	1735018	1772270	4,21%	2024022	2016183	3,93%	2188853
													2,64%

Ergebnisse CAA 500µmol/l

Zeit in min	1. Versuch		2. Versuch		3. Versuch		4. Versuch		5. Versuch		6. Versuch	
	Zeit in min	V	Zeit in min	V	Zeit in min	V	Zeit in min	V	Zeit in min	V	Zeit in min	V
0	100%	100%	100%	100%	100%	100%	100%	100%	100%	100%	100%	100%
5	102%	102%	101%	103%	103%	103%	104%	102%	103%	102%	103%	102%
15	111%	106%	97%	100%	100%	103%	103%	103%	103%	103%	103%	103%
30	102%	97%	98%	99%	99%	101%	98%	98%	98%	98%	98%	98%
60	88%	95%	90%	96%	97%	82%	67%	77%	59%	71%	0,086	12,11%
120	67%	76%	1,68%	1,68%	1,68%	1,68%	1,68%	1,68%	1,68%	1,68%	1,68%	1,68%

Signifikanzniveau Student's-t-Test (Nullhypothese: Mittel Verum=Mittel Kontrolle)

Zeit in min	V	Zeit in min	V
0	0	0	0
5	5	5	0,36637
15	15	15	0,35939
30	30	30	0,43287
60	60	60	0,19910
120	120	120	0,00038

S117 Fluoracetat 500µmol/l

Zeit in min	1. Versuch		2. Versuch		3. Versuch		4. Versuch		5. Versuch		6. Versuch	
	RLU	RLU-Leer	Mittel/VK	RLU	RLU-Leer	Mittel/VK	RLU	RLU-Leer	Mittel/VK	RLU	RLU-Leer	Mittel/VK
Leerwert	6188		6188	2175922	1972204	13032	2295131	2289533	13032	13899	13899	13899
Kontrolle	1843598	1837410	1809573	2160734	191576	2208153	2256014	2229963	2221523	227146	2456187	2489367
5	17771952	17657160	1920764	191576	191576	1835490	1835302	1835302	2266046	2266046	2646899	2653000
10	1831733	1825545	212%	1835490	1835302	8.82%	2176855	2165633	2252685	0.69%	2477839	2.09%
15	1821749	1821306	1709160	1841277	1835302	2246494	2233462	2205154	2241981	2235157	2541807	2515255
20	1758848	1753636	1758701	1951021	1944833	2325414	231382	2244590	2231558	2256846	2553147	2869153
25	1752513	1752513	4.45%	1894490	1894490	4.24%	2128821	2115789	2061964	2048932	8.41%	2404530
30	1572283	1568995	1581468	1786500	1786500	1.92312	1749222	2263755	2174572	2256649	2196107	2770913
35	1470836	1464648	1655287	1649079	1649079	4.97%	2147143	2134111	2117348	2158316	2424294	2868118
40	1719850	1713662	1812462	1802724	1802724	7.92%	2138835	2125857	2143357	2143357	2450337	2733774
45	1715952	1709764	1765921	2069747	2069559	2048084	2451083	2438051	2427693	2377820	2384788	2630098
50	1798263	1790075	1912788	1906600	1906600	2187344	2174322	217586	2404554	2535228	2947825	2954534
55	1804111	1797923	1797923	2130033	2130033	6.00%	2144221	2130695	2453609	2404577	2629574	294126
60	1632366	1626178	1632633	2114091	2105903	1.96121	2622003	2590901	2491264	2505104	2492072	3015338
65	120	1561194	1575006	1896714	1896714	3.74%	2105903	2105903	2520119	2520119	2759528	26557C3
70	1702902	1896714	1863887	1877690	1877690	6.50%	2457635	2444633	2512526	24899224	0.52%	3015339
75	FAC 500µmol/l	6188		6188			2353151	2353151	2444633	2444633	2493956	2987932
80	Leerwert	1731893	1725705	1686919	2063349	2056161	2007412	2285911	2272879	2207050	2117711	2104679
85		1842370	1936182	2026644	2035892	2026644	2026362	2236978	2232946	2244265	2231233	2340748
90		1535058	1528870	9.17%	1942620	1934542	3.13%	2226337	2213325	2247295	2253087	2393549
95		1644409	1638221	1604643	1845003	1951191	2028830	2149083	2149083	2162115	2168371	2155339
100		1495037	1675671	5.82%	2127696	2127696	4.36%	2277424	2264392	2183086	22671367	2404074
105		1882859	1875671	2125033	2152724	2176536	2011547	2198445	2190821	2128055	2115023	2360410
110		1423683	1468787	1865795	1844607	8.12%	2014690	2274938	2261187	2122141	2283073	2201473
115		1888818	1882630	9.07%	2026867	2042530	2036342	2129898	2129898	2223388	2209356	2403249
120		1920969	1787957	1735881	2038287	2036369	2036369	2231337	2224335	2209747	2185203	2397728
125		17427157	1707022	6.49%	2262173	2219895	7.73%	2173431	2124399	2208634	2279314	2266215
130		1614514	1608326	2100496	2094308	1972186	2338394	2323592	2111848	2455265	2442520	2842072
135		1714591	1708433	1868822	1861634	5.96%	2439125	2426093	2480679	2497111	248649	2858838
140		1746288	1740100	4.08%	1865804	1859616	3.98%	2497121	2484089	3.33%	2498649	2519143

Ergbnisse FAC 500µmol/l

Zeit in min	1. Versuch	2. Versuch	3. Versuch	4. Versuch	5. Versuch	6. Versuch
0	100%	100%	100%	100%	100%	100%
5	94%	102%	101%	99%	97%	98%
10	94%	105%	101%	98%	94%	95%
15	98%	115%	101%	95%	90%	93%
20	101%	104%	97%	98%	96%	95%
25	103%	101%	97%	98%	96%	95%

Signifikanzniveau Student's-t-Test (Nullhypothese: Mittel Verum=Mittel Kontrolle)

Zeit in min	p
0	0
5	0.44680
10	0.42185
15	0.41947
20	0.41252
25	0.41224

S117 Oligomycin 50µmol/l

Zeit in min	1. Versuch		2. Versuch		3. Versuch		4. Versuch		5. Versuch		6. Versuch	
	RLU	RLU-Leer	Mittel/VK	RLU	RLU-Leer	Mittel/VK	RLU	RLU-Leer	Mittel/VK	RLU	RLU-Leer	Mittel/VK
Leerwert	1474			1474			13032			13032		
Kontrolle	33897.08	338522.34	34127.73	335368.99	335254.15	33520.07	229615.13	229613.1	229693.3	229217.1	22714.46	248936.7
5	341028.6	340988.11	344127.73	335398.99	335254.15	33520.07	226900.06	225601.04	222963.4	221660.2	224777.3	244407.4
5	34427.47	344127.73	344127.73	335154.	335154.	335154.	217685.5	216563.3	225268.5	225268.5	247783.9	0.69%
-5	301065.2	320917.8	320983.36	311035.11	311035.11	311035.11	307706.1	223346.2	220515.4	224298.1	223515.7	254180.7
-5	328198.5	328051.11	328051.11	311182.5	311182.5	311182.5	232541.4	231238.2	224459.0	223155.8	256568.46	255314.7
332329.2	33218.18	5.30%	297519.3	297519.3	297519.3	212882.1	211578.9	211578.9	204893.2	204893.2	286915.3	285654.54
33704.34	33689.60	33689.70	320262.58	303348.98	303348.98	227674.7	226375.5	217457.2	226968.1	225664.9	2196.107	277091.3
30	3225024	322355.50	272244.15	229294.1	213411.11	213411.11	21734.8	215831.6	215831.6	214335.7	214335.7	24247.94
	330887.3	330739.9	2.21%	317739.42	317626.88	8.33%	212885.1	212885.1	212885.1	212885.1	212885.1	2.82%
332684.5	332537.71	332537.71	287340.2	287192.8	291268.7	245108.3	243805.1	224769.3	237782.0	236478.8	240330.6	240330.6
60	330284.9	330175.75	301073.15	310878.98	310878.98	218734.4	217432.2	217432.2	241758.6	240455.4	253522.8	253522.8
350569.4	33492.20	0.72%	266023.2	265873.58	7.90%	214372.7	213069.5	7.40%	245360.9	240457.7	263957.4	2.47%
35165.20	361705.4	355340.2	342432.04	342432.04	339123.1	292200.73	290904.1	249126.4	250510.4	249207.2	248841.1	273327.7
120	360408.8	359501.14	341250.00	341888.99	1.25%	245763.5	244463.3	244463.3	252102.9	241393.6	250522.7	263570.3
	35456.13	35441.39	1.18%	342036.83	341888.99	1.25%	245763.5	244463.3	244463.3	252102.9	241393.6	250522.7
Leerwert	1474			1474			13032			13032		
Oligom. 50µmol/l	32865.75	32851.01	334598.69	334315.0	331705.90	223283.3	222487.3	222487.3	220029.1	218726.7	220678.1	240475.3
5	33348.73	33333.99	327110.4	326963.50	326339.99	1.24%	226772.6	225469.4	222711.1	221407.9	222030.5	242800.2
342088.1	34194.07	2.03%	335987.3	335839.73	319190.3	1.41%	220989.3	219677.1	216755.9	220229.3	218926.1	213879.9
339284.1	339146.7	328296.88	306106.7	307059.83	315411.18	219677.1	216755.9	216755.9	213368.9	213368.9	213368.9	240475.3
-5	32623.79	32609.05	307657.64	309429.20	309429.20	218837.4	218837.4	218837.4	214672.1	213368.9	213368.9	240475.3
	329880.06	32965.32	0.59%	326594.6	326484.72	3.70%	212855.5	211653.3	212855.5	212855.5	212855.5	242800.2
33955.11	33940.37	34055.59	32224.72	32229.98	31655.91	21893.91	217689.9	217689.9	220132	220132	233945.7	233945.7
30	34754.24	34739.50	32022.70	32037.44	32037.44	207497.0	206193.8	206193.8	219834.5	219834.5	244512.8	244512.8
33531.61	33516.87	1.82%	30699.79	30616.05	30616.05	212241.1	210837.9	210837.9	221798.2	221798.2	224049.5	224049.5
60	31924.43	31909.69	31932.04	31310.58	313122.98	212687.7	211384.5	211384.5	216763.8	216763.8	235054.6	235054.6
60	31251.27	31236.53	31236.53	31243.42	31242.86	30842.25	20812.53	20812.53	23763.8	236375.6	252852.2	254173.3
34484.91	34464.65	32649.91	2.21%	31113.81	31090.07	0.43%	22729.76	22598.94	22332.75	23167.13	241314.1	235176.4
120	34657.88	34643.14	34623.41	328622.00	32807.46	32749.97	22330.23	22146.99	220157.7	23848.85	267789.1	262445.0
34771.64	34756.90	0.42%	33017.44	33012.70	0.88%	21032.44	20962.22	3.45%	23062.98	22832.66	25.5%	26330.0

Ergbnisse Oligom. 50µmol/l

Zeit in min	1. Versuch		2. Versuch		3. Versuch		4. Versuch		5. Versuch		6. Versuch	
	1. Versuch	2. Versuch										
0	100%	100%	100%	100%	100%	100%	100%	100%	100%	100%	100%	100%
5	98%	98%	98%	98%	98%	98%	98%	98%	98%	98%	98%	98%
5	102%	103%	104%	105%	106%	107%	108%	109%	110%	111%	112%	113%
30	103%	104%	105%	106%	107%	108%	109%	110%	111%	112%	113%	114%
60	98%	98%	98%	98%	98%	98%	98%	98%	98%	98%	98%	98%
120	97%	97%	97%	97%	97%	97%	97%	97%	97%	97%	97%	97%

Signifikanzniveau Student's-t-Test (Nullhypothese: Mittel Verum=Mittel Kontrolle)

Zeit in min	p
0	0
5	0.44550
5	15
30	0.45343
30	30
60	0.49885
60	60
120	0.43992
120	120

S117 Oxamat 100mmol/l + Chloracetalddehyd 20μmol/l

Zeit in min	1. Versuch RLU	2. Versuch RLU	Mittel/VK	3. Versuch RLU	Mittel/VK	4. Versuch RLU	Mittel/VK	5. Versuch RLU	Mittel/VK	6. Versuch RLU	Mittel/VK
Leerwert	4390			4390		62791		62791		51178	
Kontrolle	2515956	2545532	2545532	2694591	3042201	2887931	2297303	2202863	2491002	2764017	2943592
5	2070559	2699169	27956305	27956305	21935632	22563343	21935632	2491857	2763277	2988239	2947061
22/2250	2413860	5.60%	2850827	2820437	4.68%	2180554	2177333	216551	2653740	5.71%	2731616
2592604	2588214	25266871	25266871	2934445	312041	3101651	1946036	1883275	2539057	2456842	2405764
-5	2477216	2472826	2472826	2301382	312041	22717881	2155090	2448584	2332652	4.01%	2737081
28223394	2519004	2.30%	26765227	2774264	2836722	2632933	2290639	2227848	2231282	2695289	2608937
30	2664168	2659778	2659778	2729426	2729426	2541593	2478712	2689116	2545325	2307447	2265640
28654877	28654877	6.63%	323041	323041	8.04%	298651	1987287	11.01%	2623620	1.84%	2676277
2818655	2814265	2809468	3051172	3046782	2921805	2827922	2465131	2328469	263034	2632797	2566117
60	2884153	2879763	2879763	2846260	2846260	2245387	2308178	2709856	2647165	2977490	296312
2651766	2647376	4.98%	2876333	2876333	3.74%	2331759	2274978	5.12%	2720984	2638193	0.21%
120	2623344	2619954	2712721	3176395	3176395	3133632	2541795	2478994	2446174	2733911	2671120
2651403	2647013	2627195	306202	306202	3.83%	2570146	2507355	2352174	2620269	2633829	2510242
2876585	2871146	5.12%	3232678	3232678	3.83%	2701146	2627146	3.38%	2728342	2728342	4.47%
Leerwert	4390			62791		62791		62791		51178	
Ox+CAA 20μmol/l	1767156	1762766	1677297	2130444	1997281	970449	907638	865087	1118566	1064712	1549487
5	17711604	1707224	1869947	1870557	1869947	940212	877421	8710181	5.77%	1081779	1018988
1566301	15619111	6.18%	1862832	1868142	6.38%	922910	8792912	119312	4.72%	119312	1312073
1367229	1362839	1407769	1763725	1763725	1776355	1714820	922910	860119	848167	1045477	1028332
-5	1464643	1464643	1721823	1721823	1721823	1652033	1647633	3.84%	925973	863182	3.17%
1400216	1395826	3.69%	1435095	1435095	1435095	1435095	1435095	905999	842208	841764	10105446
1439819	1435429	1435429	1431012	1435202	1435202	1430112	1452279	9749152	929471	963444	1131485
30	1513874	15059484	15059484	1436038	1436038	1436038	1436038	1436038	1039471	1066577	1047465
1439462	1439462	1439462	1162399	1162399	1166710	1521488	1517078	832225	769661	795182	1037973
60	11167189	1162399	1166710	173535	173535	1239303	1228513	1239376	798016	732225	7113861
1235102	1230712	5.31%	1256329	1256329	1.24%	744011	740202	817208	754417	807833	804055
120	1128231	1128441	1111919	1255180	1255180	1259305	1259519	701519	642002	646630	704954
1112255	1107865	1.33%	1283463	1283463	1.48%	712932	650161	0.65%	739316	717348	780776

Ergebnisse Ox+CAA 20μmol/l

Zeit in min	1. Versuch	2. Versuch	3. Versuch	4. Versuch	5. Versuch	6. Versuch	Mittel	Stabbw	VK
0	100%	100%	100%	100%	100%	100%	100%	0.00%	0.00%
5	66%	72%	71%	69%	68%	78%	70%	0.121	7.15%
10	56%	58%	41%	42%	41%	48%	53%	0.076	15.98%
30	53%	56%	37%	42%	40%	43%	43%	0.065	15.00%
60	44%	42%	31%	26%	28%	31%	35%	0.064	18.46%
120	41%	40%	41%	41%	41%	47%	44%	0.066	20.30%

Signifikanzniveau Student-t-Test (Nullhypothese: Mittel Ox+CAA = Mittel ohne Ox)

Zeit in min	C
0	entfällt
5	0.01503
10	15
30	30
60	60
120	120

Signifikanzniveau Student-t-Test (Nullhypothese: Mittel Ox+CAA = Mittel ohne Ox)

Zeit in min	C
0	0.0010
5	15
10	30
30	30
60	60
120	120

Ergebnisse Oxamat 100μM

Zeit in min	1. Versuch	2. Versuch	3. Versuch	4. Versuch	5. Versuch	6. Versuch	Mittel	Stabbw	VK
0	100%	100%	100%	100%	100%	100%	100%	0.000	0.00%
5	49%	51%	41%	42%	41%	48%	48%	0.121	7.15%
10	51%	54%	45%	42%	42%	40%	53%	0.076	15.98%
30	53%	56%	37%	42%	40%	43%	55%	0.065	15.00%
60	44%	48%	44%	45%	47%	49%	48%	0.064	4.45%
120	40%	40%	41%	41%	41%	47%	44%	0.025	5.97%

S117 Oxamat 100mmol/l + Chloracetalddehyd 100µmol/l

Zeit in min	1. Versuch		2. Versuch		3. Versuch		4. Versuch		5. Versuch		6. Versuch		
	RLU	RLU-Leer	Mittel/VK	RLU	RLU-Leer	Mittel/VK	RLU	RLU-Leer	Mittel/VK	RLU	RLU-Leer	Mittel/VK	
Leerwert	4390			4390			62791			51178			
Kontrolle	25115956	2543552	2543552	25956305	25956305	25956305	2297303	2297303	2297303	2491002	2491002	2491002	
5	20705569	2699169	2699169	27596369	27596369	27596369	21935632	21935632	21935632	2764017	2764017	2764017	
22/2250	2413860	5,60%	5,60%	2650827	2650827	2650827	2177733	2177733	2177733	2874545	2874545	2874545	
2592604	2588214	2588214	2588214	2683691	2683691	2683691	2163054	2163054	2163054	2653740	2653740	2653740	
-5	2477216	2472826	2472826	3112041	3112041	3112041	1946036	1946036	1946036	2484584	2484584	2484584	
2523394	2519004	2519004	2519004	30107272	30107272	30107272	21107650	21107650	21107650	2485444	2485444	2485444	
26891917	2676522	2676522	2676522	2636773	2636773	2636773	2290639	2290639	2290639	2652989	2652989	2652989	
30	2664168	2659778	2659778	2729426	2729426	2729426	2541593	2541593	2541593	2609481	2609481	2609481	
2865474	2865474	2865474	2865474	3263041	3263041	3263041	8,04%	8,04%	8,04%	2688411	2688411	2688411	
2818655	2814265	2814265	2814265	3061172	3046782	3046782	2827922	2827922	2827922	2718075	2718075	2718075	
60	2884153	2879763	2879763	2846260	2846260	2846260	2465131	2465131	2465131	2636304	2636304	2636304	
2651766	2647376	2647376	2647376	2876333	2876333	2876333	2308178	2308178	2308178	2709595	2709595	2709595	
120	2623344	2619954	2619954	2712721	3014955	3014955	3176395	3176395	3176395	2632982	2632982	2632982	
2651403	2647013	2647013	2647013	306202	306202	306202	2998812	2998812	2998812	2510242	2510242	2510242	
2876585	2872195	2872195	2872195	31252678	3228288	3228288	3,83%	3,83%	3,83%	2707355	2707355	2707355	
Leerwert	4390			5,12%			2570355			2728342			
Ox-CAA 100µmol/l	1842225	1837835	1837835	1823879	1986842	1986842	1960123	956193	956193	984492	984492	984492	
5	1841942	1837552	1837552	1798250	1,31%	1916255	1916255	1916255	821861	821861	1016324	1016324	
1500640	1500640	1500640	1500640	18463225	18463225	18463225	1642509	1642509	1642509	1050384	1050384	1050384	
-5	1382707	1378337	1378337	1463037	1463037	1463037	7566327	7566327	7566327	982861	982861	982861	
1469483	1465034	1465034	1465034	1591050	1591050	1591050	1846302	1846302	1846302	1113175	1113175	1113175	
15050654	1546264	5,74%	5,74%	1760365	17579975	17579975	7,07%	852853	852853	1026732	1026732	1026732	
1373300	1369910	1417268	1417268	1586804	1586804	1586804	1506139	882899	882899	983095	983095	983095	
30	1467963	1463573	1463573	1465357	1464235	1464235	1441967	908556	908556	994861	994861	994861	
1423712	1419322	1419322	1419322	977952	983259	983259	149006	1485396	1485396	1133179	1133179	1133179	
60	9862342	976247	976247	1279912	1269522	1269522	1198516	6632053	6632053	812911	812911	812911	
9899869	985579	985579	985579	1130968	1126598	1126598	1196115	6961115	6961115	811494	811494	811494	
883167	8878777	8878777	8878777	9354428	9350386	9350386	661631	661631	661631	727073	727073	727073	
120	894276	8898866	8898866	906106	9077116	9077116	1,28%	1097768	10983379	8,79%	451939	389118	7,67%

Ergebnisse Ox-CAA 100µmol/l

Zeit in min	1. Versuch		2. Versuch		3. Versuch		4. Versuch		5. Versuch		6. Versuch	
	1. Versuch	2. Versuch	3. Versuch	4. Versuch	5. Versuch	6. Versuch	Mittel	Std. Abw.	VK	Mittel	Std. Abw.	VK
0	100%	100%	100%	100%	100%	100%	100%	0,00%	0,00%	0,00%	0,00%	0,00%
5	72%	72%	68%	68%	68%	68%	78%	70%	70%	70%	70%	70%
10	58%	58%	56%	56%	54%	54%	51%	45%	45%	45%	45%	45%
30	51%	51%	36%	36%	37%	37%	38%	42%	42%	42%	42%	42%
60	41%	41%	27%	27%	28%	28%	26%	31%	31%	31%	31%	31%
120	33%	33%	17%	17%	17%	17%	25%	25%	25%	25%	25%	25%

Signifikanzniveau Student-t-Test (Nullhypothese: Mittel Verum= Mittel ohne Ox.)

Zeit in min	C
0	0 entfällt
5	5 0,0255
10	15 0,01238
30	30 0,00451
60	60 0,00112
120	120 0,00046

Signifikanzniveau Student-t-Test (Nullhypothese: Mittel Ox.=Mittel ohne Ox.)

Zeit in min	C
0	0 entfällt
5	5 0,0014
10	15 0,0001
30	30 0,0000
60	60 0,0000
120	120 0,0000

S117 Oxamat 100mmol/l + Chloracetalddehyd 500µmol/l

Zeit in min	1. Versuch RLU	2. Versuch RLU	Mittel/VK	3. Versuch RLU	Mittel/VK	4. Versuch RLU	Mittel/VK	5. Versuch RLU	Mittel/VK	6. Versuch RLU	Mittel/VK
Leerwert	8794			8794				62791		51178	
Kontrolle	1386894	1978100	1913825	2162003	2164546	2288436	2297303	2202863	2491002	2764017	2943592
5	1333457	18246163	1844713	2175340	2175340	2256343	2193582	2490066	2763277	2988239	2947061
1555550				3.50%	2556527	2447733	9.81%	2180554	2177333	2653740	5.71%
-5	200975	21892135	21825403	2171798	2163004	2086046	2151504	2100263	2462026	2589727	2741977
2073386				1.81%	221049	2202255	2.67%	1946036	1883275	211375	4.01%
1959550	1950556	2124565	2202551	2196717	2178932	2290639	2227848	2231282	2652498	2632498	2603481
30	2334329	2025535	2097403	3.62%	2166913	2176119	2541593	2478712	2689116	2545325	2307447
2106197				1.03%	2162754	2162754	2050078	1987287	11.01%	2623620	1.84%
2020925	2012131	2107212	2338200	2282406	2302417	2527922	2465131	2328469	2715825	263034	2632797
60	2127663	2118869	2190635	4.26%	2272183	2265329	2245387	2308178	2709856	2647165	2596299
2199429				1.50%	2314547	2323251	2314547	2331759	2274978	2519494	2507672
120	2224011	2215217	2206110	2.38%	2375340	2366546	2460152	2441795	2478934	2446174	2739311
2262173	2253339	2149734	2165828	2.38%	2363751	2359957	2462746	2414955	2352174	2362069	2640501
Leerwert	8794			8794				2570355	2728342	2728342	4.47%
Ox-CAA 500µmol/l	823615	814821	817739	927032	918258	895043	868231	805440	772939	927435	925291
5	8235673	8226879	821517	0.99%	853535	854559	4.40%	913132	814549	91245	1135969
3203111				854559	854559	824111	761620	3.70%	984036	982935	1134982
745415	736621	705417	705417	736682	727888	7482929	750332	687511	656372	805544	797753
-5	707721	6898927	680702	4.04%	764538	755744	2.13%	662180	658389	823449	7605658
689496				591739	611134	620433	611639	630863	672658	8069877	849187
500533				611134	611134	673501	664689	675517	688464	759039	71805
30	6162683	6056489	6056489	6351768	615334	642624	579833	642624	767197	75517	71350
6439698				3.61%	625128	615334	4.68%	447939	481794	6064494	734576
60	4040568	398264	392121	4.03%	439860	430166	458670	418819	481973	503589	503589
3982010				0.77%	462746	459852	3.49%	503547	440756	483070	483070
20859	1983365	211594	214311	25.99%	246203	250757	232083	230680	2724118	275459	276839
120	2223105	214311	2223105	5.28%	260304	252420	288832	227041	344406	281615	322113
229901				221107	221107	260623	25.829	1.64%	295736	232915	1.38%

Ergebnisse Ox-CAA 500µmol/l

Zeit in min	1. Versuch	2. Versuch	3. Versuch	4. Versuch	5. Versuch	6. Versuch	Mittel	Stabbw	VK
0	100%	100%	100%	100%	100%	100%	100%	0.00%	0.00%
5	43%	72%	71%	68%	68%	78%	70%	7.14%	5.00%
15	36%	35%	32%	32%	32%	34%	34%	5.59%	5.00%
30	30%	25%	27%	29%	29%	28%	28%	4.13%	3.00%
60	19%	19%	18%	19%	19%	19%	19%	3.10%	2.00%
120	10%	9%	10%	10%	10%	10%	10%	4.10%	3.00%

Ergebnisse Oxamat 100µM

Zeit in min	1. Versuch	2. Versuch	3. Versuch	4. Versuch	5. Versuch	6. Versuch	Mittel	Stabbw	VK
0	100%	100%	100%	100%	100%	100%	100%	0.00%	0.00%
5	38%	72%	63%	68%	78%	70%	70%	0.050	7.15%
15	64%	64%	54%	55%	57%	61%	58%	0.043	7.30%
30	62%	56%	52%	54%	54%	56%	56%	0.034	6.09%
60	44%	48%	44%	45%	47%	49%	46%	0.021	4.45%
120	40%	41%	41%	41%	41%	42%	42%	0.025	5.97%

Signifikanzniveau Student-t-Test (Nullhypothese: Mittel Ox.=Mittel ohne Ox.)

Zeit in min	C
0	0 entfällt
5	0.00003
15	0.02000
30	0.00001
60	0.00001
120	0.00000

Signifikanzniveau Student-t-Test (Nullhypothese: Mittel Verum=Mittel ohne Ox.)

Zeit in min	C
0	0 entfällt
5	5
15	15
30	30
60	60
120	120

S117 Oxamal 100µmol/l + Fluoracetat 50µmol/l

Zeit in min	1. Versuch		2. Versuch		3. Versuch		4. Versuch		5. Versuch		6. Versuch	
	RLU	RLU-Leer	Mittel/VK	RLU	RLU-Leer	Mittel/VK	RLU	RLU-Leer	Mittel/VK	RLU	RLU-Leer	Mittel/VK
Leerwert	8794			8794			3550			16890		
Kontrolle	186894	1978100	1915825	2162003	2150219	1981473	1977923	1987802	2210814	2159167	2120301	16890
5	1833457	18246163	1814713	2173340	2164546	2011836	2008306	20149251	2158011	2036579	2036579	2165443
15	1855550	1844713	3.50%	2556527	2447733	9.81%	1980728	1977178	2174956	2174956	2150558	3.67%
30	1892135	2028229	-5	2151504	2171798	16951875	1726398	2174677	2171127	2194052	2163553	2145147
60	2000975	1892181	-5	2088046	2088252	1820338	1816818	2151529	2147979	2158730	2141840	2277677
120	2073386	2064592	-5	2211049	21502255	2.67%	1665930	1662400	2166601	2263051	2150047	2152549
Leerwert	1959550	1950556	2024565	2205151	2196717	2178932	2068096	2062536	2051406	2156890	2156895	2157346
30	2393429	2295359	2097403	2162754	2159610	1.03%	1925132	1921612	214937	2145987	2224557	2207667
60	2020925	2012131	2107212	2383200	2282406	2302417	1654154	1650614	1587738	2028786	2262199	228559
120	2127663	2118869	2190635	2272183	2265389	2302521	2342457	2342455	2339291	2312728	2367922	2367922
Leerwert	8794	2215211	2206110	2375340	2366546	2460152	23233679	23233679	2312728	2455841	2454406	2454406
120	2262173	2253379	2.38%	23683751	2359857	4.20%	2427470	2421230	2427470	2438119	0.45%	2370589
Leerwert	8794			8794			3550			16890		
Ox/FAC 500µmol/l	1137962	1129168	1131704	1203364	1194570	1288887	7560077	755527	765744	916619	913069	891592
5	1125336	1113742	1160996	1152202	1.71%	1275821	1267027	757299	759739	873998	869548	872959
10	1013980	1003209	1013980	1157667	1149893	1095166	58705	583485	590200	707445	703895	704018
15	9851239	9851239	1053609	3.50%	1068598	1067805	4.33%	592346	588796	601888	589318	601888
30	919603	9098975	919603	1043292	1034408	984599	680339	676839	691162	734397	732208	734397
60	8560565	8472662	8472662	9647555	9647555	943399	683278	681728	718470	756734	753184	753184
120	847448	838654	8101312	788582	809516	863285	854741	891514	891514	652327	528333	612125
Leerwert	8794	803681	803681	7988236	798436	2.42%	861979	853185	853185	6654056	6654056	661082

Ergebnisse Ox/FAC 500µmol/l

Zeit in min	1. Versuch		2. Versuch		3. Versuch		4. Versuch		5. Versuch		6. Versuch	
	1. Versuch	2. Versuch	3. Versuch	4. Versuch	5. Versuch	6. Versuch	Mittel	Stdabw	VK	Mittel	Stdabw	VK
0	100%	100%	100%	100%	100%	100%	100%	100%	100%	100%	100%	100%
5	56%	72%	59%	59%	63%	59%	39%	41%	43%	46%	40%	40%
10	51%	51%	45%	45%	34%	34%	32%	34%	40%	40%	38%	38%
30	30%	30%	33%	33%	33%	33%	33%	33%	33%	33%	30%	30%
60	38%	38%	33%	33%	29%	29%	26%	27%	26%	26%	26%	26%
120	40%	40%	41%	41%	41%	41%	27%	27%	27%	27%	27%	27%

Ergebnisse Ox/FAC 500µmol/l

Zeit in min	1. Versuch		2. Versuch		3. Versuch		4. Versuch		5. Versuch		6. Versuch	
	1. Versuch	2. Versuch	3. Versuch	4. Versuch	5. Versuch	6. Versuch	Mittel	Stdabw	VK	Mittel	Stdabw	VK
0	100%	100%	100%	100%	100%	100%	100%	100%	100%	100%	100%	100%
5	56%	72%	59%	59%	63%	59%	39%	41%	43%	46%	40%	40%
10	51%	51%	45%	45%	34%	34%	32%	34%	40%	40%	38%	38%
30	30%	30%	33%	33%	33%	33%	33%	33%	33%	33%	30%	30%
60	38%	38%	33%	33%	29%	29%	26%	27%	26%	26%	26%	26%
120	40%	40%	41%	41%	41%	41%	27%	27%	27%	27%	27%	27%

Signifikanzniveau Student t-Test (Nullhypothese: Mittel Ox.=Mittel ohne Ox.)

Zeit in min	C
0	0 entfällt
5	5 0,00054
10	15 0,00131
30	30 0,00013
60	60 0,00043
120	120 0,00109

Ergebnisse Oxamal 100µmol/l

Zeit in min	1. Versuch		2. Versuch		3. Versuch		4. Versuch		5. Versuch		6. Versuch	
	1. Versuch	2. Versuch	3. Versuch	4. Versuch	5. Versuch	6. Versuch	Mittel	Stdabw	VK	Mittel	Stdabw	VK
0	100%	100%	100%	100%	100%	100%	100%	100%	100%	100%	100%	100%
5	56%	72%	59%	59%	63%	59%	39%	41%	43%	46%	40%	40%
10	51%	51%	45%	45%	34%	34%	32%	34%	40%	40%	38%	38%
30	30%	30%	33%	33%	33%	33%	33%	33%	33%	33%	30%	30%
60	38%	38%	33%	33%	29%	29%	26%	27%	26%	26%	26%	26%
120	40%	40%	41%	41%	41%	41%	27%	27%	27%	27%	27%	27%

Signifikanzniveau Student t-Test (Nullhypothese: Mittel Ox.=Mittel ohne Ox.)

Zeit in min	C
0	0 entfällt
5	5 0,00054
10	15 0,00131
30	30 0,00013
60	60 0,00043
120	120 0,00109

S117 Oxamat 10mmol/l + Oligomycin 10µmol/l

Zeit in min	1. Versuch		2. Versuch		3. Versuch		4. Versuch		5. Versuch		6. Versuch		
	RLU	RLU/Leer	Mittel/VK	RLU	RLU/Leer	Mittel/VK	RLU	RLU/Leer	Mittel/VK	RLU	RLU/Leer	Mittel/VK	
Leerwert	2900			2910			3550			3550			
Kontrolle	24920.14	24381.14	24382.75	26994.98	26636.98	26180.30	1981473	1977923	1987802	2214364	2207247	2190357	
5	2458505	2455645	2600495	2602945	260306	2011856	2191251	2152801	2159251	2053459	2036579	2183031	
2364107	2.66%	2.72%	1.85%	1.97778	1.875%	2.72%	2120986	217436	211122	2150838	2163568	2145.47%	
15	2306682	2303782	2403123	2683247	2736555	1685425	1691875	1723658	2174677	211122	2160443	2163553	
2429731	2426831	2428157	3.74%	2718005	2777725	1823368	186118	2151529	2117979	2158730	2141840	2277671	
2481757	2481757	2481757	3.74%	2752093	2754897	1663905	1662000	2266601	2154937	2155249	2155249	2260781	
2300001	2297101	2361694	2861694	26383997	26382665	2062536	2051406	2159890	2156440	2186895	2111432	2155249	
30	2369301	2368401	2368401	2565985	2565985	1925162	1926162	2149137	2149137	2224557	2207667	2379858	
2424480	2424480	2424480	2.64%	27373813	2734913	2173821	2170071	6.07%	2262209	2258659	2201328	2184438	
2636154	2639054	2639054	2997152	2913762	2889011	1654164	1630614	1587738	2028786	2052536	2152026	2226960	
60	2548917	2548917	2548917	2516925	2516925	29434931	1583058	1581508	2371472	2307922	2298511	2298536	
2512185	2512185	2512185	2.94%	2818531	2815631	1534643	1531193	3.76%	2066471	2062321	222934	2265044	
120	2702382	2702382	2702382	2681332	2681332	3044991	3014514	3166057	2342475	2331278	2469391	2454406	
2546476	263576	263576	1.38%	3141565	3138665	2237229	223679	2424780	2421230	4.03%	2473689	24343819	
2900				2900		3550		3550		3550		3550	
Leerwert													
Ox+Oli 0µmol	4656231	4633331	510792	5075992	466743	262890	259440	258164	217274	284600	2580112	2411122	
5	4579426	4562626	481713	478813	4776423	3.80%	263760	260210	1.12%	279742	276192	232015	
248710	248710	248710	3.01%	313821	313821	117558	114008	1183337	157907	142202	248139	231249	
15	2547119	2548119	2548119	320010	3171120	117316	113166	147582	144032	151152	148411	131521	
2272039	269139	269139	4.74%	309527	306627	130787	127237	6.51%	131766	128216	134277	134277	
30	234942	232042	232839	280556	2758624	127965	11815	111882	128722	125772	122277	122277	
255331	232431	232431	0.50%	283915	281015	103945	10095	127688	124148	131215	115225	115225	
60	2175351	214645	214645	227359	283318	280418	275218	111573	108023	102652	112472	108822	
241185	238285	238285	5.24%	284473	284473	102709	9959	103856	113468	124243	125593	125593	
120	210246	229146	229146	263562	260662	4.64%	104324	100774	124725	112175	131483	121402	
21052	207152	207152	207152	232345	231471	93930	94880	99235	107851	1049301	107719	123875	
209522	206622	206622	0.77%	232286	221582	103867	97317	113530	109890	118007	101117	101117	
210189	207289	207289	0.77%	224582	2151682	4.06%	109243	105693	5.71%	112426	108876	143279	126389

Ergebnisse Ox+Oli 0µmol

Zeit in min	1. Versuch	2. Versuch	3. Versuch	4. Versuch	5. Versuch	6. Versuch
0	100%	100%	100%	100%	100%	100%
5	19%	19%	3%	13%	11%	14%
15	11%	11%	7%	6%	6%	8%
30	10%	10%	5%	6%	6%	7%
60	9%	10%	6%	5%	5%	7%
120	8%	8%	4%	4%	5%	6%

Signifikanzniveau Student t-Test (Nullhypothese: Mittel Verum=Mittel Kontrolle)

Zeit in min	p
0	0.0000
5	0.0000
15	0.0001
30	0.0000
60	0.0003
120	0.0000

Ergebnisse Oxamato100µmol

Zeit in min	1. Versuch	2. Versuch	3. Versuch	4. Versuch	5. Versuch	6. Versuch
0	100%	100%	100%	100%	100%	100%
5	63%	63%	68%	78%	70%	70%
15	54%	54%	55%	61%	59%	59%
30	52%	52%	54%	54%	55%	55%
60	48%	48%	49%	49%	48%	48%
120	41%	41%	41%	41%	41%	41%

Signifikanzniveau Student t-Test (Nullhypothese: Mittel mit Ox.=Mittel ohne Ox.)

Zeit in min	p
0	0.0000
5	0.0000
15	0.0001
30	0.0000
60	0.0000
120	0.0000

S117 Oxamat 50mmol/l

Zeit in min	1. Versuch RLU	RLU-Leer	Mittel/VK	2. Versuch RLU	RLU-Leer	Mittel/VK	3. Versuch RLU	RLU-Leer	Mittel/VK	4. Versuch RLU	RLU-Leer	Mittel/VK	5. Versuch RLU	RLU-Leer	Mittel/VK	6. Versuch RLU	RLU-Leer	Mittel/VK		
Leerwert	2831			2831			1633			1633			3635			3635				
Kontrolle	23444170	2273376	2475891	2475060	2534388	2651710	2819462	2904545	2902912	3013919	2276799	2119416	2612988	2699663	2593519					
5	2133632	2133632	2531406	2528575	2894288	2992655	3105709	3107342	3105709	3035476	2248246	22151981	2546801	2542966						
2344656	2344656	2344656	2864359	2864359	2811288	2811288	2816565	2816565	3035336	34.1%	1966538	1923203	9.14%	2633163	2639528	1.75%				
2363812	2310794	2328368	2856163	2856163	2536780	2841703	2841703	2841703	3307843	3200980	2648674	2572588	2814511	2810876	27171591					
-5	2885519	2885519	2885519	2885519	2839484	2839351	3051562	3051562	3051562	2583356	2579001	2492555	2579001	2641189	2647824					
2391545	2388714	2388714	2807776	2807776	2828940	27227307	3245198	3245198	3245198	3499297	3235365	2492555	3235365	2701543	2657708					
1911626	1909395	1909395	22220280	22220280	2722466	2722466	3450930	3450930	3450930	3449967	3234754	2564039	3234754	2810949	2867314	2840215				
30	2329159	2329328	2721620	2716789	3221748	3221748	3160719	3160719	3160719	3185546	3248053	3246420	3248053	2551044	2798010	2764375				
2326549	2425118	2425118	1235%	1235%	2735491	2843052	7399%	7399%	7399%	3248053	3246420	3248053	3246420	2585455	2862592	2838857	1.41%			
2456942	2456111	2456111	2867944	2867944	2865113	2707476	3183974	3183974	3183974	3099182	3254232	3252599	3254232	2581916	2578281	250925	2857401			
60	2405689	2402858	2852966	2852966	2830135	3132079	3130446	3130446	3130446	3357789	3326156	3289442	3326156	2575405	2856647	2853012				
120	2357357	2854536	2887647	2887647	2857548	2879597	2885125	2885125	2885125	2885125	2885125	2885125	2885125	2619088	0.94%	2883084	2879449	0.71%		
2647371	2844540	2844540	2864576	2864576	285924	136%	285924	285924	285924	285924	285924	285924	285924	2639365	2639365	3127023	3123388	3148278		
2766707	2763887	2763887	2.48%	2.48%	2857545	2857545	2864894	2864894	2864894	2864894	2864894	2864894	2864894	2612418	2668783	3148217	3148282	3176863	0.88%	
Leerwert	2831			2831			1633			1633			3635			3635				
Oxamat 50mmol	1962964	2013730	2161670	2158839	2119042	2097025	2095392	2117179	2145028	2143389	2432357	1630344	1599806	1680559	1866737	1863102	1921053			
5	2067655	2064824	2013403	2013403	2051954	2051954	2211647	2211647	2211647	2238722	2337089	2337089	2337089	1712193	1729798	4.20%	2003233	1969998	3.67%	
1688924	1688453	1717034	1769290	1768459	1814023	1938219	1934586	1934586	1934586	2183852	2160181	2148226	2183852	1475181	1537153	1537153	1782956	1728294		
-5	17227092	1724261	1740387	1742476	1824276	1824276	1824445	1824445	1824445	2108880	2105162	2105162	2105162	2105162	2231537	2232786	2232786	1779259		
1514736	1512462	1433731	1755650	1755650	1755650	1729388	1881731	1880098	1892341	2049227	2035352	2035352	2035352	1505555	1562209	1562209	1729260	1713632		
30	1594662	1591701	1588887	1741483	1741483	1741483	1736652	1736652	1736652	1970133	1965926	1962293	1965926	1507197	1719190	1719190	1715955			
60	1448609	1445188	1411086	1524617	1488728	1754245	1755802	1755802	1755802	2102342	2100709	2100709	2100709	1491071	1487436	1487436	1693352	1689117	1.34%	
60	1433162	1433162	1433162	1433162	1437973	1435142	1524617	1524617	1524617	1755802	1755802	1755802	1755802	1971042	1989412	1989412	1632700	1629065	1633497	
1357740	1354909	1354909	3.47%	3.47%	1569255	1569255	1569255	1569255	1569255	1843150	1843150	1843150	1843150	1581001	1975895	1975895	1577366	4.95%		
1314871	1312040	1328337	1441044	1441044	1434353	1434353	1460887	1460887	1460887	1495234	1526213	1641679	1641679	1401536	1644848	1644848	1409220	1545558	1640845	
120	1357254	1354423	1321318	1318487	1443263	1440432	1440432	1440432	1440432	1440432	1520153	1518520	1518520	1518520	1708229	4.43%	1379211	1708232	1704597	5.04%

Ergebnisse Oxamat 50mmol/l

Zeit in min	1. Versuch Mitte/VK	2. Versuch Mitte/VK	3. Versuch Mitte/VK	4. Versuch Mitte/VK	5. Versuch Mitte/VK	6. Versuch Mitte/VK	Zeit in min Mitte/VK
0	100%	100%	100%	100%	100%	100%	0.00%
5	88%	88%	77%	81%	78%	74%	6.44%
10	74%	72%	69%	68%	68%	68%	7.34%
30	68%	63%	64%	59%	60%	63%	5.08%
60	58%	55%	58%	55%	56%	57%	2.79%
120	49%	50%	62%	55%	52%	53%	8.86%

Signifikanzniveau Student's-t-Test (Nullhypothese: Mittel Verum=Mittel Kontrolle)

Zeit in min	p
0	0
5	0.00683
10	0.0015
30	0.00002
60	0.00002
120	0.00000

S117 Oxamat 100mmol/l

Zeit in min	1. Versuch		2. Versuch		3. Versuch		4. Versuch		5. Versuch		6. Versuch	
	RLU	RLU-Leer	Mittel/VK	RLU	RLU-Leer	Mittel/VK	RLU	RLU-Leer	Mittel/VK	RLU	RLU-Leer	Mittel/VK
Leerwert	2831			2831			2900			3635		
Kontrolle	2344470	2273376	2475891	2475050	2534388	2489114	2436255	2696598	2618030	220534	2119416	3635
5	2133632	2133632	2531406	2528575	2458505	2458505	2602945	2600045	2248246	2248246	2564601	2564601
2344656	2344656	2344656	2605359	2605359	254%	2361107	2560346	2557446	272%	1966538	1973203	9,14%
2263812	2263812	2310794	2863682	2536780	2536780	2303123	2683647	2680747	2736655	2572588	264511	264189
-5	2885519	2885519	2882688	2860683	2551332	1,20%	2428731	2428731	2780025	2777125	2583356	2579901
2391545	2391545	2388714	2804607	2482757	2482757	2482757	2754983	2752093	2752093	2492555	2492555	2677708
1911626	1909795	22220280	2724900	2722069	2722456	2300001	2292101	2361694	2661897	2658997	2663265	2566345
30	2229159	2226328	2721620	2167899	2369391	2366401	2364401	2596985	2594085	2551044	2551044	2867314
2126549	2126549	2125718	12,35%	2735491	2735491	2421580	2421580	264%	2737817	2734913	265%	2764375
2456942	2456942	2456111	2865113	2865113	2707476	2639034	2636154	2597152	281916	281916	2575405	2888557
60	2405689	2402858	2402858	2632966	2632966	2646917	2646917	2897531	2944631	2878281	285025	2857401
2430	2057357	2054536	2087647	2875748	2875748	285010	2821179	3,88%	2512155	2509285	2818531	2619088
120	2647371	2644540	2763887	2864576	2864576	2864576	2864576	2868937	2868937	3014514	3066505	2883084
2766707	2766707	2763887	2864576	2864576	2,48%	2865924	2865924	1,96%	2711482	2712032	2617432	2617432
Leerwert	2831			2831			2900			3127023		
Oxamat 100mmol/l	1893560	1890729	1645287	1712505	1712505	1570541	1562641	1537563	1815701	1812801	1789214	3635
5	1593691	1593690	1654302	1654302	1830307	1832296	1556918	1556018	1821056	1818156	1639101	1814576
1411588	1408757	1476346	1646443	1646432	1616283	1334946	1335586	1307355	1480255	1477355	1504049	1484375
-5	1474710	1474289	16282323	16282323	1629293	1244226	1244226	1245083	1548208	1545308	1548654	1470973
15458822	1545891	4,65%	1628744	1628744	1556058	1513455	1149719	1146819	1371090	1368190	1424542	1439558
1374251	1371420	1371322	1334339	1334339	1475029	1472198	1277033	1274103	1408867	1408867	1322711	1322559
30	1337170	1334339	1408238	1512032	1512032	1512031	2,60%	1298959	1296059	6,50%	1502379	1489479
1411069	1408215	1115384	1074544	1174544	1161622	1287290	1174544	1171684	1155542	1293454	1296848	1222812
60	1032037	1029206	1079041	1121107	1206196	1274592	1274592	1156782	1156782	1291335	1288435	1204900
1081872	1086282	1069108	1129752	1129752	1185667	1121695	118705	1109631	1221726	1269811	1233265	1216968
120	1084971	1082140	1231019	1282188	1100683	1097783	1100683	1262993	126093	1231924	1349408	1345773
1044564	1047733	1202923	1200932	1200932	4,41%	115334	1112404	0,97%	1303514	1300614	3,13%	1326449
												3,94%

Ergebnisse Oxamat 100mmol/l

Zeit in min	1. Versuch		2. Versuch		3. Versuch		4. Versuch		5. Versuch		6. Versuch	
	1. Versuch	2. Versuch	3. Versuch	4. Versuch	5. Versuch	6. Versuch	Mittel	Std. Dev.	VK	Mittel	Std. Dev.	VK
0	100%	100%	100%	100%	100%	100%	100%	100%	100%	100%	100%	100%
5	72%	71%	63%	68%	78%	70%	70%	70%	70%	70%	70%	70%
15	64%	64%	54%	55%	57%	61%	59%	59%	59%	59%	59%	59%
30	62%	56%	52%	54%	54%	54%	55%	55%	55%	55%	55%	55%
60	44%	48%	44%	45%	47%	47%	49%	46%	46%	44%	44%	44%
120	40%	41%	41%	41%	41%	41%	44%	42%	42%	42%	42%	42%

Signifikanzniveau Student's-t-Test (Nullhypothese: Mittel Verum=Mittel Kontrolle)

Zeit in min	p
0	0
5	0,00002
15	0,00001
30	0,00001
60	0,00001
120	0,00000

C

Danksagung

Herrn Prof. Dr. Fehm, Direktor der Medizinischen Klinik I, bin ich für die Bereitstellung des Arbeitsplatzes und des Materials zu Dank verpflichtet.

Herrn Prof. Dr. Wagner, Oberarzt an der Medizinischen Klinik I, danke ich herzlich für die Themenstellung und insbesondere für die geduldige Unterstützung meiner Arbeit.

Frau Vollmer und Frau Bahrs haben mich mit großer Aufgeschlossenheit bei der praktischen Durchführung der Laborversuche beraten und standen immer für Fragen zur Verfügung.

D

Lebenslauf

Persönliche Daten

Name	Jürgen Walter Philip Hinrichs
Geburtsdatum	24.11.1966
Geburtsort	Köln
Eltern	Antje und Hans Hinrichs
Familienstand	verheiratet
Staatsangehörigkeit	deutsch

Schulausbildung

1972 bis 1976	Auslandsaufenthalt, Grundschulunterricht durch die Mutter
1976 bis 1977	3. und 4. Klasse Grundschule in Bonn
1977 bis 1986	Amos-Comenius-Gymnasium, Bonn Abschluss mit der Allgemeinen Hochschulreife

Zivildienst

1986 bis 1988	Krankentransport und Rettungsdienst Malteser-Hilfsdienst, Bonn
---------------	--

Studium

Sommer 1988 bis Nov. 1995	Studium der Humanmedizin an der Rheinischen Friedrich-Wilhelms-Universität Bonn
Winter 1990 bis Sommer 1992	Grundstudium der Mathematik
Herbst 1990	Ärztliche Vorprüfung
Herbst 1991	Erster Abschnitt der Ärztlichen Prüfung
Herbst 1994	Zweiter Abschnitt der Ärztlichen Prüfung
Okt. 1994 bis Okt. 1995	Praktisches Jahr im Kreiskrankenhaus Lüdenscheid, Akademisches Lehrkrankenhaus der Rheinischen Friedrich-Wilhelms-Universität Bonn
November 1995	Abschluss des Medizinstudiums mit dem Dritten Abschnitt der Ärztlichen Prüfung

Beruflicher Werdegang

15.12.1995 bis 14.06.1997	Arzt im Praktikum
---------------------------	-------------------

20.06.1997	Innere Medizin, Ostholsteinkliniken, Eutin
01.04.1998 bis 30.06.1998	Approbation als Arzt
Juni 1997 bis Juli 1998	Honoraritätigkeit als Arzt am Druckkammerzentrum Lübeck
01.07.1998 bis 30.06.1999	experimentelle Arbeit an der Dissertation
01.07.1999 bis 15.05.2002	Assistenizarzt Allgemeinmedizin
August 1999 bis Oktober 2001	Praxis Dres. Keßler, Nieland, Donandt in Pewsum
seit 01.06.2002	Weiterbildung Arbeitsmedizin
	Meditüv GmbH (TÜV Nord), Hannover
	Honoraritätigkeit im Auslandsrückholdienst
	Malteser Hilfsdienst / ADAC
	Weiterbildung Psychiatrie und Psychotherapie
	Zentrum für Psychiatrie und Psychotherapeutische Medizin
	Evangelisches Krankenhaus, Bielefeld